

สำนักหอสมุดกลาง พระจอมเกล้าลาดกระบัง



วงจรรองแบบแอคทีฟ  
ACTIVE FILTER



โดย  
นายกอบพล หทัยอารีย์รักษ์  
นายไกรสร ทองศรีสุพรรณ  
นายเขตต์ สันธนะพันธ์

ปริญญานิพนธ์นี้เป็นส่วนหนึ่งของการศึกษาตามหลักสูตรวิศวกรรมศาสตรบัณฑิต  
สาขาวิชาวิศวกรรมไฟฟ้า  
สถาบันเทคโนโลยีพระจอมเกล้าเจ้าคุณทหารลาดกระบัง  
ปีการศึกษา 2542

เลขหมู่.....  
เลขทะเบียน 36988  
วัน, เดือน, ปี 30 ส.ค. 2543

เอกสารนี้เป็นเอกสารที่สงวนลิขสิทธิ์การใช้งานเพื่อการศึกษาเท่านั้น ไม่อนุญาตให้นำไปใช้ประโยชน์ด้านการค้า  
แม้ว่ากรณีใดๆ ทั้งสิ้น อีกทั้งห้ามมิให้ตัดแปลงเนื้อหาและต้องอ้างอิงถึงเจ้าของเอกสารทุกครั้งที่มีการนำไปใช้

ปีการศึกษา 2542

วงจรรองแบบแอกทีฟ  
ACTIVE FILTER



อาจารย์ที่ปรึกษา

รศ.ดร. วิริยะ พิเชฐจำเริญ

ดร. วิจิตร กิณเรศ

อาจารย์สุรินทร์ คำฝอย

เอกสารนี้เป็นเอกสารที่สงวนไว้สำหรับการใช้งานเพื่อการศึกษาเท่านั้น ไม่อนุญาตให้นำไปใช้ประโยชน์ด้านการค้า  
ไม่ว่ากรณีใดๆ ทั้งสิ้น อีกทั้งห้ามมิให้ตัดแปลงเนื้อหาและต้องอ้างอิงถึงเจ้าของเอกสารทุกครั้งที่มีการนำไปใช้

ปริญญานิพนธ์ปีการศึกษา 2542


ภาควิชาวิศวกรรมไฟฟ้า


คณะวิศวกรรมศาสตร์ สถาบันเทคโนโลยีพระจอมเกล้าเจ้าคุณทหารลาดกระบัง

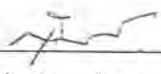
เรื่อง วงจรกรองแบบแอคทีฟ

ผู้จัดทำ

นายกอบพล หทัยอารีย์รักษ์  
นายไกรสร ทองศรีสุพรรณ  
นายเขตต์ สันธนะพันธ์

  
อาจารย์ที่ปรึกษา  
(รศ.ดร. วิริยะ พิเศษจำเริญ)

  
อาจารย์ที่ปรึกษา  
(ดร.วิริยะ กิณเรศ)

  
อาจารย์ที่ปรึกษา  
(อาจารย์ สุรินทร์ คำฝอย)

เอกสารนี้เป็นเอกสารที่สงวนไว้สำหรับการใช้งานเพื่อการศึกษาเท่านั้น ไม่อนุญาตให้นำไปใช้ประโยชน์ด้านการค้า  
ไม่ว่ากรณีใดๆ ทั้งสิ้น อีกทั้งห้ามมิให้ตัดแปลงเนื้อหาและต้องอ้างอิงถึงเจ้าของเอกสารทุกครั้งที่มีการนำไปใช้

## วงจรรองแบบแอกทีฟ

นายกอบพล	หทัยอารีย์รักษ์
นายไกรสร	ทองศรีสุพรรณ
นายเขตต์	สันธนะพันธ์
รศ.ดร.วิริยะ	พิเชฐจำเริญ อาจารย์ที่ปรึกษา
ดร.วิจิตร	กิณเรศ อาจารย์ที่ปรึกษา
อ.สุรินทร์	คำฝอย อาจารย์ที่ปรึกษา
ปีการศึกษา 2542	

### บทคัดย่อ

ปริญญานิพนธ์ฉบับนี้ จะเป็นการศึกษาการแก้ปัญหากระแสฮาร์โมนิกส์ที่เกิดขึ้นจากโหลดไม่เชิงเส้น โดยอาศัยวงจรรองแบบแอกทีฟ แบบฉีดกระแสฮาร์โมนิกส์ ซึ่งในเนื้อหาจะประกอบด้วย การศึกษาและออกแบบวงจรรองแบบแอกทีฟ การจำลองการทำงานโดยโปรแกรม Simulink และการสร้างวงจรต้นแบบขึ้นมา เพื่อแก้ปัญหากระแสฮาร์โมนิกส์ในโหลดแบบไม่เชิงเส้น โดยการควบคุมกระแสที่จะนำไปชดเชยในวงจรจะเป็นการนำเทคนิคการควบคุมกระแสแบบฮิสเตอร์รีซีตมาประยุกต์ใช้

## ACTIVE FILTER

Korbphol	Hataiareereg	
Kraisorn	Thongsrisuphan	
Khet	Suntanaphan	
Assoc. Prof. Dr. Viriya Pichetjamroen		Advisor
Dr. Vijit	Kinnares	Advisor
Surin	Khomfoi	Advisor

## ABSTRACT

Attention in this thesis is to study the harmonic current correction by using active filter with harmonic current injection technique. The details are composed of the studying and designing active filter, the simulation by Simulink program, and prototype active filter construction for harmonic current compensation. The hysteresis current control will be applied for harmonic current compensation in the case.

## สารบัญ

	หน้า
บทคัดย่อภาษาไทย	I
บทคัดย่อภาษาอังกฤษ	II
สารบัญ	III
สารบัญรูป	V
สารบัญตาราง	VIII
บทที่ 1 บทนำ	1
1.1 ปัญหา และที่มา	2
1.2 วัตถุประสงค์	3
1.3 ขอบเขตของปริญญาานิพนธ์	3
บทที่ 2 ฮาร์โมนิกส์ และเพาเวอร์แฟกเตอร์	4
2.1 ฮาร์โมนิกส์	4
2.1.1 ลักษณะและพฤติกรรมของฮาร์โมนิกส์	4
2.1.2 สมการทั่วไปของรูปคลื่น	5
2.1.3 แหล่งกำเนิดและชนิดของแหล่งกำเนิดฮาร์โมนิกส์	6
2.2 การวัดค่าความผิดเพี้ยนของรูปคลื่น	8
2.3 เพาเวอร์แฟกเตอร์	9
2.4 ผลกระทบจากการมีค่าเพาเวอร์แฟกเตอร์ที่ต่ำ	10
บทที่ 3 แอคทีฟฟิลเตอร์	11
3.1 แอคทีฟฟิลเตอร์แบบขนาน	11
3.2 แอคทีฟฟิลเตอร์แบบอนุกรม	12
บทที่ 4 ทฤษฎี และหลักการ	14
4.1 การวิเคราะห์กระแส	14
4.2 การควบคุมกระแสโดยใช้วงจรควบคุมแบบฮิสเตอร์รีซิส	16
4.2.1 เทคนิคการควบคุมกระแส	16
4.2.2 การควบคุมกระแสแบบฮิสเตอร์รีซิส	17
4.2.3 การทำงาน	19
บทที่ 5 การสร้าง และการออกแบบ	20

เอกสารนี้เป็นเอกสารที่สงวนไว้สำหรับการใช้งานเพื่อการศึกษาเท่านั้น ไม่อนุญาตให้นำไปใช้ประโยชน์ด้านการค้า ไม่ว่ากรณีใดๆ ทั้งสิ้น อีกทั้งห้ามมิให้ตัดแปลงเนื้อหาและต้องอ้างอิงถึงเจ้าของเอกสารทุกครั้งที่มีการนำไปใช้

5.1 ส่วนที่ทำหน้าที่สร้างกระแสชดเชยอ้างอิง	22
5.1.1 ส่วนที่ทำหน้าที่ส่งสัญญาณแรงดันไฟฟ้า	22
5.1.2 วงจรคูณ	23
5.1.3 วงจรกรองความถี่ต่ำ	23
5.1.4 วงจรลบ	24
5.2 ส่วนที่ทำการควบคุม และสร้างกระแสชดเชย	24
5.2.1 วงจรแบ่ง แบ่ง	25
5.2.2 วงจรเคดไทม์	25
5.2.3 วงจรขับเกท	26
5.2.4 วงจรตรวจจับกระแส	27
5.2.5 วงจรกำลัง	27
5.2.6 วงจรไฟเลี้ยง	28
บทที่ 6 ผลการทดลอง	29
6.1 การจำลองวงจรชดเชยกระแสฮาร์โมนิกส์	29
6.2 การชดเชยในวงจรต้นแบบ	31
6.3 การทดลองในวงจรต้นแบบ	34
6.3.1 เมื่อโหลดเป็นไดโอดเรกติไฟร์ ต่อกับ โหลด R	35
6.3.2 เมื่อโหลดเป็นไดโอดเรกติไฟร์ ต่อกับ โหลด R, L	38
6.3.3 เมื่อโหลดเป็นไดโอดเรกติไฟร์ ต่อกับ โหลด L	41
6.3.4 เมื่อโหลดเป็นไดโอดเรกติไฟร์ ต่อกับ โหลด R, C	44
6.3.5 เมื่อโหลดเป็นบริดจ์เรกติไฟร์	47
6.4 การทดสอบการตอบสนองเมื่อโหลดมีการเปลี่ยนแปลง	50
บทที่ 7 สรุปผลการทดลอง	51
ภาคผนวก	
กิตติกรรมประกาศ	
เอกสารอ้างอิง	

## สารบัญรูป

	หน้า
รูปที่ 1.1 แสดงกระแส $i_s$ ที่เกิดจากกระแสที่ความถี่มูลฐานและฮาร์โมนิกส์ลำดับที่ 3	2
รูปที่ 2.1 แสดงคลื่น Sinusoidal ที่ความถี่มูลฐาน และความถี่ฮาร์โมนิกส์ต่างๆ	5
รูปที่ 2.2 แสดงแหล่งจ่ายฮาร์โมนิกส์ชนิดที่เป็นแหล่งจ่ายกระแส	7
รูปที่ 2.3 แสดงแหล่งฮาร์โมนิกส์ชนิดที่เป็นแหล่งจ่ายแรงดัน	8
รูปที่ 2.4 แสดงกำลังไฟฟ้า	9
รูปที่ 3.1 แสดงวงจรแอกทีฟฟิลเตอร์แบบขนาน สำหรับแหล่งกำเนิดกระแสฮาร์โมนิกส์	11
รูปที่ 3.2 แสดงวงจรแอกทีฟฟิลเตอร์แบบขนาน สำหรับแหล่งกำเนิดแรงดันฮาร์โมนิกส์	12
รูปที่ 3.3 แสดงวงจรแอกทีฟฟิลเตอร์แบบอนุกรม สำหรับแหล่งกำเนิดกระแสฮาร์โมนิกส์	12
รูปที่ 3.4 แสดงวงจรแอกทีฟฟิลเตอร์แบบอนุกรม สำหรับแหล่งกำเนิดแรงดันฮาร์โมนิกส์	13
รูปที่ 4.1 แสดงวงจรกรองแอกทีฟ แบบชนิดกระแสฮาร์โมนิกส์	14
รูปที่ 4.2 แสดงบล็อกไดอะแกรมการหากระแสชดเชย	16
รูปที่ 4.3 แสดงบล็อกไดอะแกรมของการควบคุมกระแสแบบฮิสเตอร์รีชีส	17
รูปที่ 4.4 แสดงการทำงานของวงจรฮิสเตอร์รีชีสเพื่อควบคุมกระแส	17
รูปที่ 4.5 แสดงวงจรฮิสเตอร์รีชีส	18
รูปที่ 4.6 การควบคุมกระแสแบบฮิสเตอร์รีชีส	18
รูปที่ 4.7 แสดงกราฟแรงดันระหว่าง $V_0$ และ $I$ ที่มีลักษณะเป็นฮิสเตอร์รีชีส	19
รูปที่ 5.1 แสดงวงจรแอกทีฟฟิลเตอร์ แบบชนิดกระแส	20
รูปที่ 5.2 แสดงบล็อกไดอะแกรมวงจรแอกทีฟฟิลเตอร์	21
รูปที่ 5.3 วงจรส่งสัญญาณแรงดันไฟฟ้า $\cos(\omega t)$	22
รูปที่ 5.4 แสดงวงจรคูณ	23
รูปที่ 5.5 แสดงวงจรกรองความถี่ต่ำ	23
รูปที่ 5.6 แสดงวงจรลบ	24
รูปที่ 5.7 แสดงวงจรแบ่ง แบ่ง	25
รูปที่ 5.8 แสดงวงจรเพื่อเวลา	25
รูปที่ 5.9 แสดงวงจรขั้วเกท	26
รูปที่ 5.10 แสดงวงจรตรวจจับกระแส	27
รูปที่ 5.11 แสดงวงจรกำลัง	27
รูปที่ 5.12 แสดงวงจรไฟเลี้ยง	28

เอกสารนี้เป็นเอกสารที่สงวนไว้สำหรับการใช้งานเพื่อการศึกษาเท่านั้น ไม่อนุญาตให้นำไปใช้ประโยชน์ด้านการค้า  
ไม่ว่ากรณีใดๆ ทั้งสิ้น อีกทั้งห้ามมิให้ดัดแปลงเนื้อหาและต้องอ้างอิงถึงเจ้าของเอกสารทุกครั้งที่มีการนำไปใช้

รูปที่ 6.1 แสดงบล็อกไดอะแกรมที่วิเคราะห์แบบรูปเปิด	29
รูปที่ 6.2 แสดงกระแสโหลด $i_L(t)$ กับ $v_s(t)$	30
รูปที่ 6.3 แสดงกระแสแอกทีฟ $i_p(t)$	30
รูปที่ 6.4 แสดงกระแสฮาร์โมนิกส์ $i_h(t)$	30
รูปที่ 6.5 แสดงกระแสโหลด $i_L(t)$ กับ $v_s(t)$	30
รูปที่ 6.6 แสดงกระแสแอกทีฟ $i_p(t)$	30
รูปที่ 6.7 แสดงกระแสฮาร์โมนิกส์ $i_h(t)$	31
รูปที่ 6.8 แสดงกระแสโหลด $i_L(t)$	31
รูปที่ 6.9 สัญญาณ $I_p$ คูณกับ $\cos(\omega t)$	32
รูปที่ 6.10 กระแสชดเชยโหลดไดโอด	32
รูปที่ 6.11 แสดงกระแสของโหลดบริดจ์เรกติไฟร์	33
รูปที่ 6.12 สัญญาณ $I_p \cos(\omega t)$	33
รูปที่ 6.13 แสดงสัญญาณกระแสชดเชยสำหรับโหลดบริดจ์เรกติไฟร์	34
รูปที่ 6.14 แสดงวงจรที่ทำการทดลอง	35
รูปที่ 6.15 แสดง กระแส $I_s$ และ $V$ ก่อนการฉีดกระแสฮาร์โมนิกส์	36
รูปที่ 6.16 แสดงสเปกตรัมของ $I_s$ ก่อนแก้ไข	36
รูปที่ 6.17 แสดง กระแส $I_s$ และ $V$ หลังฉีดกระแสฮาร์โมนิกส์	37
รูปที่ 6.18 แสดงสเปกตรัมของ $I_s$ หลังฉีดกระแสฮาร์โมนิกส์	37
รูปที่ 6.19 แสดงโหลดไดโอด R, L	38
รูปที่ 6.20 แสดง กระแส $I_s$ และ $V$ ก่อนการฉีดกระแสฮาร์โมนิกส์	39
รูปที่ 6.21 แสดงสเปกตรัมของ $I_s$ ก่อนฉีดกระแสฮาร์โมนิกส์	39
รูปที่ 6.22 แสดง กระแส $I_s$ และ $V$ หลังฉีดกระแสฮาร์โมนิกส์	40
รูปที่ 6.23 แสดงสเปกตรัมของ $I_s$ หลังฉีดกระแสฮาร์โมนิกส์	40
รูปที่ 6.24 แสดงโหลดไดโอด L	41
รูปที่ 6.25 แสดงกระแส $I_s$ และ $V$ ก่อนการฉีดกระแสฮาร์โมนิกส์	42
รูปที่ 6.26 แสดงสเปกตรัมของ $I_s$ ก่อนฉีดกระแสฮาร์โมนิกส์	42
รูปที่ 6.27 แสดงกระแส $I_s$ และ $V$ หลังฉีดกระแสฮาร์โมนิกส์	43
รูปที่ 6.28 แสดงสเปกตรัมของ $I_s$ หลังฉีดกระแสฮาร์โมนิกส์	43
รูปที่ 6.29 แสดงโหลดไดโอด R, C	44
รูปที่ 6.30 แสดงกระแส $I_s$ และ $V$ ก่อนการฉีดกระแสฮาร์โมนิกส์	45

เอกสารนี้เป็นเอกสารที่สงวนไว้สำหรับการใช้งานเพื่อการศึกษาเท่านั้น ไม่อนุญาตให้นำไปใช้ประโยชน์ด้านการค้า  
ไม่ว่ากรณีใดๆ ทั้งสิ้น อีกทั้งห้ามมิให้ตัดแปลงเนื้อหาและต้องอ้างอิงถึงเจ้าของเอกสารทุกครั้งที่มีการนำไปใช้

รูปที่ 6.31 แสดงสเปกตรัมของ $I_s$ ก่อนฉีดกระแสฮาร์โมนิกส์	45
รูปที่ 6.32 แสดงกระแส $I_s$ และ $V$ หลังฉีดกระแสฮาร์โมนิกส์	46
รูปที่ 6.33 แสดงสเปกตรัมของ $I_s$ หลังฉีดกระแสฮาร์โมนิกส์	46
รูปที่ 6.34 แสดงโพลดิกรีรีกตีไฟร์	47
รูปที่ 6.35 แสดงกระแส $I_s$ และ $V$ ก่อนการฉีดกระแสฮาร์โมนิกส์	48
รูปที่ 6.36 แสดงสเปกตรัมของ $I_s$ ก่อนฉีดกระแสฮาร์โมนิกส์	48
รูปที่ 6.37 แสดงกระแส $I_s$ หลังฉีดกระแสฮาร์โมนิกส์	49
รูปที่ 6.38 แสดงสเปกตรัมของ $I_s$ หลังฉีดกระแสฮาร์โมนิกส์	49
รูปที่ 6.39 แสดงการตอบสนองเมื่อ โหลดเพิ่มขึ้น จาก 300 วัตต์ เป็น 600 วัตต์	50
รูปที่ 6.40 แสดงการตอบสนองเมื่อ โหลดลดลงจาก 600 วัตต์ เป็น 300 วัตต์	51



## สารบัญตาราง

	หน้า
ตารางที่ 3.1 แสดงการเปรียบเทียบระหว่างแอมพลิจูดฟิลเตอร์แบบขนาน และแบบอนุกรม	13
ตารางที่ 6.1 แสดงค่า THD และเพาเวอร์แฟกเตอร์ เปรียบเทียบก่อนแก้ไข และหลังแก้ไขเมื่อเป็นโหลดไดโอด R	38
ตารางที่ 6.2 แสดงค่า THD และเพาเวอร์แฟกเตอร์ เปรียบเทียบก่อนแก้ไข และหลังแก้ไขเมื่อเป็น โหลดไดโอด R , L	41
ตารางที่ 6.3 แสดงค่า THD และเพาเวอร์แฟกเตอร์ เปรียบเทียบก่อนแก้ไข และหลังแก้ไขเมื่อเป็น โหลดไดโอด L	44
ตารางที่ 6.4 แสดงค่า THD และเพาเวอร์แฟกเตอร์ เปรียบเทียบก่อนแก้ไข และหลังแก้ไขเมื่อเป็น โหลดไดโอด R, C	47
ตารางที่ 6.5 แสดงค่า THD และเพาเวอร์แฟกเตอร์ เปรียบเทียบก่อนแก้ไข และหลังแก้ไขเมื่อเป็น โหลดบริดจ์เรกติไฟร์	50

## บทที่ 1

### บทนำ

นับตั้งแต่มีการคิดค้นเทคโนโลยีสารกึ่งตัวนำขึ้นมา การใช้อุปกรณ์ทางอิเล็กทรอนิกส์มาประยุกต์ใช้งานก็มีแนวโน้มที่เพิ่มขึ้นตลอดมา ตั้งแต่เครื่องรับโทรทัศน์ คอมพิวเตอร์ส่วนบุคคล การใช้งานในวงการอุตสาหกรรม หรือแม้กระทั่งวงจรบริดจ์เรกติไฟร์ (bridge rectifier) ที่มีตัวเก็บประจุต่ออยู่ การใช้อุปกรณ์เหล่านี้ก่อให้เกิดประโยชน์ในทางอุตสาหกรรม ความสะดวกสบายในชีวิตประจำวัน ฯลฯ แต่กลับก่อให้เกิดปัญหาแก่ระบบไฟฟ้าอย่างมากมาย นอกจากนี้ยังทำให้รบกวนการทำงานของอุปกรณ์หลายประเภทที่อยู่ในระบบไฟฟ้าเดียวกันอีกด้วย

เนื่องจากอุปกรณ์อิเล็กทรอนิกส์ที่มีลักษณะเป็น โหลดไม่เชิงเส้น (Nonlinear load) เหล่านี้เป็นสาเหตุให้เกิดความผิดเพี้ยนจากฮาร์โมนิกส์ (Harmonic Distortion) นั่นคือ โหลดไม่เชิงเส้นเหล่านี้จะทำให้รูปคลื่นของกระแส และแรงดันมีความผิดเพี้ยนไปจาก sinusoidal ซึ่งฮาร์โมนิกส์เหล่านี้ก่อให้เกิดผลอันไม่เป็นที่ต้องการ ไม่ว่าจะเป็นคุณภาพของ power factor ที่แย่ง พิวส์ขาดรบกวนอุปกรณ์ไฟฟ้าที่มีความไวต่อความผิดเพี้ยนที่เกิดขึ้น

ในการแก้ปัญหาเหล่านี้ ที่นิยมใช้กันอยู่โดยทั่วไปคือ การใช้วงจร LC passive filter ในการกรองฮาร์โมนิกส์ออกไป แต่อย่างไรก็ตาม LC passive filter ก็ยังไม่สามารถใช้แก้ปัญหาระดับฮาร์โมนิกส์ ได้อย่างสมบูรณ์ ดังนั้น Active Filter จึงได้รับการพัฒนาขึ้นมาใช้งาน โดยทั่วไปแล้ว การจำแนกประเภทของ Active Filter ซึ่งจำแนกตามลักษณะของการต่อวงจรและลักษณะการทำงานของ Active Filter นั้นสามารถแบ่งได้เป็น 4 ประเภท คือ Active Filter ชนิดแหล่งจ่ายกระแสแบบขนาน ชนิดแหล่งจ่ายกระแสแบบอนุกรม ชนิดแหล่งจ่ายแรงดันแบบขนาน และชนิดแหล่งจ่ายแรงดันแบบอนุกรม

การออกแบบ Active Filter นั้น ต้องคำนึงถึงปัจจัย 3 ประการ คือ หลักการทำงานที่เหมาะสมกับชนิดของโหลด วิธีการควบคุม และวิธีการสร้างกระแสอ้างอิงให้มีความถูกต้อง ซึ่งจะเห็นได้ว่าการทำงานของ Active Filter จะทำงานได้ดีเพียงใดก็ขึ้นอยู่กับทางเลือกปัจจัยทั้ง 3 ชนิดให้ถูกต้องเหมาะสม

อุปกรณ์ Active Filter นั้นเป็นอุปกรณ์ประเภทที่อาศัยอุปกรณ์การสวิตซ์ ซึ่งโดยอาศัยหลักการ bi-directional power flow ไปมากับโหลดไม่เชิงเส้น โดยผ่านทางอุปกรณ์อินเวอร์เตอร์ชนิดแหล่งจ่ายแรงดัน ที่มีการควบคุมแบบ PWM ซึ่งจะประพุดิตัวเป็นแหล่งจ่ายกระแส ในปริณญาณิพันธ์ฉบับนี้จะเป็นการทำงานชนิดที่ใช้ลักษณะการควบคุมแบบ Hysteresis โดยเป็น Active Filter ประเภทแหล่งจ่ายกระแสแบบขนาน

เอกสารนี้เป็นเอกสารที่สงวนไว้สำหรับการใช้งานเพื่อการศึกษาเท่านั้น ไม่อนุญาตให้นำไปใช้ประโยชน์ด้านการค้าไม่ว่ากรณีใดๆ ทั้งสิ้น อีกทั้งห้ามมิให้ดัดแปลงเนื้อหาและต้องอ้างอิงถึงเจ้าของเอกสารทุกครั้งที่มีการนำไปใช้

## 1.1 ปัญหา และที่มา

เนื่องจากการใช้อุปกรณ์อิเล็กทรอนิกส์ประยุกต์เพื่อการใช้งาน มีแนวโน้มเพิ่มมากขึ้น ทั้งในวงการอุตสาหกรรม การสื่อสาร ฯลฯ เป็นผลให้กระแสฮาร์โมนิก (Harmonics current) ในระบบไฟฟ้าเพิ่มมากขึ้น เพราะการใช้อุปกรณ์อิเล็กทรอนิกส์ ที่เป็นโหลดไม่เชิงเส้น (Nonlinear load) ทำตัวเป็นแหล่งกำเนิดกระแสฮาร์โมนิกในระบบไฟฟ้า จนกลายเป็นปัญหาใหญ่ที่หลายประเทศต้องหาทางแก้ไข แอคทีฟฟิลเตอร์ (Active filter) จึงถูกนำเสนอขึ้นมาเพื่อแก้ไขปัญหานี้ โดยอาศัยหลักการสร้างกระแสขึ้นมาชดเชยกับกระแสฮาร์โมนิกที่โหลดไม่เชิงเส้นสร้างขึ้น เพื่อให้กระแสที่แหล่งจ่ายมีคุณภาพที่ดีขึ้น โดยอาศัยเทคนิคต่างๆมาประกอบกัน

ตามปกติกระแสที่เกิดจากโหลดไม่เชิงเส้น ( $i_s$ ) จะประกอบด้วย

1. กระแสที่มีความถี่มูลฐาน (Fundamental Sinusoidal Current:  $i_{s1}$ )
2. กระแสฮาร์โมนิก (Harmonic Sinusoidal Current:  $i_h$ )

$$i_s = i_{s1} + i_h \quad \dots \quad (1.1)$$

กระแสฮาร์โมนิกที่อุปกรณ์อิเล็กทรอนิกส์สร้างออกมาดังรูปที่ 1.1 จะทำให้แรงดันไฟฟ้า มีความผิดเพี้ยน (voltage distortion) ทำให้กลายเป็นปัญหาใหญ่ในหลายประเทศ ซึ่งจะต้องหาวิธีแก้ไข เพื่อแก้ไขปัญหาระบบฮาร์โมนิกในระบบไฟฟ้า แอคทีฟฟิลเตอร์ (Active Filter) จึงถูกพัฒนาขึ้นเพื่อแก้ปัญหานี้



รูปที่ 1.1 (ก) แสดงกระแส  $i_s$  ที่เกิดจากกระแสที่มีความถี่มูลฐานและฮาร์โมนิกลำดับที่ 3  
(ข) แสดงกระแสความถี่มูลฐาน  $i_{s1}$  และกระแสฮาร์โมนิกลำดับที่ 3  $i_h$

การทำงานของแอคทีฟฟิลเตอร์ เพื่อการชดเชยกระแสฮาร์โมนิก สามารถแบ่งได้เป็นประเภทที่มีการชดเชยรีแอคทีฟเพาเวอร์ (reactive power) และไม่ชดเชยรีแอคทีฟเพาเวอร์ ซึ่งในปริญญาโทฉบับนี้ จะศึกษาแอคทีฟฟิลเตอร์ ที่ชดเชยทั้งกระแสฮาร์โมนิก และรีแอคทีฟเพาเวอร์โดยอาศัยหลักการการฉีดกระแสฮาร์โมนิก (harmonic current injection)

เอกสารนี้เป็นเอกสารที่สงวนไว้สำหรับการใช้งานเพื่อการศึกษาเท่านั้น ไม่อนุญาตให้นำไปใช้ประโยชน์ด้านการค้า ไม่ว่าจะกรณีใดๆ ทั้งสิ้น อีกทั้งห้ามมิให้ดัดแปลงเนื้อหาและต้องอ้างอิงถึงเจ้าของเอกสารทุกครั้งที่มีการนำไปใช้

## 1.2 วัตถุประสงค์

1. เพื่อศึกษาทฤษฎี และหลักการของการแก้ไขปัญหากระแสฮาร์โมนิกส์ และปรับปรุงค่าอินพุทเพาเวอร์แฟคเตอร์
2. ออกแบบวงจร และจำลองการทำงาน (Simulation) ของวงจรที่ใช้ชดเชยกระแสฮาร์โมนิกส์ ด้วยโปรแกรม Simulink
3. สร้างวงจรแอกทีฟฟิลเตอร์ต้นแบบ ที่ใช้การชดเชยกระแสฮาร์โมนิกส์ เพื่อแก้ไขกระแสฮาร์โมนิกส์ ที่เกิดจากโหลดไม่เชิงเส้น
4. วิเคราะห์ และเปรียบเทียบผลการชดเชยกระแสฮาร์โมนิกส์ ของวงจรต้นแบบ กับผลที่ได้จากการจำลองการทำงานด้วย Simulink

## 1.3 ขอบเขตของปริญญานิพนธ์

1. ศึกษาทฤษฎี และออกแบบวงจรที่ใช้ในการแก้ไขปัญหากระแสฮาร์โมนิกส์ และจำลองผลการทำงานด้วยโปรแกรม Simulink ว่าสามารถทำงานได้จริง หรือไม่ เพื่อนำไปสร้างวงจรต้นแบบ
2. สร้างวงจรต้นแบบ เพื่อนำผลการทดลองมาเปรียบเทียบกับผลการจำลองด้วยโปรแกรมคอมพิวเตอร์ โดยเป็นการชดเชยกระแสฮาร์โมนิกส์ให้กับโหลดที่เป็น ไดโอดเรกติไฟร์ และบริดจ์เรกติไฟร์

## บทที่ 2

### ฮาร์โมนิกส์ และเพาเวอร์แฟกเตอร์

#### 2.1 ฮาร์โมนิกส์

ฮาร์โมนิกส์เป็นปัญหาที่เกิดขึ้นในระบบไฟฟ้าอันมีสาเหตุมาจากการนำอุปกรณ์ทางอิเล็กทรอนิกส์ไฟฟ้าที่มีลักษณะเป็น non-linear load มาประยุกต์เพื่อการใช้งานในอุตสาหกรรม เช่น การนำไทรสเตอร์มาประยุกต์เพื่อการขับเคลื่อนมอเตอร์ ตลอดจนการนำมาสร้างเป็นอุปกรณ์ใช้งานในอาคารบ้านเรือน เช่น อุปกรณ์เครื่องรับโทรทัศน์ คอมพิวเตอร์ส่วนบุคคล หรือแม้แต่ วงจรบริดจ์เรกติไฟร์ (bridge rectifier) 1 เฟส ก็สามารถก่อให้เกิดปัญหา ฮาร์โมนิกส์ขึ้นในระบบไฟฟ้า ในการแก้ปัญหาฮาร์โมนิกส์นั้น จึงจำเป็นต้องทำการศึกษาลักษณะและพฤติกรรมของฮาร์โมนิกส์ที่เกิดขึ้นในระบบไฟฟ้า รูปคลื่นของฮาร์โมนิกส์ที่เกิดขึ้น สมการของฮาร์โมนิกส์ในรูปทั่วไป คุณภาพและการวัดคุณภาพของรูปคลื่น

##### 2.1.1 ลักษณะและพฤติกรรมของฮาร์โมนิกส์

โดยทั่วไปแล้ว ในระบบไฟฟ้ากระแสสลับนั้น รูปคลื่นของกระแส และแรงดันจะถูกพิจารณาให้มีลักษณะเป็น sinusoidal ในอุดมคติ แต่ในทางปฏิบัติจริง เกือบเป็นไปไม่ได้ที่ลักษณะของรูปคลื่นกระแส และแรงดันที่เกิดขึ้นจะมีความเป็น sinusoidal 100% เนื่องจากรูปคลื่นดังกล่าวนั้นจะมีความบิดเบือนไปจาก sinusoidal อันมีสาเหตุมาจากการใช้งานกับโหลดไม่เชิงเส้น การรบกวนจากสัญญาณภายนอกหรือจากระบบอื่นๆ ทำให้ผลที่เกิดขึ้นคือ รูปคลื่นที่ได้จะมีความผิดเพี้ยน

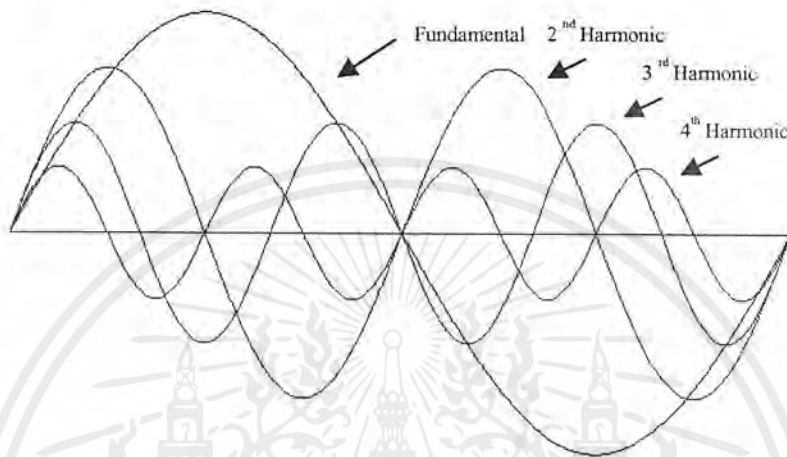
หากนำรูปคลื่นผิดเพี้ยนที่เกิดขึ้นดังกล่าวมาทำการวิเคราะห์ จะพบว่ารูปคลื่นนั้นสามารถแยกออกมาเป็นรูปคลื่นที่มีความถี่ต่างๆกัน นั่นคือ รูปคลื่นผิดเพี้ยนเกิดขึ้นมาจาก ผลรวมของรูปคลื่นที่มีความถี่ต่างๆ กัน โดยรูปคลื่นจะประกอบไปด้วย

1. รูปคลื่นไซน์ซอซอดัลที่มีความถี่มูลฐาน
2. รูปคลื่นไซน์ซอซอดัลที่มีความถี่ฮาร์โมนิกส์

รูปคลื่นไซน์ซอซอดัลที่มีความถี่มูลฐานนั้น หมายถึง รูปคลื่นไซน์ซอซอดัลที่มีความถี่ต่ำสุดคือที่ความถี่  $f$  และรูปคลื่นไซน์ซอซอดัลที่มีความถี่ฮาร์โมนิกส์ หมายถึงรูปคลื่นไซน์ซอซอดัลที่มีความถี่เป็นจำนวนเต็มเท่าของความถี่มูลฐานคือ  $2f, 3f, 4f, \dots$  และนอกจากนี้ ยังสามารถจำแนกรูปคลื่นที่ความถี่ฮาร์โมนิกส์ได้เป็นอีกสองประเภท คือ

ฮาร์โมนิกคู่ หมายถึง รูปคลื่นที่มีจำนวนเท่าของความถี่มูลฐานเป็นเลขจำนวนเต็มคู่ที่มากกว่า 1 คือรูปคลื่นที่ความถี่  $2f, 4f, 6f, \dots$

ฮาร์โมนิกคี่ หมายถึง รูปคลื่นที่มีจำนวนเท่าของความถี่มูลฐานเป็นเลขจำนวนเต็มคี่ที่มากกว่า 1 คือรูปคลื่นที่ความถี่  $3f, 5f, 7f, \dots$



รูปที่ 2.1 แสดงคลื่น Sinusoidal ที่ความถี่มูลฐาน และความถี่ฮาร์โมนิกต่างๆ

## 2.1.2 สมการทั่วไปของรูปคลื่น

ในการหาสมการทั่วไปของรูปคลื่นนั้น หากพิจารณารูปคลื่นโดยทั่วไปพบว่าเกิดจากรูปคลื่นที่ความถี่มูลฐาน และที่ความถี่ฮาร์โมนิกต่างๆมารวมกัน ซึ่งในแต่ละรูปคลื่นมีค่าสูงสุด และค่ามุมแตกต่างกัน ดังนั้น ที่ความถี่มูลฐานจะเขียนสมการได้คือ

$$e_1 = E_{1m} \sin(\omega t + \theta_1) \quad \dots (2.1)$$

เมื่อ  $e_1$  คือ สมการของรูปคลื่นที่ความถี่มูลฐาน

$E_{1m}$  คือ ค่าสูงสุดของรูปคลื่น

$\omega$  คือ ค่าความเร็วเชิงมุมที่ความถี่มูลฐาน

$\theta_1$  คือ ค่ามุมเฟสของรูปคลื่น

ในทำนองเดียวกันสามารถเขียนสมการของรูปคลื่นที่ความถี่ต่างๆ ได้คือ

$$e_1 = E_{1m} \sin(\omega t + \theta_1)$$

$$e_2 = E_{2m} \sin(2\omega t + \theta_2)$$

...

...

$$e_n = E_{nm} \sin(n\omega t + \theta_n)$$

... (2.2)

เอกสารนี้เป็นเอกสารที่สงวนไว้สำหรับการใช้งานเพื่อการศึกษาเท่านั้น ไม่อนุญาตให้นำไปใช้ประโยชน์ด้านการค้า ไม่ว่ากรณีใดๆ ทั้งสิ้น อีกทั้งห้ามมิให้ตัดแปลงเนื้อหาและต้องอ้างอิงถึงเจ้าของเอกสารทุกครั้งที่มีการนำไปใช้

เพราะฉะนั้น สมการของรูปคลื่นโดยทั่วไปคือ

$$\begin{aligned} e &= e_1 + e_2 + e_3 + \dots + e_n \\ &= E_{1m} \sin(\omega t + \theta_1) + E_{2m} \sin(2\omega t + \theta_2) + \dots \\ &\quad + E_{nm} \sin(n\omega t + \theta_n) \end{aligned} \quad \dots (2.3)$$

ในทำนองเดียวกัน รูปคลื่นกระแสโดยทั่วไปคือ

$$\begin{aligned} i &= i_1 + i_2 + i_3 + \dots + i_n \\ &= I_{1m} \sin(\omega t + \phi_1) + I_{2m} \sin(2\omega t + \phi_2) + \dots \\ &\quad + I_{nm} \sin(n\omega t + \phi_n) \end{aligned} \quad \dots (2.4)$$

จากทั้งสองสมการ (2.3) และ (2.4) จะสามารถหาค่าความต่างเฟส ที่ความถี่ต่างๆ ได้คือ ค่า  $(\theta_1 - \phi_1)$  จะเป็นค่าความต่างเฟสของความถี่ที่ความถี่มูลฐาน ดังนั้น ในทำนองเดียวกัน ค่าความต่างเฟสที่ความถี่  $n\omega$  จะมีค่าเป็น  $(\theta_n - \phi_n)$  นั่นเอง

### 2.1.3 แหล่งกำเนิดและชนิดของแหล่งกำเนิดฮาร์โมนิกส์

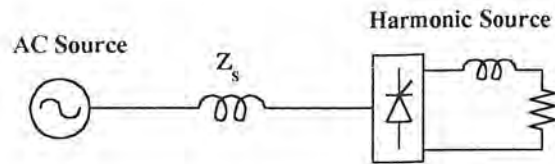
ในการพิจารณาปัญหาเรื่องฮาร์โมนิกส์นั้น เนื่องจากฮาร์โมนิกส์มีสาเหตุมาจาก การใช้อุปกรณ์โหลดไม่เชิงเส้นดังนั้นในการมองปัญหา จึงพิจารณาให้โหลดไม่เชิงเส้นเหล่านั้น ทำหน้าที่เป็นแหล่งกำเนิดฮาร์โมนิกส์ให้แก่ระบบ ซึ่งสามารถจำแนกประเภทของแหล่งจ่ายฮาร์โมนิกส์ที่เกิดขึ้นตามคุณลักษณะได้เป็น 2 ประเภทคือ

1. แหล่งจ่ายฮาร์โมนิกส์ชนิดที่เป็นแหล่งจ่ายกระแส (แหล่งจ่ายกระแสฮาร์โมนิกส์)
2. แหล่งจ่ายฮาร์โมนิกส์ชนิดที่เป็นแหล่งจ่ายแรงดัน (แหล่งจ่ายแรงดันฮาร์โมนิกส์)

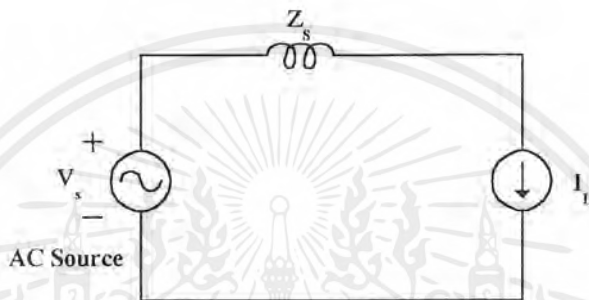
**แหล่งจ่ายฮาร์โมนิกส์ชนิดที่เป็นแหล่งจ่ายกระแส (แหล่งจ่ายกระแสฮาร์โมนิกส์)**

การเกิดฮาร์โมนิกส์ประเภทนี้มีสาเหตุมาจาก การทำงานที่มีลักษณะสวิตชิ่ง ที่รู้จักกันดีได้แก่ ไทริสเตอร์คอนเวอร์เตอร์ เป็นต้น รูปที่ 2.2 แสดงลักษณะวงจรการทำงานของวงจรเรียงกระแสโดยอาศัยไทริสเตอร์ที่มีตัวอินดักเตนซ์ต่ออยู่ เพื่อให้กระแสไฟตรงมีลักษณะคงที่ ซึ่งวงจรนี้มีการกำเนิดกระแสฮาร์โมนิกส์ขึ้นมา ทำให้รูปคลื่นมีความผิดเพี้ยนจากความเป็นไซน์ซวยยดัล

เนื่องจากคุณลักษณะของกระแสที่เกิดขึ้นนี้ ประพฤติตัวเหมือนกับเป็นแหล่งจ่ายกระแสฮาร์โมนิกส์ ดังนั้นจึงเรียกลักษณะการเกิดฮาร์โมนิกส์ประเภทนี้ว่า แหล่งจ่ายฮาร์โมนิกส์ชนิดที่เป็นแหล่งจ่ายกระแส หรือแหล่งจ่ายกระแสฮาร์โมนิกส์



(ก)



(ข)

รูปที่ 2.2 แสดงแหล่งจ่ายฮาร์โมนิกส์ชนิดที่เป็นแหล่งจ่ายกระแส

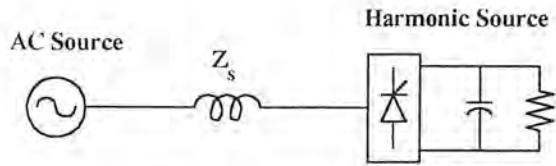
(ก) วงจรไทรสเตอร์ที่ต่อกับโหลด RL ซึ่งทำตัวเป็นแหล่งจ่ายกระแสฮาร์โมนิกส์

(ข) วงจรสมมูลของรูป (ก)

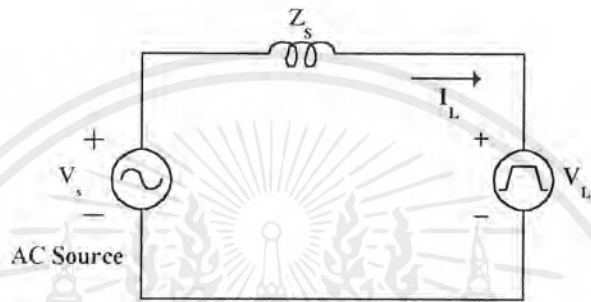
แหล่งจ่ายฮาร์โมนิกส์ชนิดที่เป็นแหล่งจ่ายแรงดัน(แหล่งจ่ายแรงดันฮาร์โมนิกส์)

วงจรบริดจ์เรกติไฟร์ที่มีการต่อกับตัวคาปาซิเตอร์ แสดงวงจรโดยรูป 2.3 (ก) รูปคลื่นที่เกิดขึ้นในกรณีนี้มีความผิดเพี้ยน นอกจากนี้กระแสที่เกิดขึ้นในกรณีนี้ก็ยังมีค่าผิดเพี้ยนสูงอีกมาก ดังนั้นค่าอิมพีแดนซ์ทางต้านไฟสลับจึงมีผลอย่างมากต่อแอมพลิจูดของฮาร์โมนิกส์ ในขณะที่แรงดันมีคุณลักษณะขึ้นอยู่กับอิมพีแดนซ์ทางต้านไฟสลับอยู่น้อย จึงทำให้มันประพฤติตัวเสมือนเป็นแหล่งจ่ายแรงดันมากกว่าที่จะเป็นแหล่งจ่ายกระแส

ดังนั้นสามารถแสดงวงจรสมมูลของระบบวงจรบริดจ์เรกติไฟร์ได้ดังรูป 2.3(ข) และจากรูปจึงสามารถสรุปได้ว่า วงจรเรียงบริดจ์เรกติไฟร์นี้ประพฤติตัวเป็น แหล่งจ่ายฮาร์โมนิกส์ชนิดที่เป็นแหล่งจ่ายแรงดัน หรือแหล่งจ่ายแรงดันฮาร์โมนิกส์ นอกจากนี้กระแสฮาร์โมนิกส์ที่กำเนิดขึ้นมาจากวงจรบริดจ์เรกติไฟร์นั้น จะมีขนาดขึ้นอยู่กับวงจรบริดจ์เรกติไฟร์ที่ใช้ และขนาดอิมพีแดนซ์ของไฟสลับ



(ก)



(ข)

รูปที่ 2.3 แสดงแหล่งฮาร์โมนิกส์ชนิดที่เป็นแหล่งจ่ายแรงดัน

- (ก) วงจรบริดจ์เรกติไฟร์ซึ่งทำตัวเป็นแหล่งจ่ายแรงดันฮาร์โมนิกส์
- (ข) วงจรสมมูลของวงจรบริดจ์เรกติไฟร์

## 2.2 การวัดค่าความผิดเพี้ยนของรูปคลื่น

ในการใช้งานอุปกรณ์ทางเพาเวอร์อิเล็กทรอนิกส์ เช่น อินเวอร์เตอร์นั้น สัญญาณขาออกที่ได้ย่อมมีฮาร์โมนิกส์ประกอบอยู่ ดังนั้นเพื่อที่จะหาค่าคุณภาพของรูปคลื่นที่ได้ออกมา จะใช้ค่านิยามค่าพารามิเตอร์ต่างๆ คือ

1. ฮาร์โมนิกส์แฟกเตอร์ ของฮาร์โมนิกส์ลำดับที่  $n$  ;  $HF_n$  (Harmonic factor of  $n$ th harmonic)

มีการนิยามโดย

$$HF = \frac{V_n}{V_1} \dots (2.5)$$

เมื่อ  $V_1$  และ  $V_n$  เป็นค่าแรงดันประสิทธิผลที่ความถี่มูลฐาน และที่ฮาร์โมนิกส์ลำดับที่  $n$  ตามลำดับ

2. ค่าโททัลฮาร์โมนิกดีสทอร์ชัน ; THD ( Total harmonic distortion )

แสดงการผิดเพี้ยนที่เกิดขึ้นระหว่างรูปคลื่นหนึ่ง กับองค์ประกอบที่ความถี่มูลฐานของรูปคลื่นนั้น มีการนิยามโดย

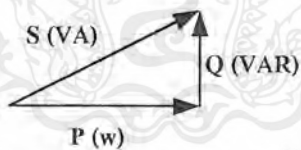
$$\text{THD} = \frac{1}{V} \sqrt{\sum_{n=2}^{\infty} V_n^2} \quad \dots (2.6)$$

เมื่อ  $V_1$  และ  $V_n$  เป็นค่าแรงดันประสิทธิผลที่ความถี่มูลฐาน และที่ฮาร์โมนิกส์ลำดับที่  $n$  ตามลำดับ

### 2.3 เพาเวอร์แฟกเตอร์

ในการนิยามค่าเพาเวอร์แฟกเตอร์นั้นสามารถนิยามได้โดยเพาเวอร์แฟกเตอร์คือ อัตราส่วนของกำลังงานที่จ่ายจริง ต่อค่ากำลังที่ปรากฏ แสดงดังรูปที่ 2.4 นั้นก็สามารถเขียนเป็นสูตรได้เป็น

$$\text{p.f.} = W / VA \quad \dots (2.7)$$



รูปที่ 2.4 แสดงกำลังไฟฟ้า

หาก  $I_{s1}$  และ  $I_s$  แทนค่ากระแสประสิทธิผลของรูปคลื่นกระแสที่ความถี่มูลฐาน และกระแสขาเข้า ตามลำดับ และ  $V$  เป็นค่าแรงดันประสิทธิผล ดังนั้นจะได้ว่า

$$W = V_s I_{s1} \cos \theta \quad \dots (2.8)$$

$$\text{และ } VA = V_s I_{s...} \quad \dots (2.9)$$

$$\text{นั่นคือ } \text{p.f.} = \frac{I_{s1}}{I_s} \cos \theta \quad \dots (2.10)$$

เอกสารนี้เป็นเอกสารที่สงวนไว้สำหรับการใช้งานเพื่อการศึกษาเท่านั้น ไม่อนุญาตให้นำไปใช้ประโยชน์ด้านการค้าไม่ว่ากรณีใดๆ ทั้งสิ้น อีกทั้งห้ามมิให้ตัดแปลงเนื้อหาและต้องอ้างอิงถึงเจ้าของเอกสารทุกครั้งที่มีการนำไปใช้

จากสมการนี้สามารถแยกพิจารณาได้เป็น 2 ส่วนคือ

1.  $I_s1 / I_s$  เป็นส่วนแสดงถึงค่าเพาเวอร์แฟกเตอร์ที่เกิดจากความผิดเฟสของรูปคลื่นกระแส เรียกได้อีกอย่างว่า ค่าฟอร์มแฟกเตอร์
2.  $\cos \theta$  เป็นส่วนแสดงถึงค่าเพาเวอร์แฟกเตอร์ที่เกิดจากรูปคลื่นของกระแส และแรงดันที่มีความต่างเฟสกัน

#### 2.4 ผลกระทบจากการมีค่าเพาเวอร์แฟกเตอร์ต่ำ

การเกิดค่าเพาเวอร์แฟกเตอร์ต่ำนั้น จะมีผลกระทบที่เกิดขึ้น 3 ทางคือ

1. ค่าความสูญเสียที่เกิดขึ้นในสายทองแดงจะมีค่าสูงขึ้น เนื่องจากกระแสที่สูงขึ้น หมายความว่า ค่าความสูญเสียที่เกิดจะมีค่าแปรผันตาม ค่ากระแสกำลังสอง นั่นคือ มีค่าแปรผันตาม  $(I/\cos^2 \theta)$
2. เนื่องจากค่าพิคคของอุปกรณ์ไฟฟ้าเช่น แหล่งกำเนิดไฟฟ้า หม้อแปลง ฯลฯ ปกติจะมีค่าแปรผันตามค่ากระแส นั่นคือ แปรตาม  $1/\cos \theta$  ดังนั้นจึงต้องมีขนาดอุปกรณ์ที่ใหญ่ขึ้น
3. ค่าเพาเวอร์แฟกเตอร์แบบล้าหลังที่มีค่าต่ำๆ นั้น จะเป็นสาเหตุให้เกิด แรงดันครอปมาก ทำให้ต้องใช้อุปกรณ์เรกกูเรชันชนิดพิเศษเพื่อให้แรงดันที่ครอปอยู่ในช่วงที่ยอมรับได้

### บทที่ 3

#### แอกทีฟฟิลเตอร์

เนื่องจากปัญหาฮาร์โมนิกส์ในระบบไฟฟ้าที่เกิดขึ้นนี้มีแนวโน้มเพิ่มขึ้น อันเนื่องมาจากปริมาณการใช้อุปกรณ์อิเล็กทรอนิกส์ไฟฟ้ามาประยุกต์ใช้งานเพิ่มขึ้นนั่นเอง ดังนั้นแอกทีฟฟิลเตอร์จึงได้รับการพัฒนาขึ้นมาเพื่อใช้ในการแก้ปัญหาที่เกิดขึ้น แอกทีฟฟิลเตอร์นั้นสามารถจำแนกได้เป็น 2 ประเภทตามลักษณะการต่อวงจรคือ

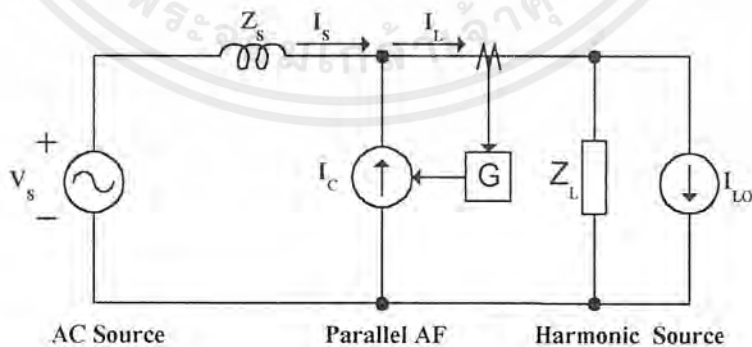
1. แอกทีฟฟิลเตอร์แบบขนาน
2. แอกทีฟฟิลเตอร์แบบอนุกรม

#### 3.1 แอกทีฟฟิลเตอร์แบบขนาน

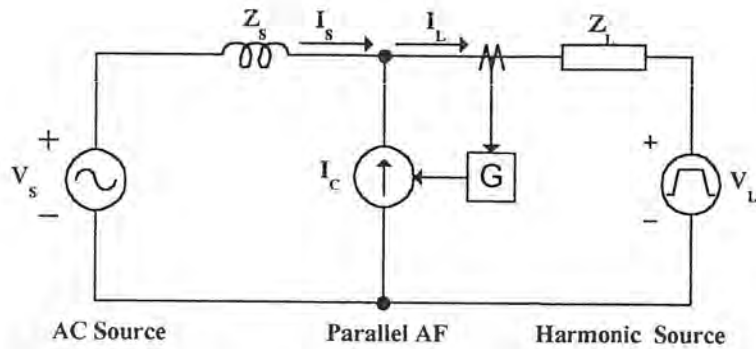
แอกทีฟฟิลเตอร์แบบขนาน เป็น อินเวอร์เตอร์ที่ใช้หลักการ พิคัปปลิวเอม ที่ต่อขนานกับแหล่งกำเนิดฮาร์โมนิกส์ เพื่อฉีดกระแสชดเชยฮาร์โมนิกส์ ซึ่งเป็นกระแสที่มีขนาดเท่ากัน แต่มีเฟสตรงกันข้ามกับกระแสฮาร์โมนิกส์ที่เกิดขึ้นที่ระบบไฟฟ้าฝั่งไฟสลับ ดังนั้นกลไกสำคัญของการทำงานจึงอยู่ที่ความสามารถในการตรวจจับ และคำนวณกระแสฮาร์โมนิกส์ที่จะทำการชดเชยให้ถูกต้อง ซึ่งเป็นส่วนของวงจรควบคุม

แอกทีฟฟิลเตอร์แบบขนาน สามารถแบ่งตามประเภทการทำงานได้อีก 2 ประเภท คือ

1. ใช้สำหรับ แหล่งกำเนิดกระแสฮาร์โมนิกส์ ดังรูปที่ 3.1
2. ใช้สำหรับ แหล่งกำเนิดแรงดันฮาร์โมนิกส์ ดังรูปที่ 3.2



รูปที่ 3.1 แสดงวงจรแอกทีฟฟิลเตอร์แบบขนาน สำหรับแหล่งกำเนิดกระแสฮาร์โมนิกส์



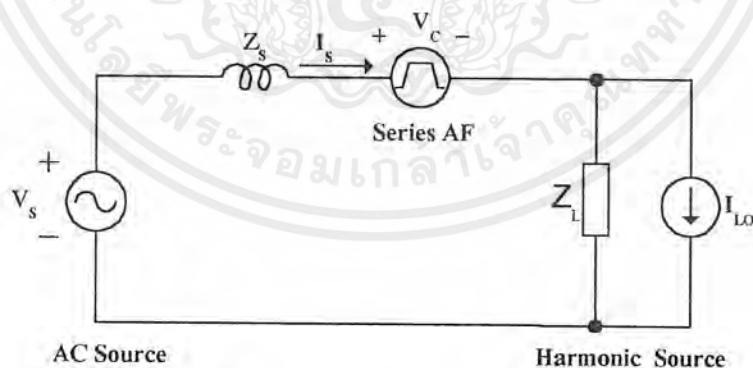
รูปที่ 3.2 แสดงวงจรแอกทีฟฟิลเตอร์แบบขนาน สำหรับแหล่งกำเนิดแรงดันฮาร์โมนิกส์

### 3.2 แอกทีฟฟิลเตอร์แบบอนุกรม

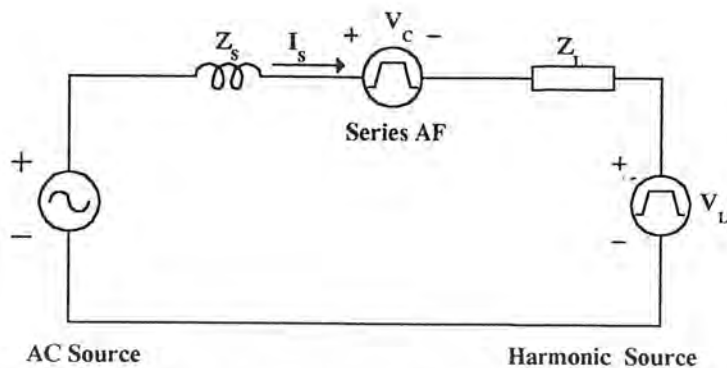
แอกทีฟฟิลเตอร์แบบอนุกรม จะเป็นการต่อวงจรแบบอนุกรมระหว่าง แหล่งกำเนิดไฟฟ้ากระแสสลับ กับแหล่งกำเนิดฮาร์โมนิกส์ที่เป็นโหลด เพื่อทำการบังคับกระแสแหล่งจ่ายให้มีความเป็น ไซน์ซอซอดัล โดยแอกทีฟฟิลเตอร์อนุกรมนี้ จะทำหน้าที่เป็นอิมพีแดนซ์สูง กับกระแสฮาร์โมนิกส์ เพื่อกั้นขวางไม่ให้กระแสฮาร์โมนิกส์ไหลจากโหลด ไปสู่แหล่งกำเนิดไฟฟ้ากระแสสลับ และจากแหล่งกำเนิดไฟฟ้ากระแสสลับ ไปสู่โหลดได้

แอกทีฟฟิลเตอร์แบบอนุกรมนี้สามารถแบ่งได้เป็น 2 ประเภทเช่นกันคือ

1. ใช้สำหรับ โหลดที่เป็นแหล่งกำเนิดกระแสฮาร์โมนิกส์ ดังรูปที่ 3.3
2. ใช้สำหรับ โหลดที่เป็นแหล่งกำเนิดแรงดันฮาร์โมนิกส์ ดังรูปที่ 3.4



รูปที่ 3.3 แสดงวงจรแอกทีฟฟิลเตอร์แบบอนุกรม สำหรับแหล่งกำเนิดกระแสฮาร์โมนิกส์



รูปที่ 3.4 แสดงวงจรแอกทีฟฟิลเตอร์แบบอนุกรม สำหรับแหล่งกำเนิดแรงดันฮาร์โมนิกส์

ตารางที่ 1 แสดงการเปรียบเทียบระหว่างแอกทีฟฟิลเตอร์แบบขนาน และแบบอนุกรม

คุณลักษณะ	แอกทีฟฟิลเตอร์ แบบขนาน	แอกทีฟฟิลเตอร์ แบบอนุกรม
รูป		
หลักการทํางาน	ทำหน้าที่เป็นแหล่งจ่ายกระแส	ทำหน้าที่เป็นแหล่งจ่ายแรงดัน
โหลดที่ใช้งาน	<ul style="list-style-type: none"> <li>- โหลดอินดักทีฟ</li> <li>- โหลดที่เป็นแหล่งจ่ายกระแส</li> <li>- โหลดที่เป็นแหล่งจ่ายกระแสฮาร์โมนิกส์</li> </ul>	<ul style="list-style-type: none"> <li>- โหลดคาปาซิทีฟ</li> <li>- โหลดที่เป็นแหล่งจ่ายแรงดัน</li> <li>- โหลดที่เป็นแหล่งจ่ายแรงดันฮาร์โมนิกส์</li> </ul>
คุณลักษณะการชดเชยกระแสฮาร์โมนิกส์	ทำงานได้ดี และไม่ขึ้นกับอิมพีแดนซ์ของแหล่งจ่าย ( $Z_s$ ) ในกรณีทีโหลดเป็นแหล่งจ่ายกระแส	ทำงานได้ดี และไม่ขึ้นกับอิมพีแดนซ์ของแหล่งจ่าย และ อิมพีแดนซ์ของโหลด ในกรณีที่ใช้กับโหลดที่เป็นแหล่งจ่ายแรงดัน

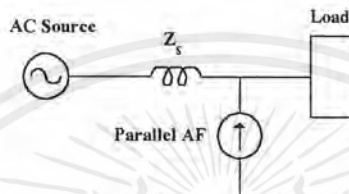
แอกทีฟฟิลเตอร์ที่จะนำมาศึกษาใช้งานในปฏิญานฉบับนี้ จะพิจารณาแอกทีฟฟิลเตอร์ให้เป็น แหล่งจ่ายกระแสที่ต่อขนานอยู่กับโหลดที่เป็นแหล่งกำเนิดฮาร์โมนิกส์ ซึ่งหลักการที่จะนำมาใช้งานจะเป็นหลักการฉีดกระแสฮาร์โมนิกส์ ซึ่งเป็นการฉีดกระแสฮาร์โมนิกส์ที่มีขนาดเท่ากับกระแสฮาร์โมนิกส์ที่เกิดขึ้นแต่มีเฟสตรงข้ามกับกระแสฮาร์โมนิกส์นั้น เพื่อไปหักล้างกับกระแสฮาร์โมนิกส์ในระบบไฟฟ้า

เอกสารนี้เป็นเอกสารที่สงวนไว้สำหรับการใช้งานเพื่อการศึกษาเท่านั้น ไม่อนุญาตให้นำไปใช้ประโยชน์ด้านการค้าไม่ว่ากรณีใดๆ ทั้งสิ้น อีกทั้งห้ามมิให้ดัดแปลงเนื้อหาและต้องอ้างอิงถึงเจ้าของเอกสารทุกครั้งที่มีการนำไปใช้

## บทที่ 4

### ทฤษฎี และหลักการ

แอดทีฟฟิลเตอร์ที่ทำการศึกษาในปฏิญานิพนธ์ฉบับนี้ เป็นแอดทีฟฟิลเตอร์ที่ใช้หลักการฉีดกระแสฮาร์โมนิกส์ ซึ่งเป็นการฉีดกระแสฮาร์โมนิกส์ที่มีขนาดเท่ากับกระแสฮาร์โมนิกส์ที่เกิดขึ้นแต่มีเฟสตรงกันข้ามเพื่อไปหักล้างกันกับกระแสฮาร์โมนิกส์นั้น



รูปที่ 4.1 แสดงวงจรกรองแอดทีฟ แบบฉีดกระแสฮาร์โมนิกส์

#### 4.1 การวิเคราะห์กระแส

ในการหากระแสที่จะทำการชดเชยให้แก่วงจรนั้น ก่อนอื่นจำเป็นต้องทำการศึกษาวิเคราะห์ลักษณะ และพฤติกรรมของกระแสโดยทั่วไปก่อน ว่ากระแสที่เกิดขึ้นประกอบด้วยองค์ประกอบใดอยู่บ้าง เพื่อหาวิธีการในการสร้างกระแสฮาร์โมนิกส์ ที่จะใช้ชดเชยกับกระแสฮาร์โมนิกส์ของระบบ

โดยทั่วไปแล้ว กระแสที่เกิดขึ้นในวงจรสามารถที่จะแยกแยะได้เป็นองค์ประกอบต่างๆ คือ กระแสไฟตรง กระแสแอดทีฟ หรือกระแสที่มีความถี่มูลฐาน กระแสรีแอดทีฟ และกระแสฮาร์โมนิกส์ ซึ่งสามารถนำมาเขียนได้ดังสมการคือ

$$i_i(t) = i_o(t) + i_p(t) + i_q(t) + i_h(t) \quad \dots (4.1)$$

- เมื่อ
- $i_o$  คือ ไฟกระแสตรง (DC Component)
  - $i_p$  คือ กระแสที่มีเฟสตรงกันกับแรงดันของแหล่งจ่าย
  - $i_q$  คือ กระแสรีแอดทีฟ (Reactive current)
  - $i_h$  คือ กระแสฮาร์โมนิกส์

จากสมการ (4.1) นำมาวิเคราะห์ให้ละเอียดจะเห็นว่า องค์ประกอบของฮาร์โมนิกส์ที่เกิดขึ้น จะมี 2 องค์ประกอบย่อยๆ คือ ฮาร์โมนิกส์คู่ และ ฮาร์โมนิกส์คี่ สามารถขยายสมการ (4.1) ได้ดังสมการที่ (4.2)

$$\begin{aligned}
i_L(t) &= I_0 + I_p \cos(\omega t) + I_q \sin(\omega t) \\
&+ \sum_{j=1}^{\infty} \frac{I_{2j}}{2j} \cos(2j\omega t + \phi_{2j}) \\
&+ \sum_{k=1}^{\infty} \frac{I_{2k+1}}{2k+1} \cos((2k+1)\omega t + \phi_{2k+1}) \quad \dots \quad (4.2)
\end{aligned}$$

จากการพิจารณาสมการ (4.2) จะเห็นได้ว่า กระแสชดเชยที่จะต้องจ่ายเพื่อไปหักล้างกับ กระแสฮาร์โมนิกส์  $i_p$  คือ ค่ากระแสไหลด ลบด้วยค่ากระแสแอกทีฟนั่นเอง สามารถแสดงได้ ดังสมการ

$$i_r(t) = i_L(t) - i_p(t) = i_L(t) - I_p \cos(\omega t) \quad \dots \quad (4.3)$$

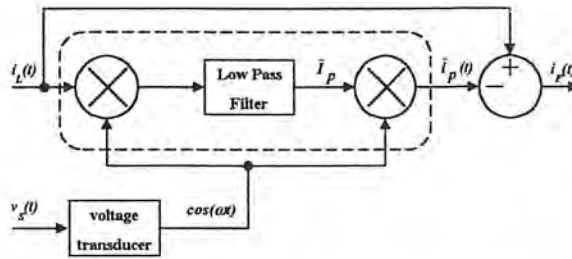
จากสมการ (4.3) พบว่า องค์ประกอบที่ต้องทำการหาค่า เพื่อให้ได้กระแสชดเชย จะประกอบไปด้วย  $i_r$ ,  $i_p$ , และ  $\cos(\omega t)$  ซึ่งองค์ประกอบ  $i_r$  และ  $\cos(\omega t)$  นั้นสามารถหาค่ามาได้ไม่ยากนัก แต่ค่า  $i_p$  นั้น ยังไม่อาจได้มาโดยตรง จึงต้องทำการวิเคราะห์ สมการที่ (4.2) โดย จากสมการที่ (4.2) นำ  $\cos(\omega t)$  มาคูณทั้งสมการ จะได้ว่า

$$\begin{aligned}
i_L(t) \cos(\omega t) &= I_0 \cos(\omega t) + \frac{I_p}{2} [1 + \cos(2\omega t)] + \frac{I_q}{2} \sin(2\omega t) \\
&+ \sum_{j=1}^{\infty} \frac{I_{2j}}{2} [\cos((2j\omega t + 1) + \phi_{2j}) + \cos((2j\omega t - 1) + \phi_{2j})] \\
&+ \sum_{k=1}^{\infty} \frac{I_{2k+1}}{2} [\cos((2k+2)\omega t + \phi_{2k+1}) + \cos(2\omega t + \phi_{2k+1})] \quad \dots \quad (4.4)
\end{aligned}$$

พิจารณาสมการ (4.4) พบว่า หากสามารถกำจัดพจน์ที่ขึ้นกับความถี่ทั้งหมด ผลลัพธ์ที่ได้ ก็จะเหลือเพียง พจน์  $i_p/2$  นั่นคือสามารถหาค่า  $i_p$  ที่ต้องการได้ ซึ่งในทางปฏิบัติก็สามารถกระทำได้โดย นำสัญญาณ  $i_r$  ผ่านวงจรถูกคูณเพื่อทำการคูณกับ  $\cos(\omega t)$  จากนั้นจึงนำไปผ่าน วงจรกรองความถี่ต่ำที่มีความถี่คutoff ที่  $\omega$  ก็จะสามารถได้ค่า  $i_p$  คือค่ากระแสแอกทีฟตาม ต้องการ

เมื่อสามารถหาค่าตัวแปรทั้งสามตัวครบแล้ว ก็สามารถหาค่ากระแสที่จะทำการชดเชยได้ หากนำมาเขียนเป็นบล็อกไดอะแกรม ดังแสดงในรูป 4.2

เอกสารนี้เป็นเอกสารที่สงวนไว้สำหรับการใช้งานเพื่อการศึกษาเท่านั้น ไม่อนุญาตให้นำไปใช้ประโยชน์ด้านการค้า ไม่ว่ากรณีใดๆ ทั้งสิ้น อีกทั้งห้ามมิให้ตัดแปลงเนื้อหาและต้องอ้างอิงถึงเจ้าของเอกสารทุกครั้งที่มีการนำไปใช้



รูปที่ 4.2 แสดงบล็อกไดอะแกรมการหากระแสชดเชย

แต่การทำงานในบล็อกไดอะแกรมนี้ มีข้อควรพิจารณา คือ

1. ขนาดของสัญญาณแรงดันอ้างอิง และค่าเกณฑ์ของวงจรรองความถี่ผ่านต่ำจะมีผลต่อขนาดของ  $i_p$
2. หากมีการเลื่อนเฟสเพียงเล็กน้อย ที่อุปกรณ์ตรวจจับแรงดัน ก็จะมีผลต่อความแม่นยำของวงจร
3. หากแรงดันแหล่งจ่าย มีการผิพเพี้ยนเกิดขึ้น ก็จะมีผลทำให้ค่า  $\cos \omega t$  ที่ได้มา ซึ่งต้องนำไปใช้เพื่อการคำนวณสัญญาณอ้างอิง จะทำให้สัญญาณอ้างอิงที่ได้ มีความผิดเพี้ยนไป

## 4.2 การควบคุมกระแสโดยใช้วงจรควบคุมแบบฮิสเตอร์รีซิส

### 4.2.1 เทคนิคการควบคุมกระแส

เนื่องจากเทคนิค พีดีบิลลิเอ็มนั้น เป็นการควบคุมแรงดันขาออกของอินเวอร์เตอร์แหล่งจ่ายแรงดัน ดังนั้น ในการควบคุมกระแสขาออกโดยใช้เทคนิคพีดีบิลลิเอ็มนี้ จึงสามารถทำได้โดยอาศัยการป้อนกลับกระแส โดยใช้อุปกรณ์ตรวจจับกระแส เพื่อป้อนสัญญาณกระแสเข้าสู่ วงจรควบคุม ซึ่งเป็นการเปรียบเทียบกระแสที่ทำการจ่ายจริงกับกระแสอ้างอิงและกระแสผิดพลาด เพื่อนำผลลัพธ์ที่ได้ไปกำหนดการสวิตซ์ที่เหมาะสม จากนั้น จึงผ่านสัญญาณที่ได้ไปป้อนเข้าสู่อินเวอร์เตอร์ ในที่สุด ทำให้กระแสผิดพลาด และแรงดันขาออกของอินเวอร์เตอร์ ก็จะเป็นพีดีบิลลิเอ็มด้วย ซึ่งก็จะไปทำการควบคุมรูปคลื่นกระแสขาออกให้เหมือนกับกระแสอ้างอิงนั่นเอง

กลไกการควบคุมกระแสให้ได้ประสิทธิภาพสูงนั้น ในทางปฏิบัติก็เป็นเรื่องที่ยุ่ยากมาก เนื่องจากในการใช้งานจริงไม่สามารถที่จะไปกำหนดลักษณะของโหลดที่ตายตัวได้ทำให้กระแสของโหลดก็เปลี่ยนแปลงไปตามลักษณะของโหลดที่เปลี่ยนแปลงไปอีกด้วย ดังนั้นเงื่อนไขที่จำเป็น เพื่อให้การควบคุมกระแสได้ผลดีควรมีลักษณะดังต่อไปนี้

1. มีคุณลักษณะยูติไลต์เซชันของแหล่งจ่ายแรงดันไฟตรงที่ดี

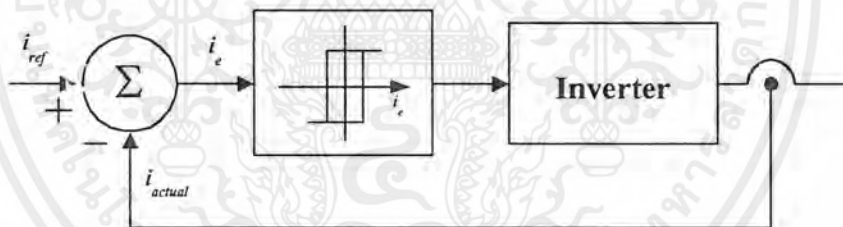
เอกสารนี้เป็นเอกสารที่สงวนไว้สำหรับการใช้งานเพื่อการศึกษาเท่านั้น ไม่อนุญาตให้นำไปใช้ประโยชน์ด้านการค้า ไม่ว่ากรณีใดๆ ทั้งสิ้น อีกทั้งห้ามมิให้ดัดแปลงเนื้อหาและต้องอ้างอิงถึงเจ้าของเอกสารทุกครั้งที่มีการนำไปใช้

2. มีกระแสเออร์ที่มีค่าต่ำๆ ทั้งในสภาวะสแตติกและไดนามิก ซึ่งหมายถึงค่าผลต่างที่ได้จากการเปรียบเทียบกระแสอ้างอิง และกระแสที่จ่ายจริงมีค่าต่ำทั้งในสภาวะคงตัว และในสภาวะการทำงานแบบทรานเซียน
3. มีค่าการสูญเสียจากการสวิทซ์ต่ำในวงจรอินเวอร์เตอร์
4. ต้องมีค่า เวลาที่เพียงพอ เพื่อให้ระบบควบคุมและการสวิทซ์ของอินเวอร์เตอร์ทำงานได้อย่างเหมาะสม

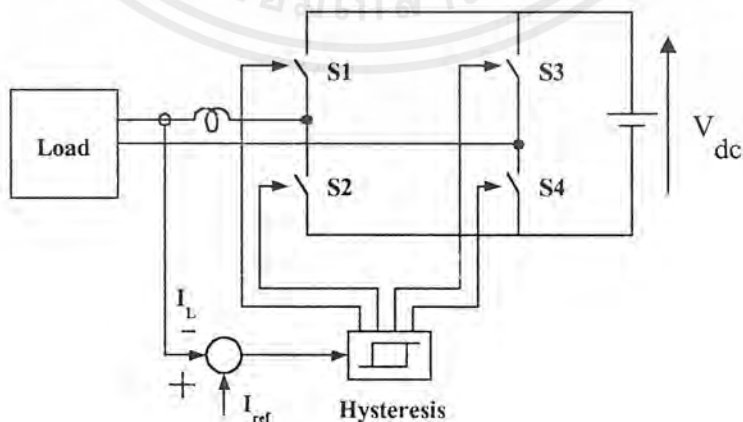
จากคุณลักษณะทั้ง 4 ข้อที่กล่าวมา พบว่า ข้อ 1,3 และ 4 เกี่ยวข้องกับเทคนิคการควบคุมแรงดันแบบพีคดับลิฟเอ็ม และยังเป็นส่วนที่เกี่ยวข้องกับความถูกต้องของการทำงานของอุปกรณ์ เพราะฉะนั้น คุณลักษณะของอุปกรณ์ที่เชื่อถือได้และเทคนิคในการใช้อุปกรณ์เหล่านั้นให้ทำงานได้อย่างมีประสิทธิภาพและความแม่นยำสูงจึงมีความสำคัญมาก

#### 4.2.2 การควบคุมกระแสแบบฮิสเตอร์รีซิส

ลักษณะของบล็อกไดอะแกรมแสดงดังรูป 4.3 และการทำงานของวงจรดังรูป 4.4 จะมีชื่อเรียกว่า การควบคุมแบบฮิสเตอร์รีซิส

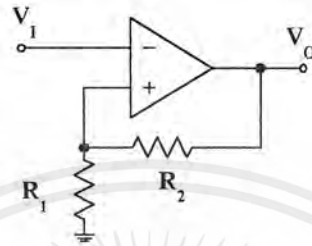


รูปที่ 4.3 แสดงบล็อกไดอะแกรมของการควบคุมกระแสแบบฮิสเตอร์รีซิส



รูปที่ 4.4 แสดงการทำงานของวงจรฮิสเตอร์รีซิสเพื่อควบคุมกระแส

วงจรมอเตอร์รีซีต สามารถกำหนดขอบเขตฮีสเตอร์รีซีตได้จากการเลือกค่า ความต้านทาน  $R_1$  และ  $R_2$  ตามรูปที่ 4.5 โดยถ้าขอบเขตฮีสเตอร์รีซีตมีช่วงแคบ จะทำให้การควบคุมกระแสใกล้เคียงตามที่ต้องการมากที่สุด

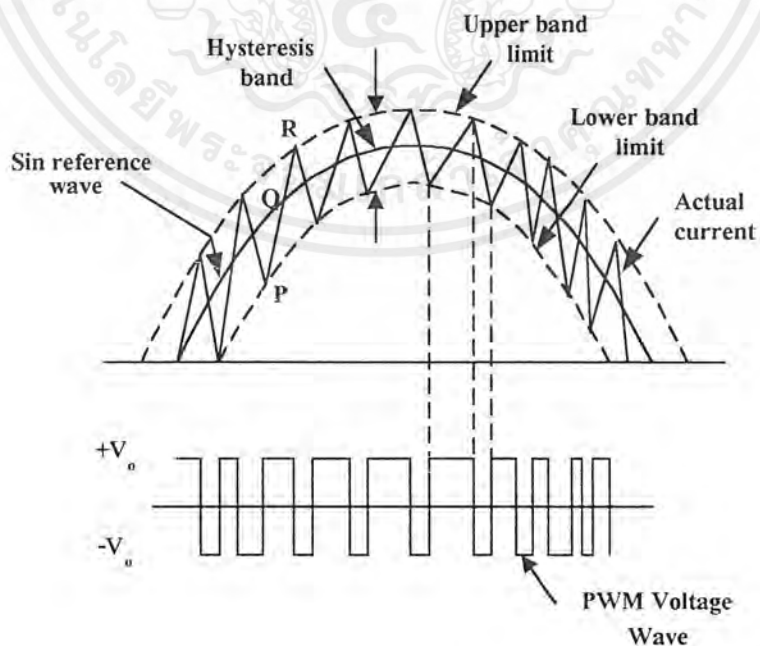


รูปที่ 4.5 แสดงวงจรมอเตอร์รีซีต

$$V_o = \pm \frac{R_1}{R_1 + R_2} V_{cc} \quad \dots (4.5)$$

#### 4.2.3 การทำงาน

กระแสขาออกของอินเวอร์เตอร์จะถูกตรวจจับ และถูกนำมาเปรียบเทียบกับลูกคลื่นของกระแสอ้างอิงที่ต้องการ จากนั้นผลของการเปรียบเทียบที่ได้จะถูกป้อนเข้าสู่ตัวควบคุมกระแส ซึ่งตัวควบคุมกระแสนี้จะทำการผลิตสัญญาณ เพื่อป้อนเข้าสู่อินเวอร์เตอร์ดังรูปที่ 4.6

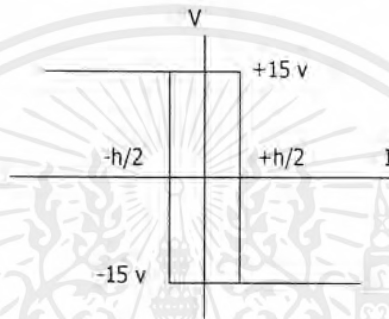


รูปที่ 4.6 การควบคุมกระแสแบบฮีสเตอร์รีซีต

เอกสารนี้เป็นเอกสารที่สงวนไว้สำหรับการใช้งานเพื่อการศึกษาเท่านั้น ไม่อนุญาตให้นำไปใช้ประโยชน์ด้านการค้า ไม่ว่าจะกรณีใดๆ ทั้งสิ้น อีกทั้งห้ามมิให้ตัดแปลงเนื้อหาและต้องอ้างอิงถึงเจ้าของเอกสารทุกครั้งที่มีการนำไปใช้

จากรูป 4.6 จะเห็นได้ว่า จะเป็นลักษณะสัญญาณควบคุมกระแสของสวิทช์ และคุณลักษณะของฮิสเตอรีซิสรูปนั้นจะเป็นดังสมการ

$$V_{out} = \begin{cases} -15V & \text{ถ้า } \Delta i < -\frac{h}{2} \\ 15V & \text{ถ้า } \Delta i > \frac{h}{2} \end{cases} \quad \dots (4.6)$$



รูปที่ 4.7 แสดงกราฟแรงดันระหว่าง  $V_0$  และ  $I$  ที่มีลักษณะเป็นฮิสเตอรีซิส

เมื่อ  $h$  แสดงความกว้างของรูป

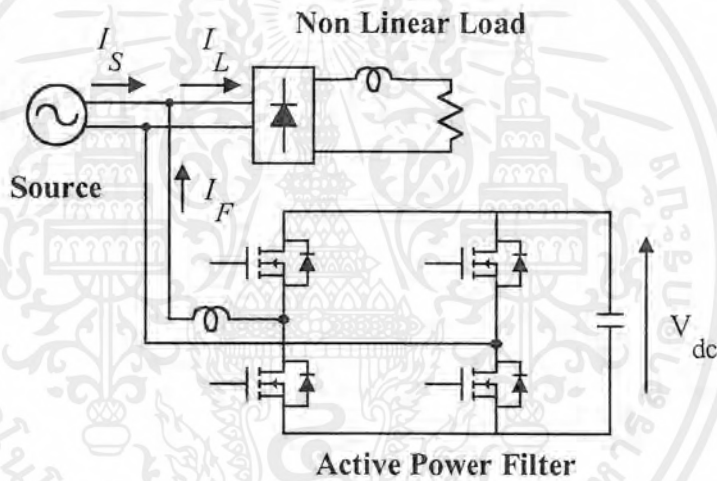
จากสมการถ้าค่าของ  $-\frac{h}{2} \leq \Delta I \leq \frac{h}{2}$  นั้น จะให้ค่าของ สัญญาณเอาต์พุต ไม่เปลี่ยนแปลง ความกว้างของรูป  $h$  สามารถพิจารณาเป็นความกว้างของทอร์เลอร์เรนค์แบนของกระแส  $I$  เพราะตรงใดที่กระแสเออร์เรอร์ยังอยู่ในช่วงของแบนนี้ การทำงานของตัวควบคุมก็จะยังให้ค่าเอาต์พุตที่ไม่เปลี่ยนแปลง แต่หากค่าเออร์เรอร์ที่ได้มีค่าอยู่สูงเกินไป เช่นในกรณีกระแสที่จ่ายจริงอยู่ต่ำกว่า ลูกคลื่นของกระแสอ้างอิงเกินค่า  $h/2$  ผลลัพธ์ที่ได้จะกลายเป็น  $-15$  ซึ่งจะมีผลทำให้ค่ากระแสขาออกมีค่าเพิ่มขึ้น ในทำนองเดียวกัน จะได้  $+15$  เมื่อกระแสขาออกมีค่าเกิน  $-h/2$  ซึ่งจะทำให้กระแส  $I$  ลดลง การทำงานทั้งหมดสามารถแสดงได้ดังรูป 4.6

## บทที่ 5

### การสร้าง และการออกแบบ

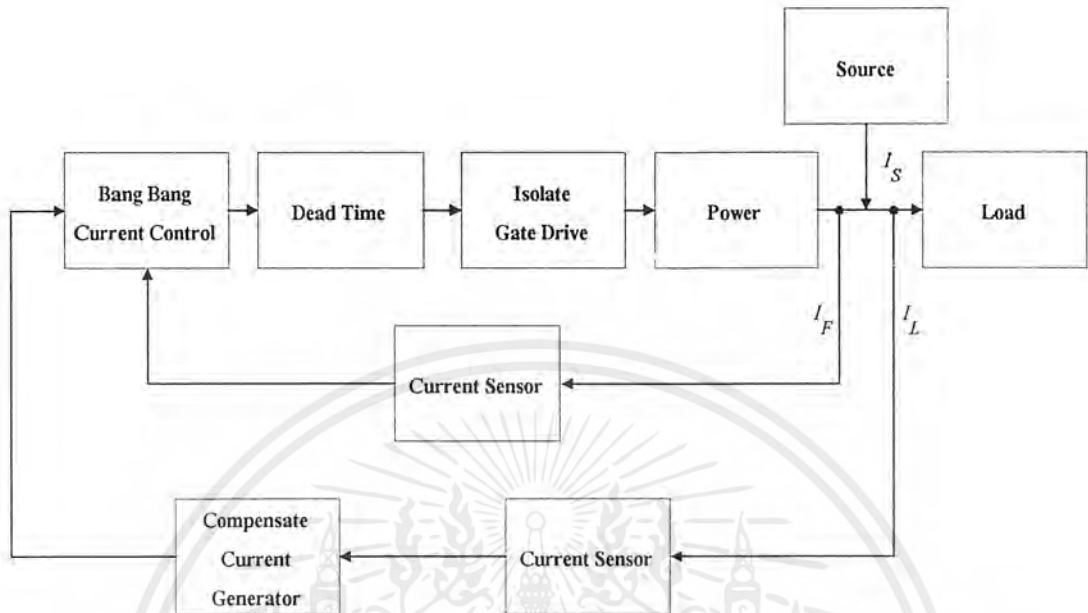
ปัญหาของกระแสฮาร์โมนิกส์ที่เกิดขึ้น จากการใช้งานทางด้านเพาเวอร์อิเล็กทรอนิกส์ ที่เกี่ยวข้องกับอุปกรณ์สวิตชิง จะทำให้เพาเวอร์แฟคเตอร์มีค่าต่ำลง และกระแสไฟฟ้าที่ใช้จะมีปริมาณมากขึ้นซึ่งสร้างปัญหาแก่ระบบไฟฟ้า จึงจำเป็นที่จะต้องแก้กระแสฮาร์โมนิกส์ และปรับปรุงเพาเวอร์แฟคเตอร์

วงจรที่จะนำมาใช้ในการแก้ไขปัญหาลำดับนี้คือ วงจรแอคทีฟฟิลเตอร์ แบบฉีดกระแสฮาร์โมนิกส์ ซึ่งมีลักษณะดังรูปที่ 5.1



รูปที่ 5.1 แสดงวงจรแอคทีฟฟิลเตอร์ แบบฉีดกระแส

การทำงานของวงจรแอคทีฟฟิลเตอร์จะประกอบไปด้วย ส่วนที่สร้างกระแสชดเชยเพื่อจ่ายกระแสฮาร์โมนิกส์ชดเชยให้แก่ระบบ และส่วนของการควบคุมกระแส เพื่อให้จ่ายกระแสที่มีลักษณะตามที่ต้องการเพื่อชดเชยฮาร์โมนิกส์ โดยนำสัญญาณควบคุมที่ได้ไปควบคุมซุกอินเวอร์เตอร์ ที่มีตัวเก็บประจุต่ออยู่เพื่อจ่ายพลังงานที่มีส่วนประกอบของฮาร์โมนิกส์ และส่วนกระแสรีแอคทีฟ



รูปที่ 5.2 แสดงบล็อกโคอะแกรมวงจรแอกทีฟฟิลเตอร์

### วงจร และส่วนประกอบต่างๆ

ในการทำงานของวงจรแอกทีฟฟิลเตอร์สามารถ แยกส่วนประกอบการทำงานได้เป็น 2 ส่วน คือ

1. ส่วนที่ทำหน้าที่สร้างสัญญาณกระแสชดเชย

การทำงานในส่วนนี้ประกอบด้วย

- ส่วนที่ทำหน้าที่ส่งสัญญาณแรงดันไฟฟ้า
- วงจรคูณ
- วงจรกรองความถี่ต่ำ
- วงจรลบ

2. ส่วนที่ทำการควบคุม และสร้างกระแสชดเชย

การทำงานในส่วนนี้ประกอบด้วย

- วงจรแบ่ง แบ่ง
- วงจรเฟื่อเวลา (Dead Time)
- วงจรขับเกต (Gate Drive)

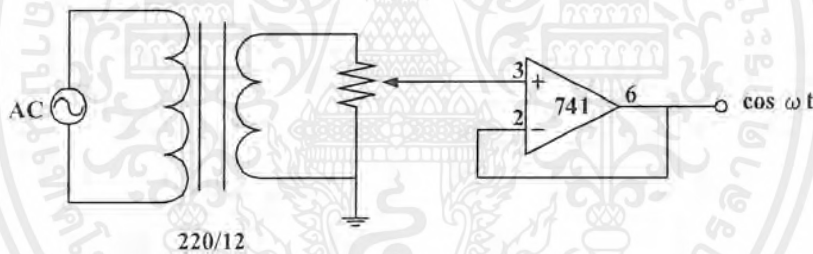
เอกสารนี้เป็นเอกสารที่สงวนไว้สำหรับการใช้งานเพื่อการศึกษาเท่านั้น ไม่อนุญาตให้นำไปใช้ประโยชน์ด้านการค้า ไม่ว่ากรณีใดๆ ทั้งสิ้น อีกทั้งห้ามมิให้ตัดแปลงเนื้อหาและต้องอ้างอิงถึงเจ้าของเอกสารทุกครั้งที่มีการนำไปใช้

- วงจรตรวจจับกระแส (Current Sensor)
- วงจรกำลัง
- วงจรไฟเลี้ยง

### 5.1 ส่วนที่ทำหน้าที่สร้างกระแสชดเชย

เป็นส่วนที่ทำการสร้างกระแสชดเชยอ้างอิงให้แก่แอกทิฟฟิลเตอร์ เพื่อทำการฉีดกระแสให้แก่โหลดฮาร์โมนิกส์ ในส่วนนี้มีส่วนที่เป็นอินพุตอยู่ 2 องค์กรประกอบที่จะนำมาคำนวณในวงจรสร้างกระแสชดเชย คือ กระแสโหลด และ แรงดันของแหล่งจ่าย จึงต้องทำการป้อนสัญญาณทั้งสองเข้ามา จากนั้นสัญญาณทั้งสองจะทำงานตามรูปที่ 4.2 ซึ่งวงจรทั้งหมดจะประกอบไปด้วย ส่วนที่ทำหน้าที่ส่งสัญญาณแรงดันไฟฟ้า

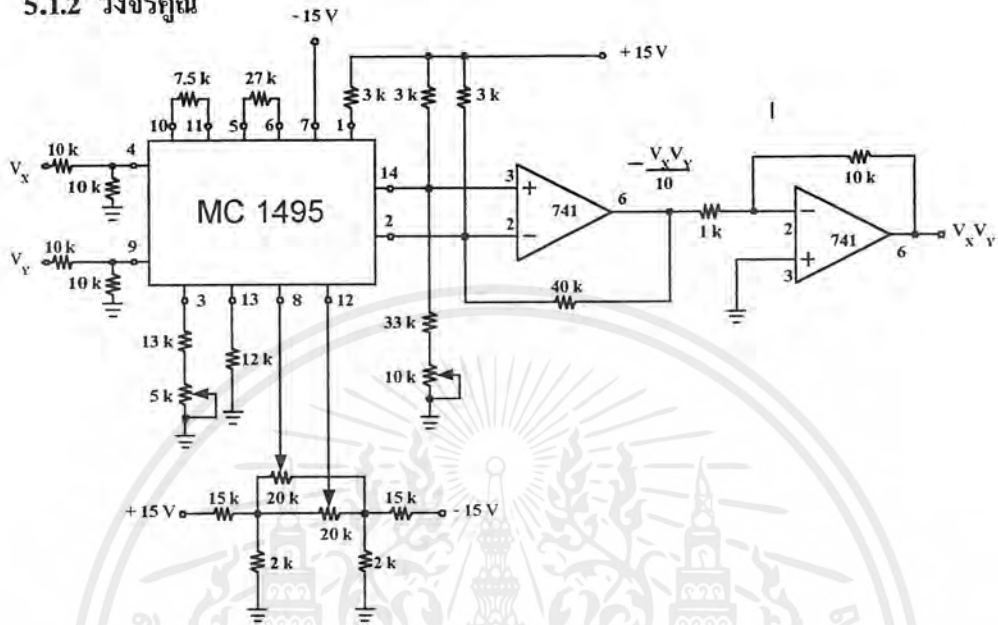
#### 5.1.1 ส่วนที่ทำหน้าที่ส่งสัญญาณแรงดันไฟฟ้า



รูปที่ 5.3 วงจรส่งสัญญาณแรงดันไฟฟ้า  $\cos(\omega t)$

วงจรที่ใช้ในการส่งสัญญาณแรงดันไฟฟ้า  $\cos(\omega t)$  รูป 5.3 จะต้องมีเฟสตรงกับแหล่งจ่าย และแยกกราวด์ ส่วนของวงจรกำลัง และวงจรควบคุม ด้วยการใช หม้อแปลง step down ให้มีแรงดัน 12 V แล้วเข้าตัวความต้านทานปรับค่าได้ เพื่อเปลี่ยนแรงดันให้เหลือ 1 V จากนั้นป้อนเข้าวงจรบัฟเฟอร์ต่อไฟเลี้ยง  $\pm 15$  V เพื่อนำสัญญาณไปใช้ในการหากระแสชดเชย

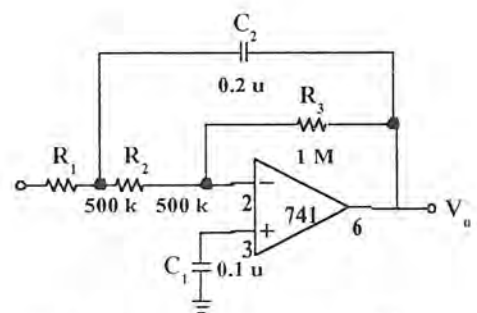
5.1.2 วงจรคูณ



รูปที่ 5.4 แสดงวงจรคูณ

การคำนวณหากระแสแสดชดเชย จะต้องนำสัญญาณมาคูณกัน ซึ่งทำได้โดยใช้ไอซี MC 1495 ไอซีเบอร์นี้เป็นไอซีที่สามารถนำมาใช้ในการคูณ 4 – quadrant โดยการต่อดังรูป 5.4 ซึ่งการทำงานของวงจรประกอบด้วย ไฟเลี้ยงวงจร  $\pm 15\text{ V}$  สัญญาณอินพุต จะต้องไม่เกิน  $\pm 10\text{ V}$  และสัญญาณที่ออกจากไอซี MC 1495 จะมีขนาดลดลง 10 เท่า และมีลักษณะอินเวอร์ส ดังนั้นจึงนำสัญญาณที่ออกจาก MC 1495 นี้มาทำการขยายสัญญาณ 10 เท่าด้วยวงจรกลับเฟส เพื่อให้ได้ค่าเอาท์พุทที่ต้องการ

5.1.3 วงจรรองความถี่ต่ำ

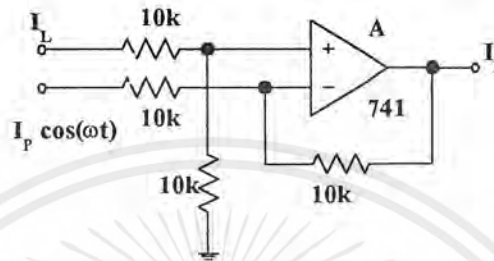


รูปที่ 5.5 แสดงวงจรรองความถี่ต่ำ

เอกสารนี้เป็นเอกสารที่สงวนไว้สำหรับการใช้งานเพื่อการศึกษาเท่านั้น ไม่นอนุญาตให้นำไปใช้ประโยชน์ด้านการค้า ไม่ว่าจะกรณีใดๆ ทั้งสิ้น อีกทั้งห้ามมิให้ตัดแปลงเนื้อหาและต้องอ้างอิงถึงเจ้าของเอกสารทุกครั้งที่มีการนำไปใช้

วงจรกรองความถี่ออกแบบให้มีความถี่คัทออฟที่ 25 Hz เพื่อให้ได้ขนาดของ IP ที่มีแต่ ส่วนของ DC

#### 5.1.4 วงจรลบ



รูปที่ 5.6 แสดงวงจรลบ

เมื่อได้สัญญาณ  $I_P \cos(\omega t)$  จากการคำนวณ จะสามารถหา  $I_F$  ซึ่งเป็นกระแสฮาร์โมนิกที่ จะต้องชดเชย ได้จากวงจรดังรูป 5.6 โดยจ่ายไฟเลี้ยงออปแอมป์  $\pm 15\text{ V}$

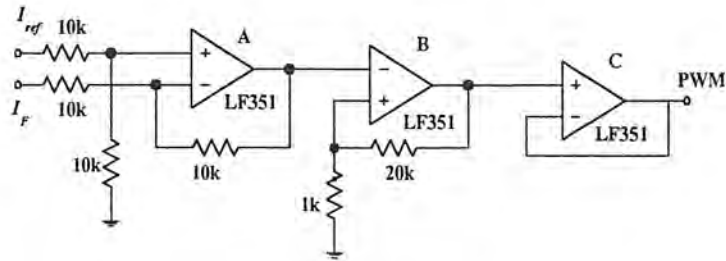
จากวงจรข้างต้น สามารถสร้างกระแสชดเชยได้ โดยการต่อวงจรตามบล็อกไดอะแกรม รูป 4.1 โดยการนำสัญญาณ  $\cos(\omega t)$  จากหม้อแปลง step down และสัญญาณ  $i_L$  จากวงจรตรวจจับกระแส นำมาคูณกัน และผ่านวงจรส่วนกรองความถี่ต่ำ โดยออกแบบให้มีความถี่คัทออฟที่  $\omega t$  เพื่อให้ได้สัญญาณส่วนของ DC ซึ่งเป็นขนาดของกระแส  $I_P$  เพื่อให้ผลที่ได้เป็นตามสมการ (4.4)

เมื่อได้ขนาดกระแส  $I_P$  นำมาคูณกับสัญญาณ  $\cos(\omega t)$  ได้เป็นสัญญาณของกระแสส่วนแอกทีฟ ดังนั้นจากสมการ (4.3) จะได้กระแสชดเชยโดยการนำเอาสัญญาณ  $i_L$  ลบกับ  $i_P \cos(\omega t)$  ซึ่งกระแสชดเชยที่จะจ่ายให้กับระบบเพื่อแก้ไขกระแสฮาร์โมนิกจะประกอบด้วย กระแสรีแอกทีฟ และกระแสฮาร์โมนิกต่างๆ

#### 5.2 ส่วนที่ทำการควบคุม และสร้างกระแสชดเชย

การทำงานในส่วนนี้ จะเป็นการนำสัญญาณกระแสชดเชยที่ต้องทำการจ่ายจริง(กระแสชดเชยอ้างอิงซึ่งได้มาจากส่วนที่ 5.1) มาทำการเปรียบเทียบกับสัญญาณกระแสที่อินเวอร์เตอร์จ่ายอยู่ เพื่อไปคำนวณสร้างสัญญาณสวิตชิ่ง โดยใช้วงจรแบ่งแบ่งหรือวงจรควบคุมแบบฮิสเตอร์รีซิส เพื่อนำไปป้อนเข้าสู่วงจรเพื่อเวลาและวงจรจับเกทเพื่อสร้างสัญญาณสวิตชิ่งไปป้อนอินเวอร์เตอร์ทำการสร้างกระแสชดเชยต่อไป

5.2.1 วงจรแบ่ง แวง



รูปที่ 5.7 แสดงวงจรแบ่ง แวง

- ส่วนวงจรถบ

โดยออปแอมป์ A เปรียบเทียบสัญญาณระหว่างสัญญาณอ้างอิง ( $i_{ref}$ ) กับสัญญาณกระแสที่ชดเชย ( $i_p$ ) จะได้สัญญาณ error แล้วนำสัญญาณไปวงจรฮิสเตอร์รีซิส โดยจะจ่ายไฟเลี้ยงออปแอมป์  $\pm 15$  V

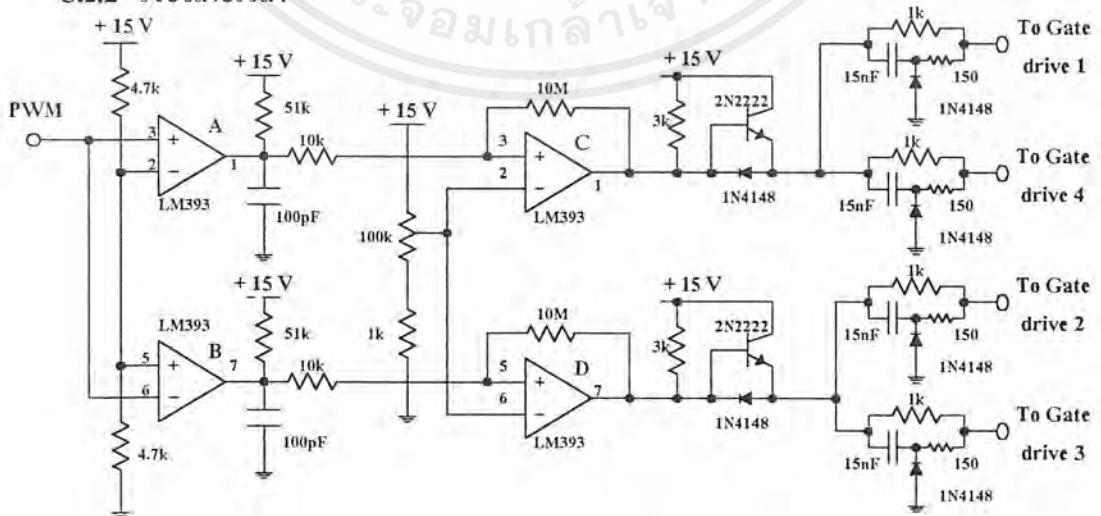
- ส่วนสร้างสัญญาณควบคุมสวิตช์

สัญญาณที่ได้จากการเปรียบเทียบของออปแอมป์ A มาผ่านวงจรฮิสเตอร์รีซิส คอมแพเรเตอร์ ออปแอมป์ B โดยสัญญาณที่เข้ามาถ้ามากกว่าขอบเขตบน จะได้สัญญาณ +15 V แต่ถ้าสัญญาณที่เข้ามาน้อยกว่าขอบเขตล่าง จะได้สัญญาณ -15 V โดยจะจ่ายไฟเลี้ยงออปแอมป์  $\pm 15$  V

- ส่วนบัฟเฟอร์ (Buffer)

ออปแอมป์ C จะนำสัญญาณที่ผ่านจากออปแอมป์ B ผ่านออกไปโดยกันไม่ให้สัญญาณเกิดการผิดเพี้ยนมารบกวนทางออปแอมป์ C โดยจะจ่ายไฟเลี้ยงออปแอมป์  $\pm 15$  V

5.2.2 วงจรเพื่อเวลา



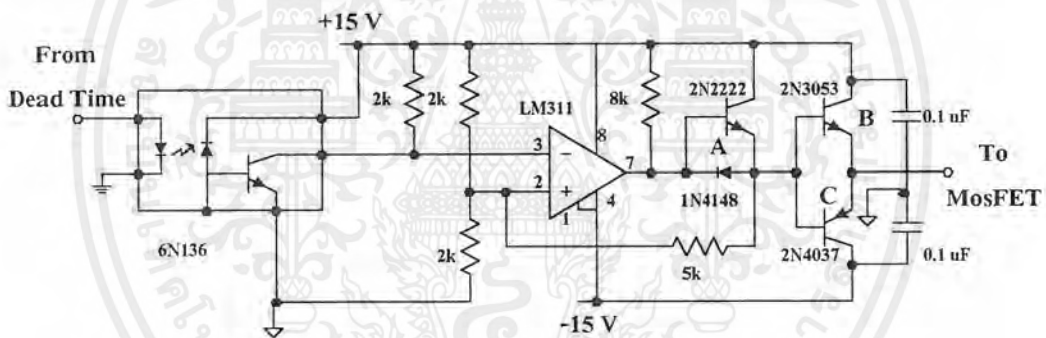
รูปที่ 5.8 แสดงวงจรเพื่อเวลา

เอกสารนี้เป็นเอกสารที่สงวนไว้สำหรับการใช้งานเพื่อการศึกษาเท่านั้น ไมอนุญาตให้นำไปใช้ประโยชน์ด้านการค้า ไม่ว่าจะกรณีใดๆ ทั้งสิ้น อีกทั้งห้ามมิให้ดัดแปลงเนื้อหาและต้องอ้างอิงถึงเจ้าของเอกสารทุกครั้งที่มีการนำไปใช้

สัญญาณควบคุมสวิทช์จะเข้ามาที่ออปแอมป์ A และ B จะมีลักษณะกลับกันเพื่อจะนำไป สวิตช์มอสเฟด 4 ตัว สัญญาณที่ออกมา จะมีลักษณะ โคงเล็กน้อย เมื่อผ่านออกไปจากออปแอมป์ A และ B เนื่องจากตัวต้านทาน และตัวเก็บประจุที่ต่ออยู่ทางเอาต์พุทของออปแอมป์ ลักษณะความ โคงที่ได้ขึ้นอยู่กับขนาดของตัวต้านทาน และตัวเก็บประจุที่เลือกใช้จากค่าคงที่ทางเวลา (Time Constant) ไฟเลี้ยงที่จ่ายออปแอมป์ A และ B  $\pm 15$  V

สัญญาณที่ได้จากออปแอมป์ A และ B จะนำไปเข้าที่ออปแอมป์ C และ D ตามลำดับ เพื่อเปรียบเทียบกับแรงดันที่สามารถปรับค่าได้จากตัวต้านทาน เพื่อปรับช่วงเวลาของเดทไทม์ (Dead Time) และนำสัญญาณไปขับทรานซิสเตอร์เพื่อขยายกระแส และผ่านส่วนสแน็บเบอร์ ก่อนที่จะ ได้สัญญาณ ไปวงจรขับเกท ไฟเลี้ยงที่จ่ายออปแอมป์ C และ D  $\pm 15$  V

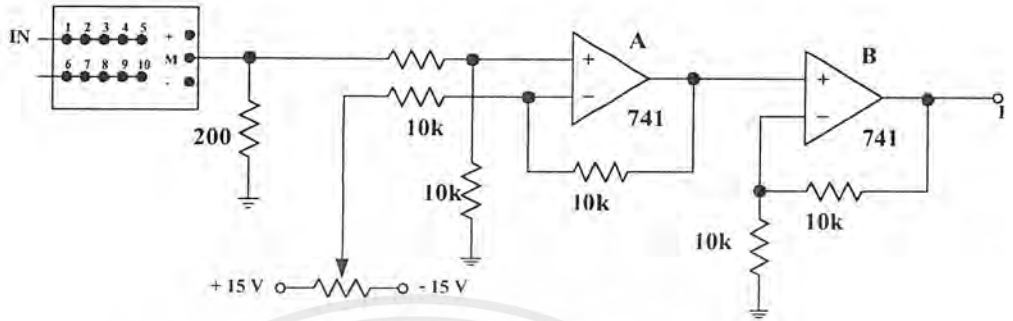
### 5.2.3 วงจรขับเกท



รูปที่ 5.9 แสดงวงจรขับเกท

สัญญาณที่จะนำไปขับวงจรเพาเวอร์ซึ่งเป็นสวิทช์ 4 ตัว จะต้องมีการแยกกราวด์ระหว่าง ชุดควบคุม และชุดกำลังออกจากกัน โดยใช้ออปโตไดโอด ไอโซเลเตอร์ (Opto Isolator) ซึ่งนำสัญญาณที่ ได้จากวงจรเพื่อเวลาเข้ามาเข้า ออปโตไดโอด ไอโซเลเตอร์ 6N136 แล้วสัญญาณที่เข้าที่ออปแอมป์ ผ่านไปที่ ทรานซิสเตอร์ A เพื่อขยายกระแสก่อน จึงนำไปขยายสัญญาณที่ทรานซิสเตอร์ B และ C อีกทีหนึ่ง เพื่อที่จะสามารถนำสัญญาณ ไปขับมอสเฟดได้ ออปแอมป์จ่ายไฟเลี้ยง  $\pm 15$  V

5.2.4 วงจรตรวจจับกระแส

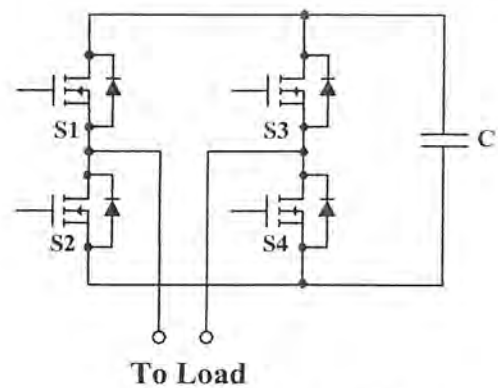


รูปที่ 5.10 แสดงวงจรตรวจจับกระแส

การควบคุมกระแสฮาร์โมนิกส์ เพื่อที่จะฉีดไปแก้ไขให้แกระบบ โดยใช้การควบคุมแบบ  
 แบน แบน จะทำให้สัญญาณของกระแสมีความถี่สูง จึงไม่สามารถใช้ Current Transformer ได้  
 เพราะไม่เหมาะสมที่วัดความถี่สูง อาจทำให้แกนเหล็กอิ่มตัวได้ ดังนั้นในการตรวจจับสัญญาณของ  
 กระแสจะใช้วงจร Hall Effect ซึ่งสามารถวัดสัญญาณกระแสได้ตั้งแต่ 0 – 100 kHz ทำให้ได้  
 สัญญาณของกระแสที่มีความถูกต้อง

ในวงจรนี้ จะต่อให้ Hall Effect มี turn ratio มีค่า 1:1000 ดังนั้น กระแสที่เข้ามา 1 A จะออก  
 จาก Hall Effect 1 mA จากนั้นนำกระแสที่ได้ต่อกับตัวความต้านทาน 200 Ω จะได้สัญญาณขนาด  
 0.2 V สัญญาณที่ได้จะมีค่า offset จึงต้องแก้ไขด้วยวงจรลบ ออปแอมป์ A ให้สัญญาณที่ได้จาก  
 Hall Effect เข้าที่ขาบวก แล้วไฟ ±15 V ขาลบ จากนั้นนำไปเข้าวงจรขยายสัญญาณ ออปแอมป์ B ที่  
 มีค่า Gain = 5 เพื่อให้ได้สัญญาณขนาด 1 V ต่อ กระแส 1 A

5.2.5 วงจรกำลัง



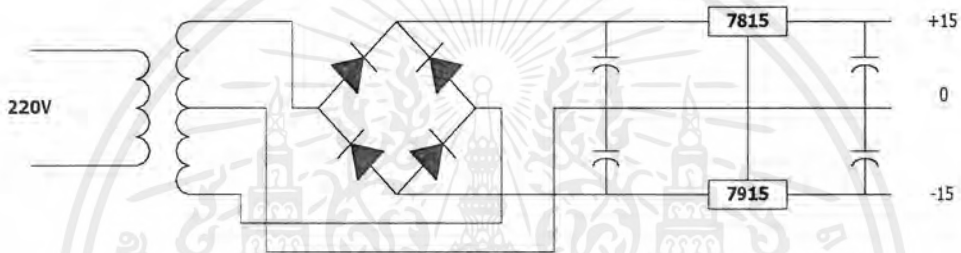
รูปที่ 5.11 แสดงวงจรกำลัง

เอกสารนี้เป็นเอกสารที่สงวนไว้สำหรับการใช้งานเพื่อการศึกษาเท่านั้น ไมอนุญาตให้นำไปใช้ประโยชน์ด้านการค้า  
 ไม่ว่ากรณีใดๆ ทั้งสิ้น อีกทั้งห้ามมิให้ตัดแปลงเนื้อหาและต้องอ้างอิงถึงเจ้าของเอกสารทุกครั้งที่มีการนำไปใช้

สัญญาณที่ได้จากวงจรขับเคลื่อน จะนำมาป้อนเข้าวงจรกำลังที่ขาเกทของอุปกรณ์สวิตช์ เพื่อเปิด ปิดการทำงาน ให้จ่ายกระแสตามวงจรควบคุม

### 5.2.6 วงจรไฟเลี้ยง

วงจรไฟเลี้ยง ใช้สำหรับจ่ายไฟเลี้ยงให้กับวงจรควบคุมซึ่งใช้ไฟ  $\pm 15$  V ดังรูปที่ 4.8 โดย ออกแบบให้มี 10 เอ้าท์พุท ไฟ +15 V 5 เอ้าท์พุท และ -15 V 5 เอ้าท์พุท



รูปที่ 5.12 แสดงวงจรไฟเลี้ยง

เอกสารนี้เป็นเอกสารที่สงวนไว้สำหรับการใช้งานเพื่อการศึกษาเท่านั้น ไม่อนุญาตให้นำไปใช้ประโยชน์ด้านการค้า ไม่ว่าจะกรณีใดๆ ทั้งสิ้น อีกทั้งห้ามมิให้ตัดแปลงเนื้อหาและต้องอ้างอิงถึงเจ้าของเอกสารทุกครั้งที่มีการนำไปใช้

## บทที่ 6

### ผลการทดลอง

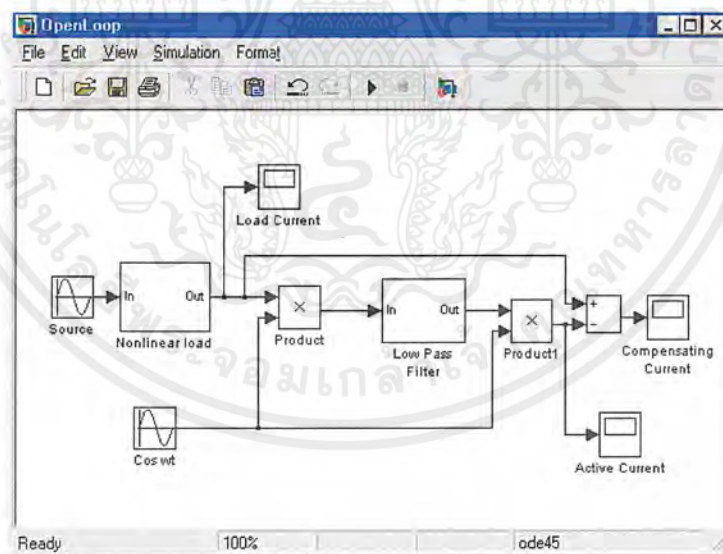
การทดลองในปริิณญานิพนธ์ฉบับนี้ แบ่งเป็น 2 ส่วนคือ

1. การจำลองการทำงาน โดย Simulink
2. การทดลองในวงจรต้นแบบ

#### 6.1 การจำลองวงจรชดเชยกระแสฮาร์โมนิกส์

เพื่อแสดงผลของทฤษฎีการชดเชยกระแสฮาร์โมนิกส์ที่กล่าวมา โดยการจำลองโปรแกรมคอมพิวเตอร์ ซึ่งการการทดลอง จะทดลองการทำงานแบบลูปเปิดเพื่อศึกษาการทำงาน และใช้ในการออกแบบวงจรต่อไป

ศึกษาผลของรูปสัญญาณต่างๆของไดอะแกรมแบบลูปเปิด

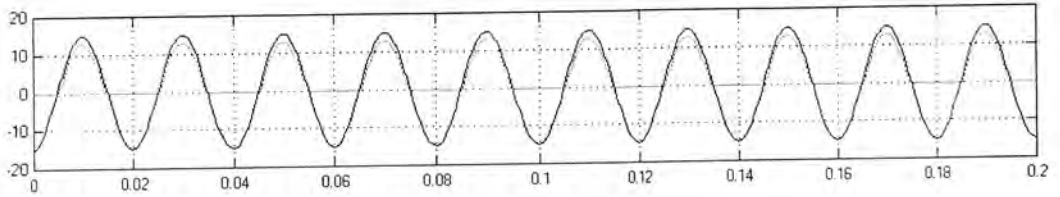


รูปที่ 6.1 แสดงบล็อกไดอะแกรมที่วิเคราะห์แบบลูปเปิด

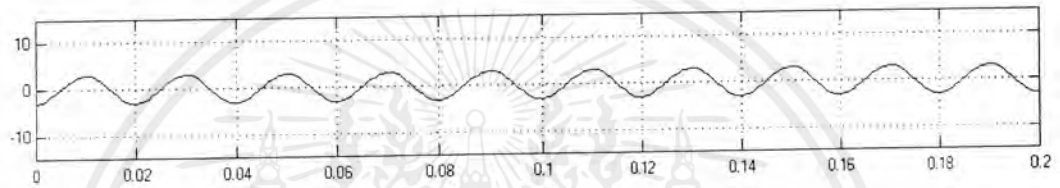
เอกสารนี้เป็นเอกสารที่สงวนไว้สำหรับการใช้งานเพื่อการศึกษาเท่านั้น ไม่อนุญาตให้นำไปใช้ประโยชน์ด้านการค้าไม่ว่ากรณีใดๆ ทั้งสิ้น อีกทั้งห้ามมิให้ตัดแปลงเนื้อหาและต้องอ้างอิงถึงเจ้าของเอกสารทุกครั้งที่มีการนำไปใช้

การศึกษาระบบจำลองกระแสไหลตไม่เชิงเส้น 2 ลักษณะคือ

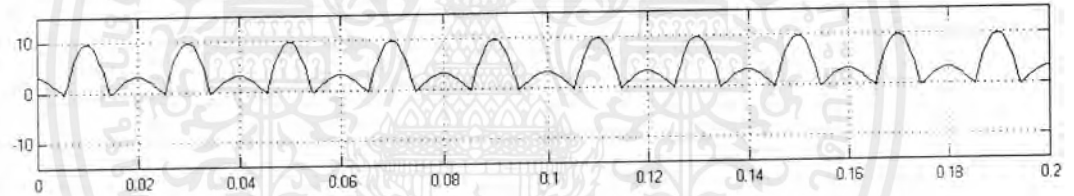
### 1. ไหลตเป็นไดโอด



รูปที่ 6.2 แสดงกระแสไหลต  $i(t)$  กับ  $v_s(t)$

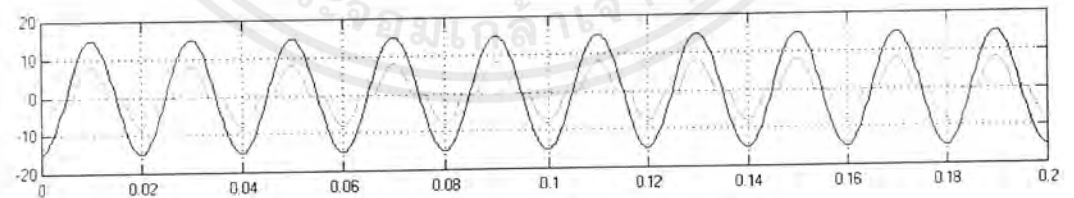


รูปที่ 6.3 แสดงกระแสแอกทีฟ  $i_p(t)$

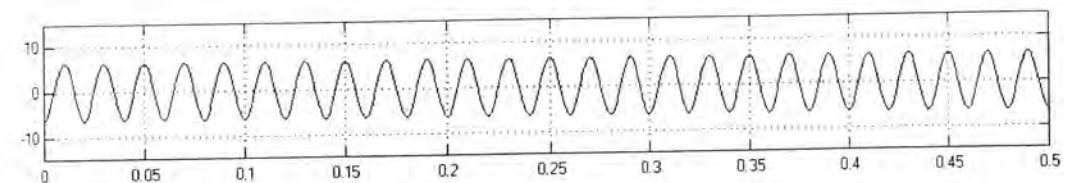


รูปที่ 6.4 แสดงกระแสฮาร์โมนิกส์  $i_r(t)$

### 2. ไหลตเป็นบริดจ์เรกติไฟร์

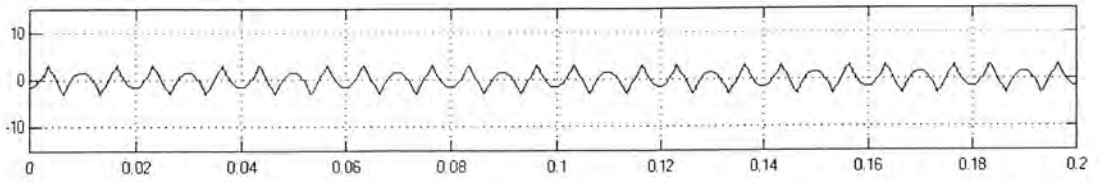


รูปที่ 6.5 แสดงกระแสไหลต  $i(t)$  กับ  $v_s(t)$



รูปที่ 6.6 แสดงกระแสแอกทีฟ  $i_p(t)$

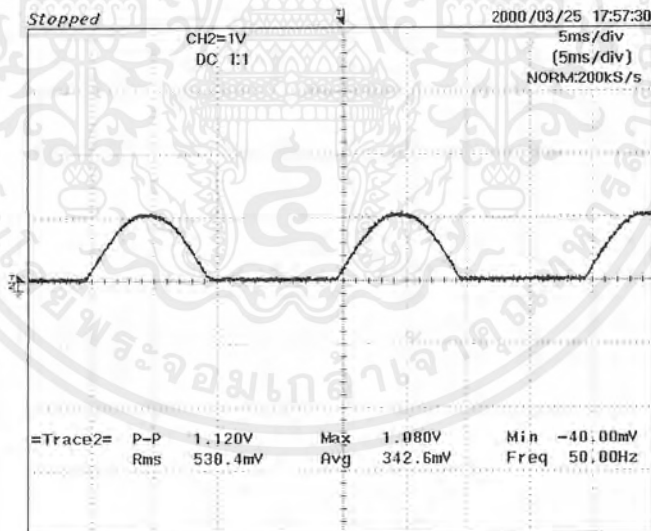
เอกสารนี้เป็นเอกสารที่สงวนไว้สำหรับการใช้งานเพื่อการศึกษาเท่านั้น ไม่อนุญาตให้นำไปใช้ประโยชน์ด้านการค้าไม่ว่ากรณีใดๆ ทั้งสิ้น อีกทั้งห้ามมิให้ดัดแปลงเนื้อหาและต้องอ้างอิงถึงเจ้าของเอกสารทุกครั้งที่มีการนำไปใช้

รูปที่ 6.7 แสดงกระแสฮาร์โมนิกส์  $i_p(t)$ 

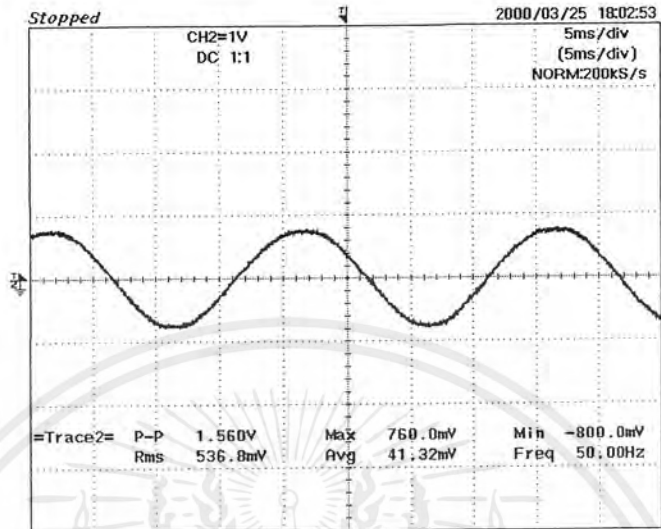
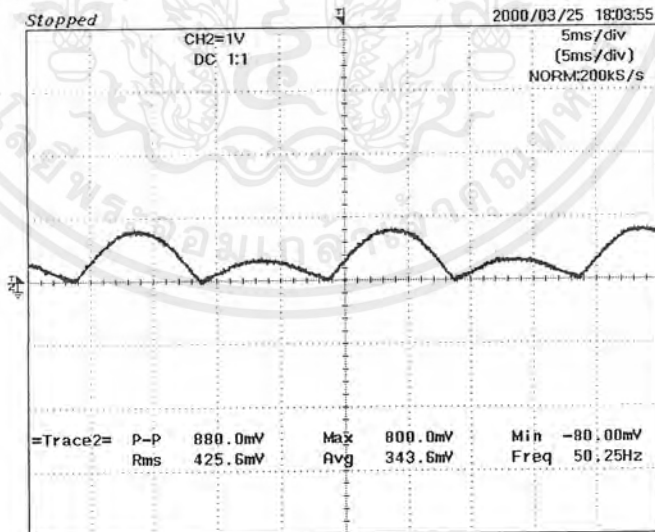
ผลจากการทดลองการจำลองโดยโปรแกรม ปรากฏว่าวงจรชดเชยกระแสฮาร์โมนิกส์สามารถทำให้สัญญาณกระแสโหลด มีรูปคลื่นที่ดีขึ้น แต่เมื่อสัญญาณอ้างอิงมีการเปลี่ยนแปลง จะทำให้ขนาดของกระแสเอกที่เปลี่ยนแปลง ซึ่งการประมาณค่า  $i_p(t)$  มีความแม่นยำน้อยลง จะส่งผลกระทบต่อการทำงานของกระแสฮาร์โมนิกส์

## 6.2 การชดเชยในวงจรต้นแบบ

### 1. เมื่อโหลดเป็นไดโอด

รูปที่ 6.8 แสดงกระแสโหลด  $i(t)$ 

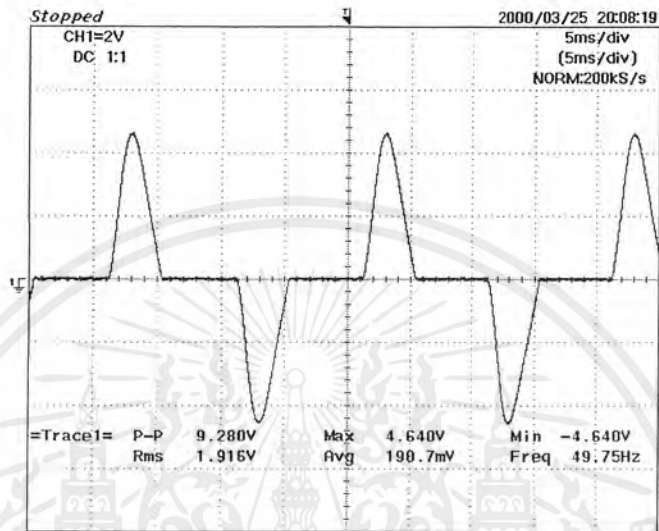
เอกสารนี้เป็นเอกสารที่สงวนไว้สำหรับการใช้งานเพื่อการศึกษาเท่านั้น ไม่อนุญาตให้นำไปใช้ประโยชน์ด้านการค้า ไม่ว่าจะกรณีใดๆ ทั้งสิ้น อีกทั้งห้ามมิให้ตัดแปลงเนื้อหาและต้องอ้างอิงถึงเจ้าของเอกสารทุกครั้งที่มีการนำไปใช้

รูปที่ 6.9 สัญญาณ  $I_p$  คูณกับ  $\cos(\omega t)$ 

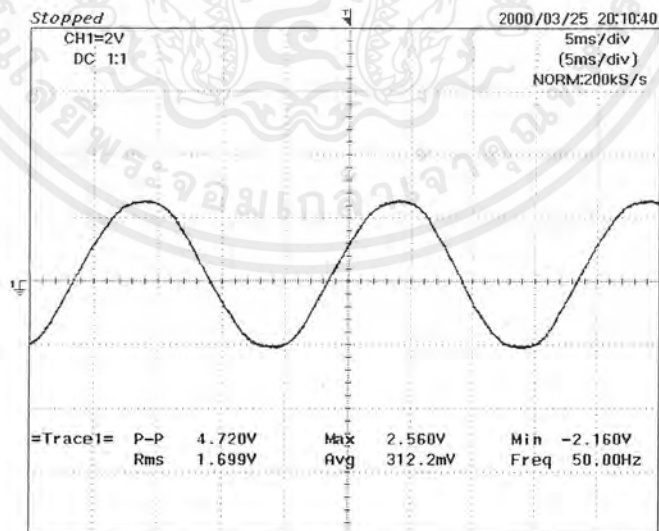
รูปที่ 6.10 กระแสชดเชยโหลดโคโอด

เอกสารนี้เป็นเอกสารที่สงวนไว้สำหรับการใช้งานเพื่อการศึกษาเท่านั้น ไม่อนุญาตให้นำไปใช้ประโยชน์ด้านการค้า  
ไม่ว่ากรณีใดๆ ทั้งสิ้น อีกทั้งห้ามมิให้ดัดแปลงเนื้อหาและต้องอ้างอิงถึงเจ้าของเอกสารทุกครั้งที่มีการนำไปใช้

## 2. เมื่อเป็นโหลดบริดจ์เรกติไฟร์

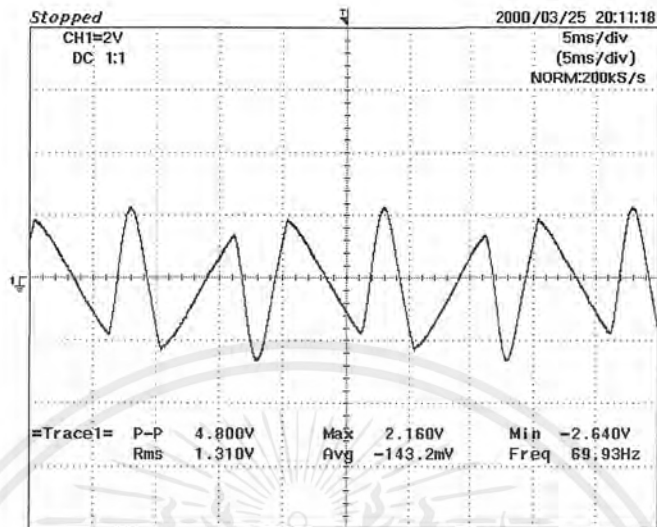


รูป 6.11 แสดงกระแสของโหลดบริดจ์เรกติไฟร์



รูปที่ 6.12 สัญญาณ  $I_p \cos(\omega t)$

เอกสารนี้เป็นเอกสารที่สงวนไว้สำหรับการใช้งานเพื่อการศึกษาเท่านั้น ไม่อนุญาตให้นำไปใช้ประโยชน์ด้านการค้า ไม่ว่ากรณีใดๆ ทั้งสิ้น อีกทั้งห้ามมิให้ดัดแปลงเนื้อหาและต้องอ้างอิงถึงเจ้าของเอกสารทุกครั้งที่มีการนำไปใช้



รูปที่ 6.13 แสดงสัญญาณกระแสชดเชยสำหรับโหลดบริดจ์เรกติไฟร์

### 6.3 การทดลองในวงจรต้นแบบ

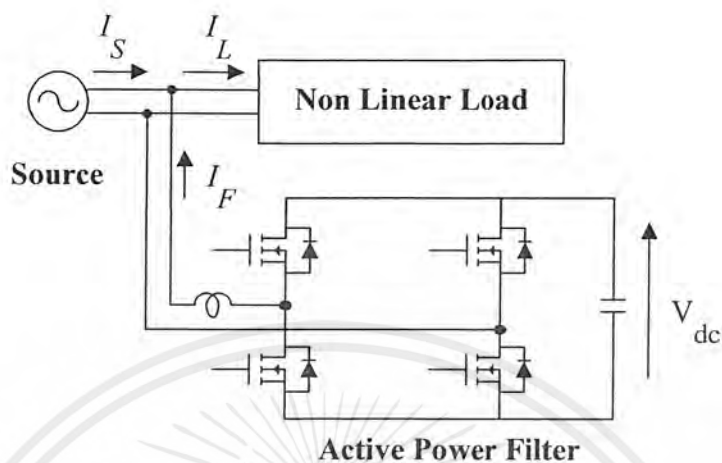
การทดลองในส่วนนี้ เป็นการแก้กระแสฮาร์โมนิกส์ ที่เกิดจากโหลด 2 ประเภท คือ โหลดไดโอดเรกติไฟร์ และไดโอดบริดจ์เรกติไฟร์

การวิเคราะห์ %THD จะคิดที่ ความถี่มูลฐาน ถึงฮาร์โมนิกส์อันดับที่ 50

อุปกรณ์ที่ใช้ในการทดลอง

- ไดโอด
- บริดจ์เรกติไฟร์ 4 A, 600 V.
- หลอดไฟ 100 วัตต์ 6 หลอด
- บัลลาสต์ PHILIPS 40 W  $\cos \varphi$  0.5
- ตัวเก็บประจุ 1 ไมโครฟารัด 400 V
- oscilloscope YOKOGAWA DL1520
- probe YOKOGAWA 700998
- variac 15 A.

เอกสารนี้เป็นเอกสารที่สงวนไว้สำหรับการใช้งานเพื่อการศึกษาเท่านั้น ไม่อนุญาตให้นำไปใช้ประโยชน์ด้านการค้าไม่ว่ากรณีใดๆ ทั้งสิ้น อีกทั้งห้ามมิให้ดัดแปลงเนื้อหาและต้องอ้างอิงถึงเจ้าของเอกสารทุกครั้งที่มีการนำไปใช้



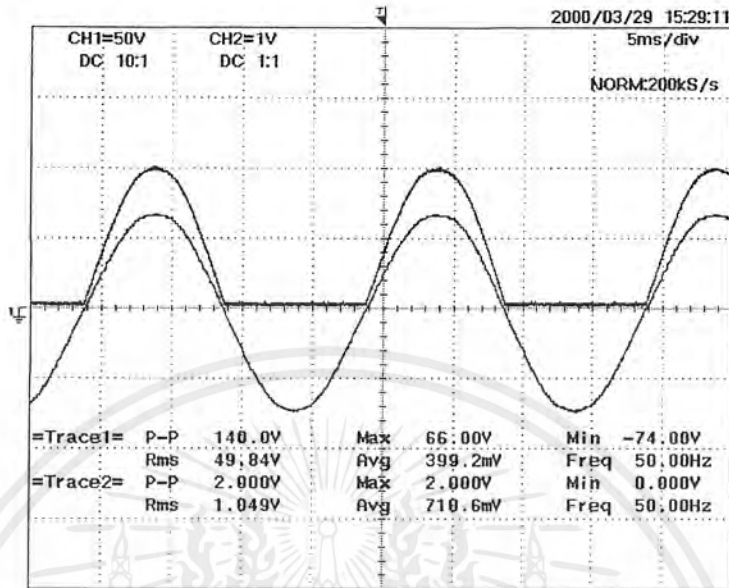
รูปที่ 6.14 แสดงวงจรที่ทำการทดลอง

### 6.3.1 เมื่อโหลดเป็นไดโอดเรกติไฟร์ ต่อกับโหลด R

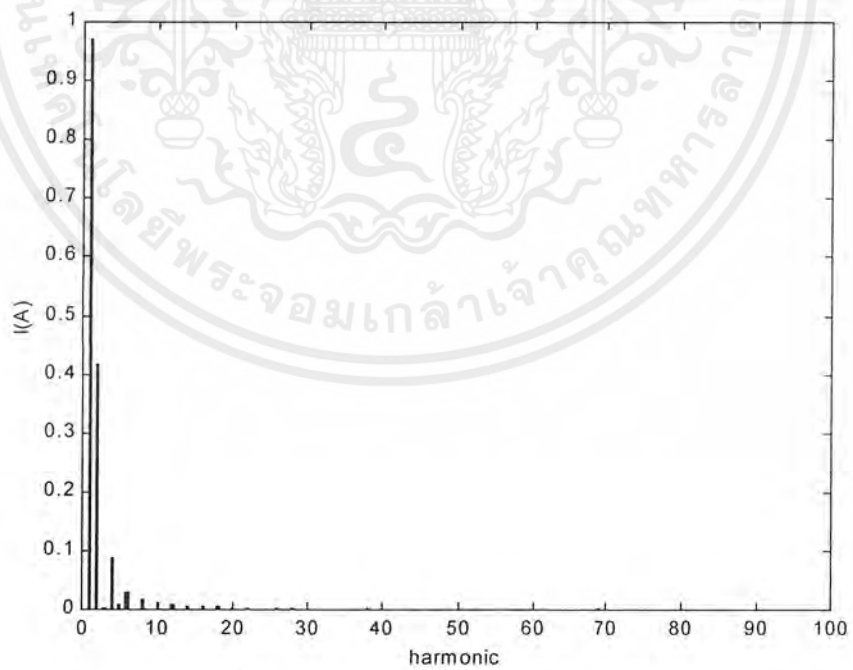


รูปที่ 6.14 แสดงโหลดไดโอด

เอกสารนี้เป็นเอกสารที่สงวนไว้สำหรับการใช้งานเพื่อการศึกษาเท่านั้น ไม่อนุญาตให้นำไปใช้ประโยชน์ด้านการค้า ไม่ว่าจะกรณีใดๆ ทั้งสิ้น อีกทั้งห้ามมิให้ตัดแปลงเนื้อหาและต้องอ้างอิงถึงเจ้าของเอกสารทุกครั้งที่มีการนำไปใช้

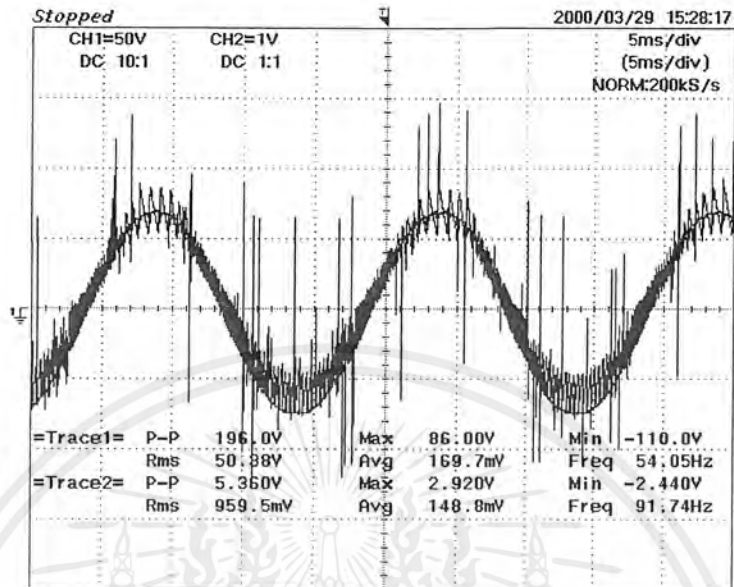


รูปที่ 6.15 แสดง กระแส  $I_s$  และ  $V$  ก่อนการฉีดกระแสฮาร์โมนิกส์

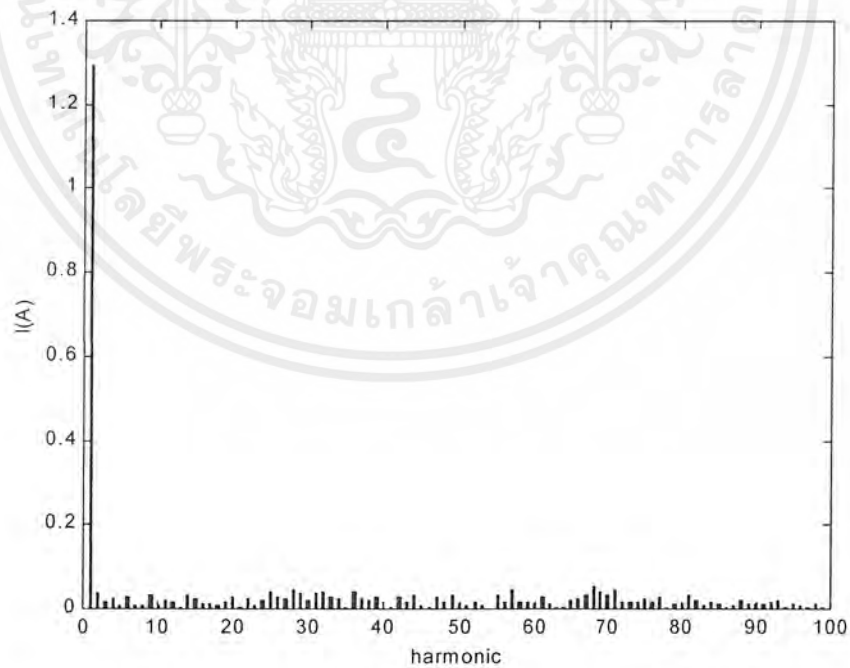


รูปที่ 6.16 แสดงสเปกตรัมของ  $I_s$  ก่อนแก้ไข

เอกสารนี้เป็นเอกสารที่สงวนไว้สำหรับการใช้งานเพื่อการศึกษาเท่านั้น ไม่อนุญาตให้นำไปใช้ประโยชน์ด้านการค้า ไม่ว่าจะกรณีใดๆ ทั้งสิ้น อีกทั้งห้ามมิให้ดัดแปลงเนื้อหาและต้องอ้างอิงถึงเจ้าของเอกสารทุกครั้งที่มีการนำไปใช้



รูปที่ 6.17 แสดง กระแส  $I_s$  และ  $V$  หลังฉีดกระแสฮาร์โมนิกส์



รูปที่ 6.18 แสดงสเปกตรัมของ  $I_s$  หลังฉีดกระแสฮาร์โมนิกส์

เอกสารนี้เป็นเอกสารที่สงวนไว้สำหรับการใช้งานเพื่อการศึกษาเท่านั้น ไม่อนุญาตให้นำไปใช้ประโยชน์ด้านการค้า ไม่ว่าจะกรณีใดๆ ทั้งสิ้น อีกทั้งห้ามมิให้ตัดแปลงเนื้อหาและต้องอ้างอิงถึงเจ้าของเอกสารทุกครั้งที่มีการนำไปใช้

ตารางที่ 6.1 แสดงค่า THD และเพาเวอร์แฟกเตอร์ เปรียบเทียบก่อนแก้ไข และหลังแก้ไขเมื่อเป็น โหลดไดโอด

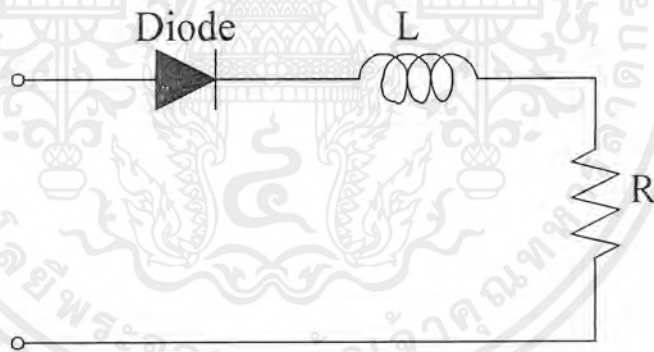
ก่อนปรับปรุง

$V_{LP}$ (v)	%THD	FF	DPF	PF	$I_s$ (A)	$I_{s1}$ (A)
50	43.91	0.6786	0.9999	0.6786	1.049	0.6863

หลังแก้ไข

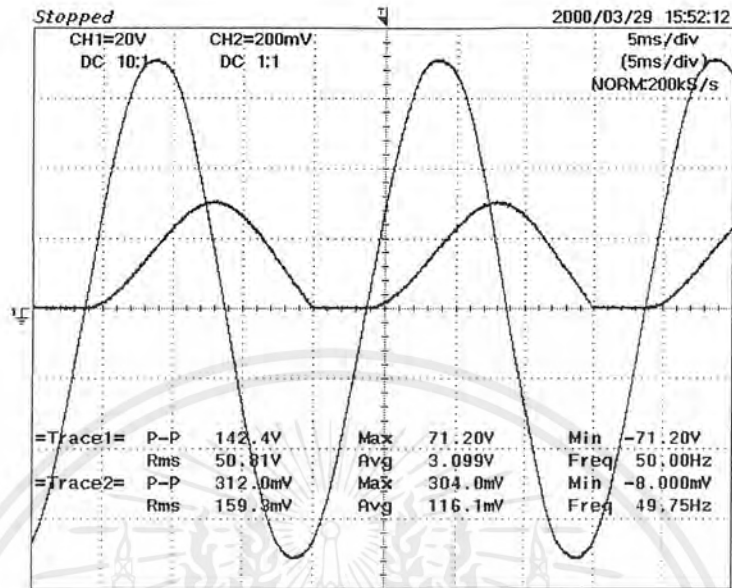
$V_{LP}$ (v)	%THD	FF	DPF	PF	$I_s$ (A)	$I_{s1}$ (A)
50	13.06	0.9346	0.9999	0.9346	0.959	0.9142

6.3.2 เมื่อโหลดเป็นไดโอดเรกติไฟร์ ต่อกับโหลด R, L

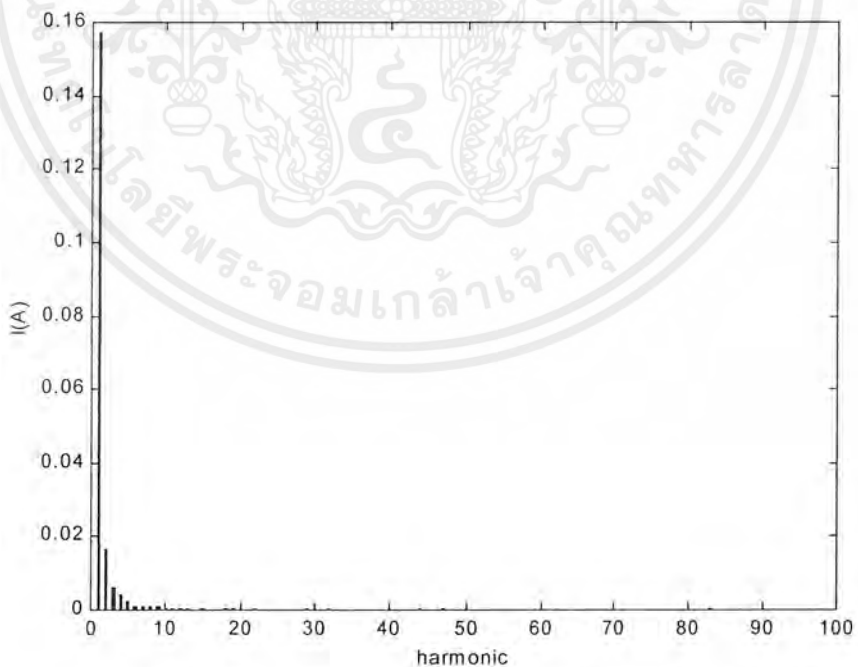


รูปที่ 6.19 แสดงโหลดไดโอด R, L

เอกสารนี้เป็นเอกสารที่สงวนไว้สำหรับการใช้งานเพื่อการศึกษาเท่านั้น ไม่อนุญาตให้นำไปใช้ประโยชน์ด้านการค้า ไม่ว่ากรณีใดๆ ทั้งสิ้น อีกทั้งห้ามมิให้ตัดแปลงเนื้อหาและต้องอ้างอิงถึงเจ้าของเอกสารทุกครั้งที่มีการนำไปใช้

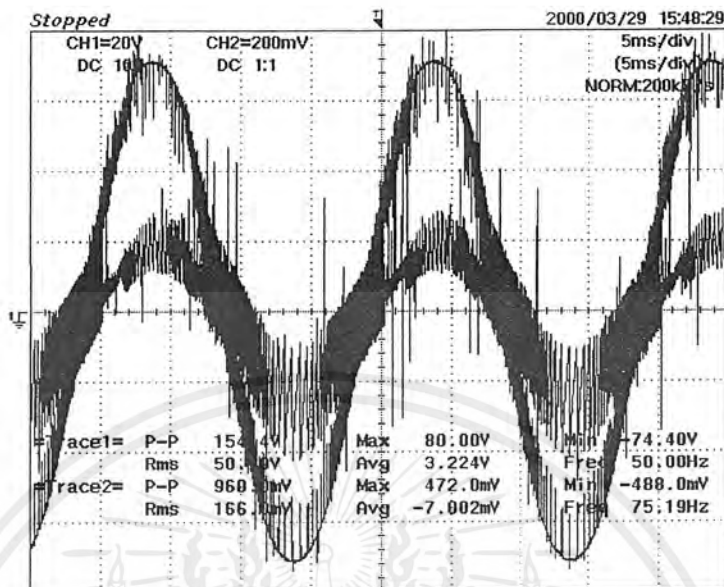


รูปที่ 6.20 แสดง กระแส  $I_s$  และ  $V$  ก่อนการฉีดกระแสฮาร์โมนิกส์

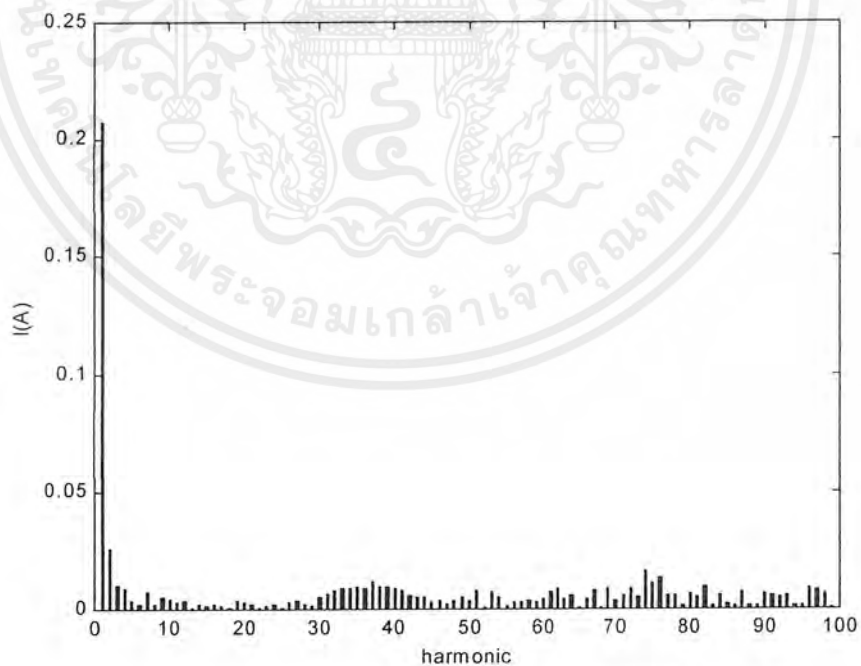


รูปที่ 6.21 แสดงสเปกตรัมของ  $I_s$  ก่อนฉีดกระแสฮาร์โมนิกส์

เอกสารนี้เป็นเอกสารที่สงวนไว้สำหรับการใช้งานเพื่อการศึกษาเท่านั้น ไม่อนุญาตให้นำไปใช้ประโยชน์ด้านการค้า ไม่ว่าจะกรณีใดๆ ทั้งสิ้น อีกทั้งห้ามมิให้ตัดแปลงเนื้อหาและต้องอ้างอิงถึงเจ้าของเอกสารทุกครั้งที่มีการนำไปใช้



รูปที่ 6.22 แสดง กระแส  $I_s$  และ  $V$  หลังฉีดกระแสฮาร์โมนิกส์



รูปที่ 6.23 แสดงสเปกตรัมของ  $I_s$  หลังฉีดกระแสฮาร์โมนิกส์

เอกสารนี้เป็นเอกสารที่สงวนไว้สำหรับการใช้งานเพื่อการศึกษาเท่านั้น ไม่อนุญาตให้นำไปใช้ประโยชน์ด้านการค้า ไม่ว่ากรณีใดๆ ทั้งสิ้น อีกทั้งห้ามมิให้ตัดแปลงเนื้อหาและต้องอ้างอิงถึงเจ้าของเอกสารทุกครั้งที่มีการนำไปใช้

ตารางที่ 6.2 แสดงค่า THD และเพาเวอร์แฟคเตอร์ เปรียบเทียบก่อนแก้ไข และหลังแก้ไขเมื่อเป็น โหลดไดโอด R, L

ก่อนปรับปรุง

$V_{LP}$ (v)	%THD	FF	DPF	PF	$I_s$ (A)	$I_{S1}$ (A)
50	11.67	0.6373	0.3075	0.1939	0.159	0.1112

หลังแก้ไข

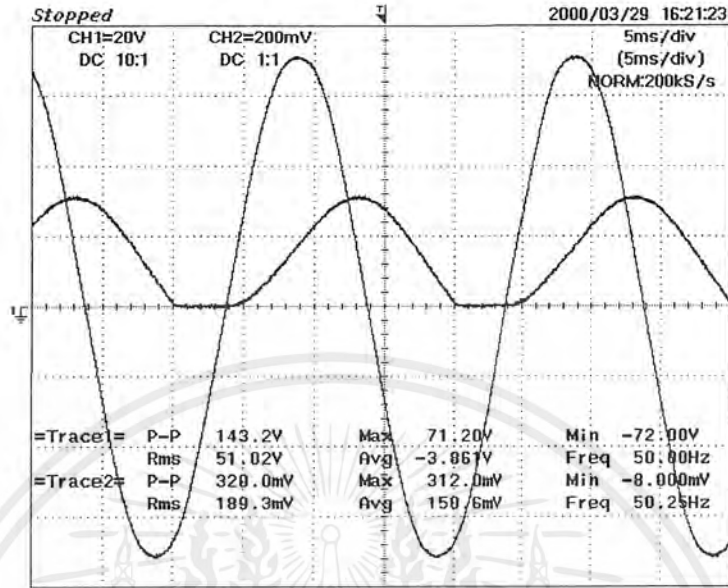
$V_{LP}$ (v)	%THD	FF	DPF	PF	$I_s$ (A)	$I_{S1}$ (A)
50	22.43	0.8432	0.9928	0.8371	0.166	0.1467

### 6.3.3 เมื่อโหลดเป็นไดโอดเรกติไฟร์ ต่อกับโหลด L

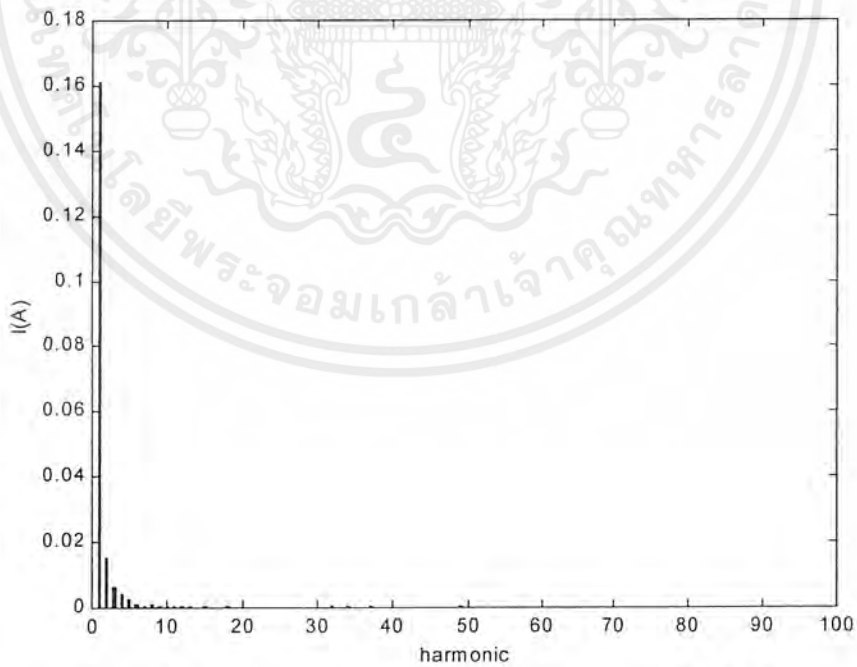


รูปที่ 6.24 แสดงโหลดไดโอด L

เอกสารนี้เป็นเอกสารที่สงวนไว้สำหรับการใช้งานเพื่อการศึกษาเท่านั้น ไม่อนุญาตให้นำไปใช้ประโยชน์ด้านการค้า ไม่ว่ากรณีใดๆ ทั้งสิ้น อีกทั้งห้ามมิให้ตัดแปลงเนื้อหาและต้องอ้างอิงถึงเจ้าของเอกสารทุกครั้งที่มีการนำไปใช้

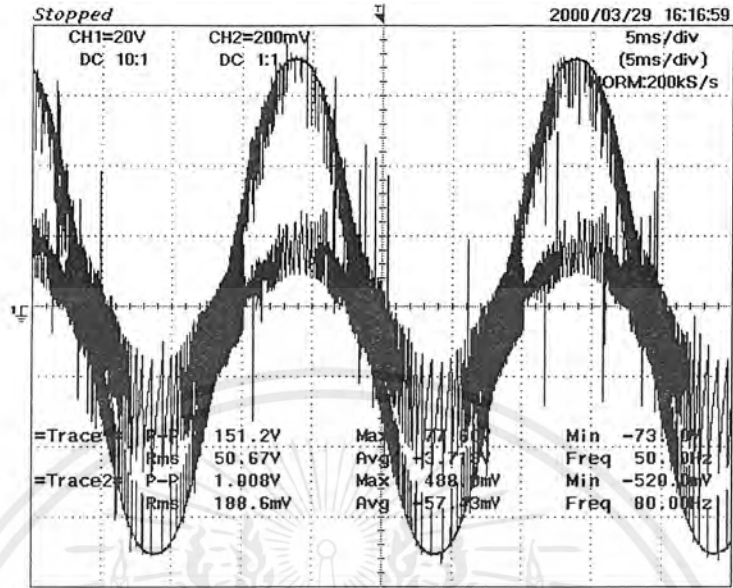


รูปที่ 6.25 แสดงกระแส  $I_s$  และ  $V$  ก่อนการฉีดกระแสฮาร์โมนิกส์

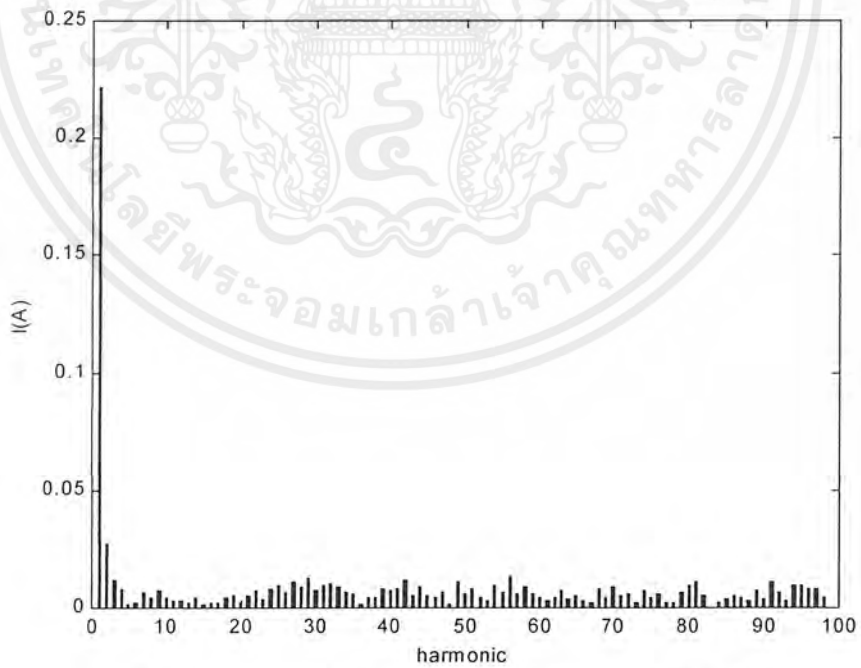


รูปที่ 6.26 แสดงสเปกตรัมของ  $I_s$  ก่อนฉีดกระแสฮาร์โมนิกส์

เอกสารนี้เป็นเอกสารที่สงวนไว้สำหรับการใช้งานเพื่อการศึกษาเท่านั้น ไม่อนุญาตให้นำไปใช้ประโยชน์ด้านการค้า ไม่ว่าจะกรณีใดๆ ทั้งสิ้น อีกทั้งห้ามมิให้ดัดแปลงเนื้อหาและต้องอ้างอิงถึงเจ้าของเอกสารทุกครั้งที่มีการนำไปใช้



รูปที่ 6.27 แสดงกระแส  $I_s$  และ  $V$  หลังฉีดกระแสฮาร์โมนิกส์



รูปที่ 6.28 แสดงสเปกตรัมของ  $I_s$  หลังฉีดกระแสฮาร์โมนิกส์

เอกสารนี้เป็นเอกสารที่สงวนไว้สำหรับการใช้งานเพื่อการศึกษาเท่านั้น ไม่อนุญาตให้นำไปใช้ประโยชน์ด้านการค้า ไม่ว่าจะกรณีใดๆ ทั้งสิ้น อีกทั้งห้ามมิให้ดัดแปลงเนื้อหาและต้องอ้างอิงถึงเจ้าของเอกสารทุกครั้งที่มีการนำไปใช้

ตารางที่ 6.3 แสดงค่า THD และเพาเวอร์แฟคเตอร์ เปรียบเทียบก่อนแก้ไข และหลังแก้ไขเมื่อเป็น โหลดไดโอด L

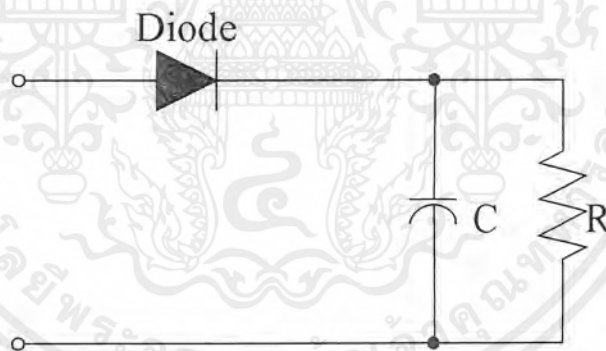
ก่อนปรับปรุง

$V_{IP}$ (v)	%THD	FF	DPF	PF	$I_s$ (A)	$I_{s1}$ (A)
50	10.90	0.6371	0.2804	0.1786	0.189	0.1140

หลังแก้ไข

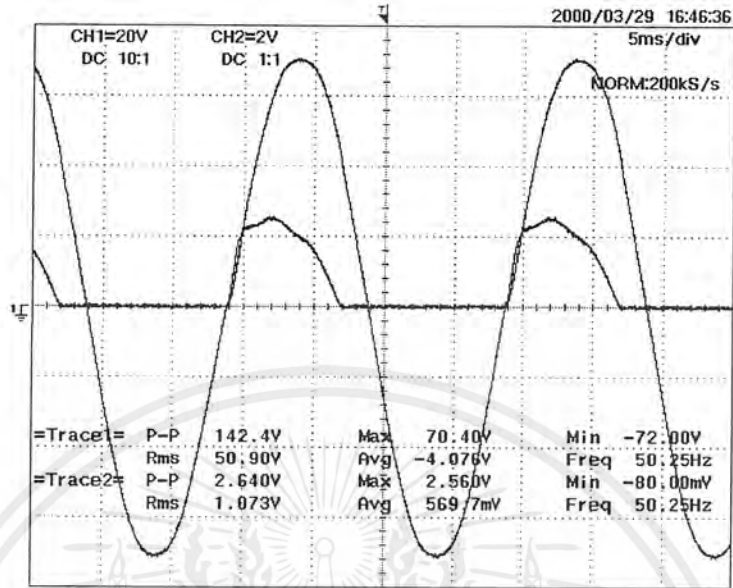
$V_{IP}$ (v)	%THD	FF	DPF	PF	$I_s$ (A)	$I_{s1}$ (A)
50	24.35	0.8304	0.9966	0.8275	0.188	0.1565

#### 6.3.4 เมื่อโหลดเป็นไดโอดเรกติไฟร์ ต่อกับโหลด R, C

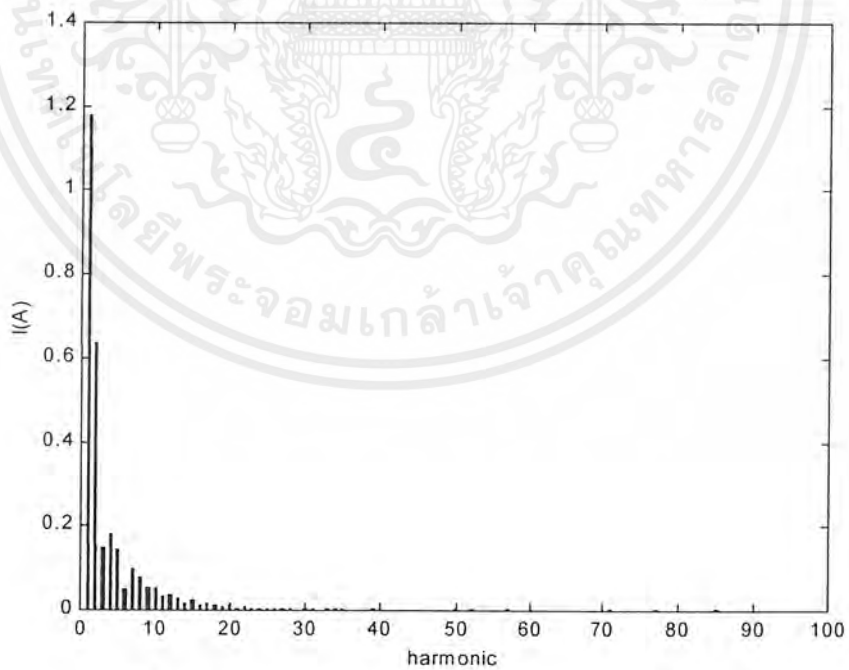


รูปที่ 6.29 แสดงโหลดไดโอด R, C

เอกสารนี้เป็นเอกสารที่สงวนไว้สำหรับการใช้งานเพื่อการศึกษาเท่านั้น ไม่อนุญาตให้นำไปใช้ประโยชน์ด้านการค้า ไม่ว่ากรณีใดๆ ทั้งสิ้น อีกทั้งห้ามมิให้ตัดแปลงเนื้อหาและต้องอ้างอิงถึงเจ้าของเอกสารทุกครั้งที่มีการนำไปใช้

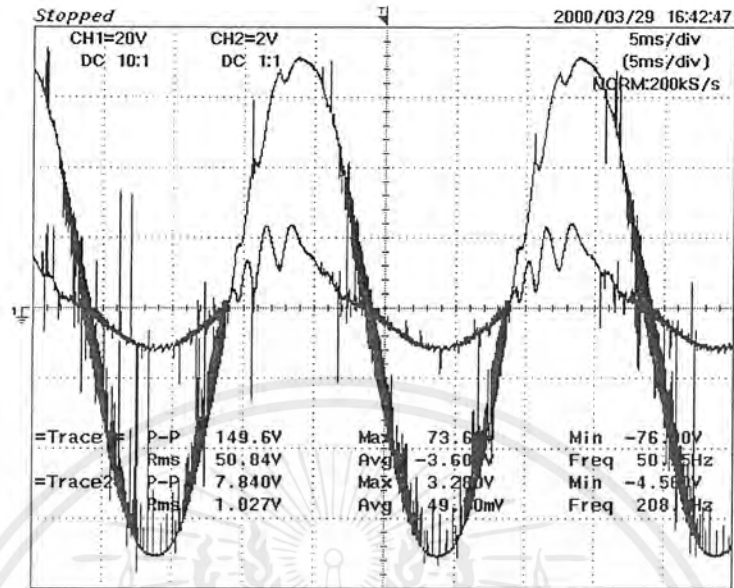


รูปที่ 6.30 แสดงกระแส  $I_s$  และ  $V$  ก่อนการฉีดกระแสฮาร์โมนิกส์

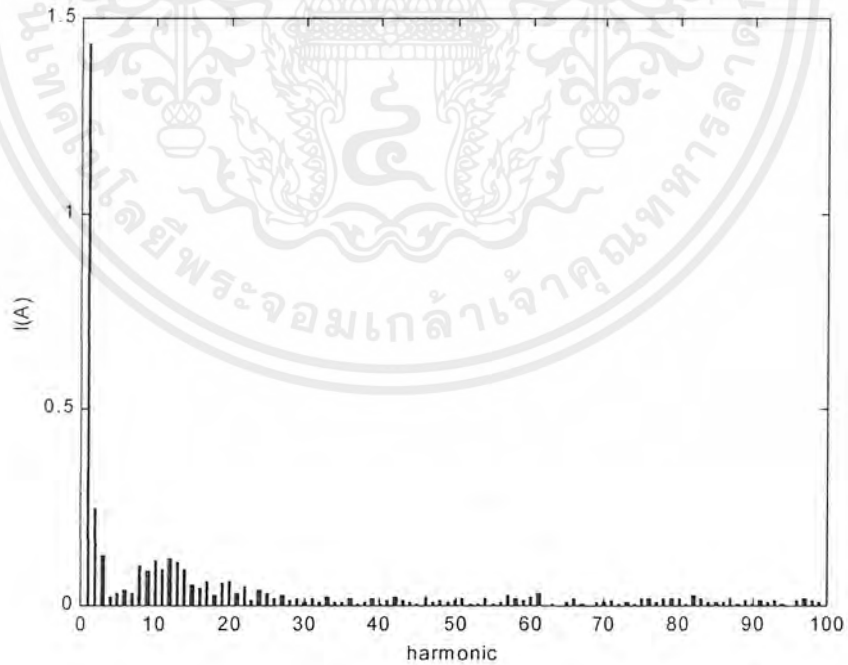


รูปที่ 6.31 แสดงสเปกตรัมของ  $I_s$  ก่อนฉีดกระแสฮาร์โมนิกส์

เอกสารนี้เป็นเอกสารที่สงวนไว้สำหรับการใช้งานเพื่อการศึกษาเท่านั้น ไม่อนุญาตให้นำไปใช้ประโยชน์ด้านการค้า ไม่ว่าจะกรณีใดๆ ทั้งสิ้น อีกทั้งห้ามมิให้ตัดแปลงเนื้อหาและต้องอ้างอิงถึงเจ้าของเอกสารทุกครั้งที่มีการนำไปใช้



รูปที่ 6.32 แสดงกระแส  $I_s$  และ  $V$  หลังฉีดกระแสฮาร์โมนิกส์



รูปที่ 6.33 แสดงสเปกตรัมของ  $I_s$  หลังฉีดกระแสฮาร์โมนิกส์

เอกสารนี้เป็นเอกสารที่สงวนไว้สำหรับการใช้งานเพื่อการศึกษาเท่านั้น ไม่อนุญาตให้นำไปใช้ประโยชน์ด้านการค้า ไม่ว่าจะกรณีใดๆ ทั้งสิ้น อีกทั้งห้ามมิให้ตัดแปลงเนื้อหาและต้องอ้างอิงถึงเจ้าของเอกสารทุกครั้งที่มีการนำไปใช้

ตารางที่ 6.4 แสดงค่า THD และพาวเวอร์แฟคเตอร์ เปรียบเทียบก่อนแก้ไข และหลังแก้ไขเมื่อเป็น โหลดไดโอด R, C

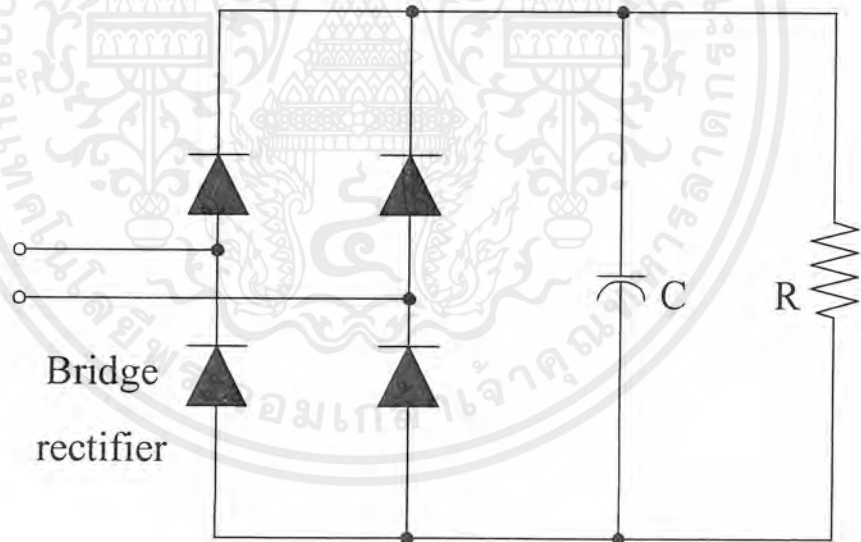
ก่อนปรับปรุง

$V_{LP}$ (v)	%THD	FF	DPF	PF	$I_S$ (A)	$I_{S1}$ (A)
50	60.73	0.6918	0.9034	0.6249	1.2032	0.8323

หลังแก้ไข

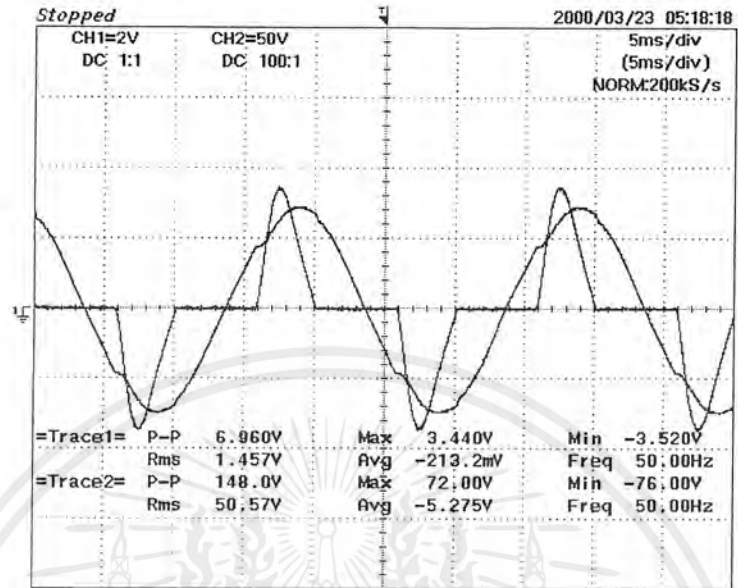
$V_{LP}$ (v)	%THD	FF	DPF	PF	$I_S$ (A)	$I_{S1}$ (A)
50	29.91	0.8801	0.9925	0.8734	1.1538	1.0154

### 6.3.5 เมื่อโหลดเป็นบริดจ์เรกติไฟร์

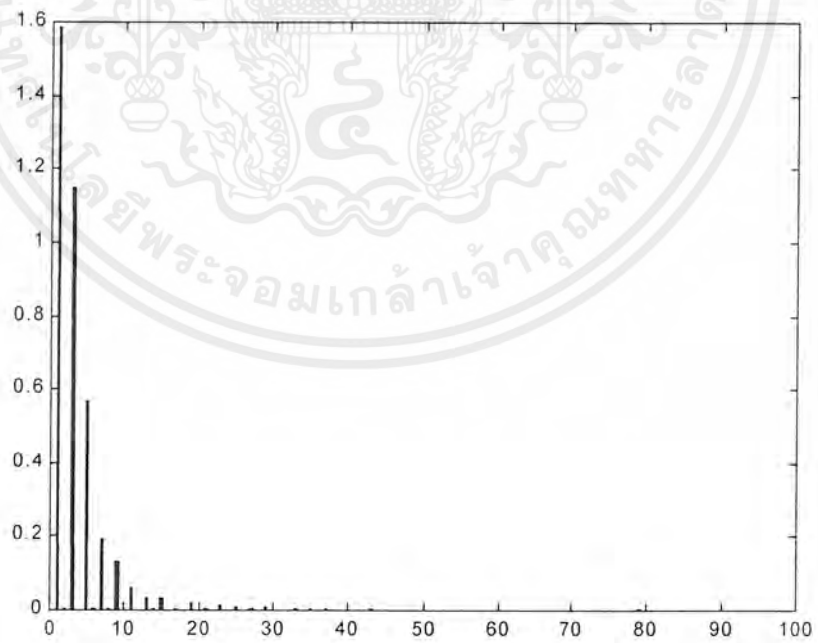


รูปที่ 6.34 แสดง โหลดบริดจ์เรกติไฟร์

เอกสารนี้เป็นเอกสารที่สงวนไว้สำหรับการใช้งานเพื่อการศึกษาเท่านั้น ไม่อนุญาตให้นำไปใช้ประโยชน์ด้านการค้า ไม่ว่ากรณีใดๆ ทั้งสิ้น อีกทั้งห้ามมิให้ตัดแปลงเนื้อหาและต้องอ้างอิงถึงเจ้าของเอกสารทุกครั้งที่มีการนำไปใช้

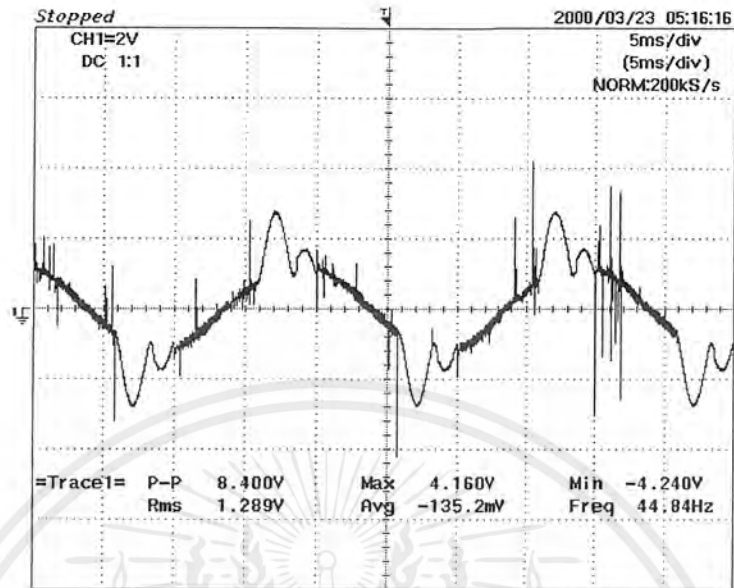


รูปที่ 6.35 แสดงกระแส  $I_s$  และ  $V$  ก่อนการฉีดกระแสฮาร์โมนิกส์

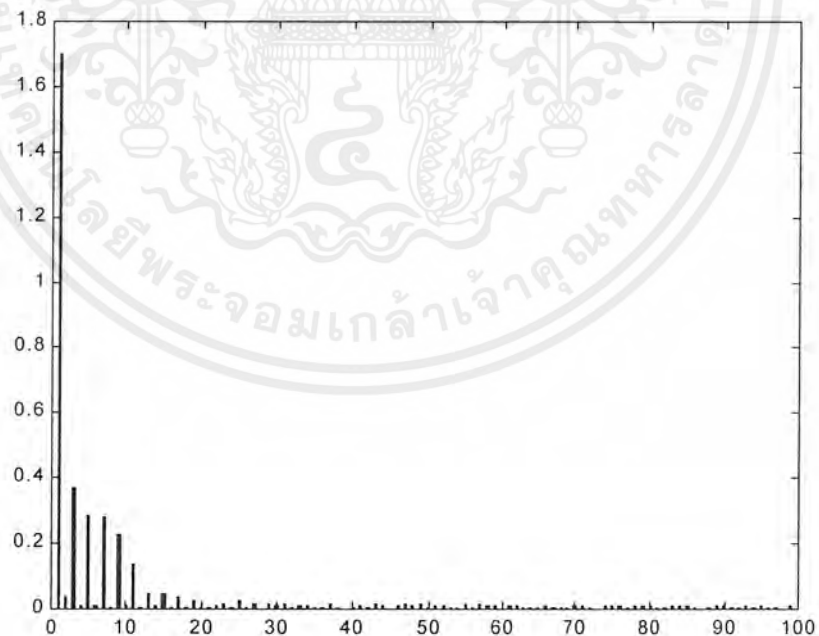


รูปที่ 6.36 แสดงสเปกตรัมของ  $I_s$  ก่อนฉีดกระแสฮาร์โมนิกส์

เอกสารนี้เป็นเอกสารที่สงวนไว้สำหรับการใช้งานเพื่อการศึกษาเท่านั้น ไม่อนุญาตให้นำไปใช้ประโยชน์ด้านการค้า ไม่ว่าจะกรณีใดๆ ทั้งสิ้น อีกทั้งห้ามมิให้ตัดแปลงเนื้อหาและต้องอ้างอิงถึงเจ้าของเอกสารทุกครั้งที่มีการนำไปใช้



รูปที่ 6.37 แสดงกระแส  $I_s$  หลังฉีดกระแสอาร์โมนิกส์



รูปที่ 6.38 แสดงสเปกตรัมของ  $I_s$  หลังฉีดกระแสอาร์โมนิกส์

เอกสารนี้เป็นเอกสารที่สงวนไว้สำหรับการใช้งานเพื่อการศึกษาเท่านั้น ไม่อนุญาตให้นำไปใช้ประโยชน์ด้านการค้า ไม่ว่าจะกรณีใดๆ ทั้งสิ้น อีกทั้งห้ามมิให้ดัดแปลงเนื้อหาและต้องอ้างอิงถึงเจ้าของเอกสารทุกครั้งที่มีการนำไปใช้

ตารางที่ 6.5 แสดงค่า THD และเพาเวอร์แฟคเตอร์ เปรียบเทียบก่อนแก้ไข และหลังแก้ไขเมื่อเป็น โหลดบริดจ์เรกติไฟร์

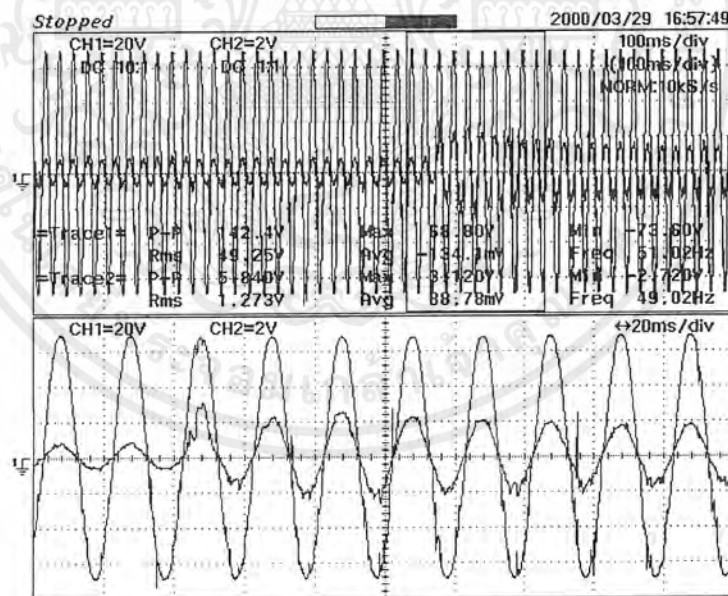
ก่อนปรับปรุง

$V_{IP}$ (v)	%THD	FF	DPF	PF	$I_s$ (A)	$I_{S1}$ (A)
50	82.46	0.7712	0.9562	0.7374	1.457	1.120

หลังแก้ไข

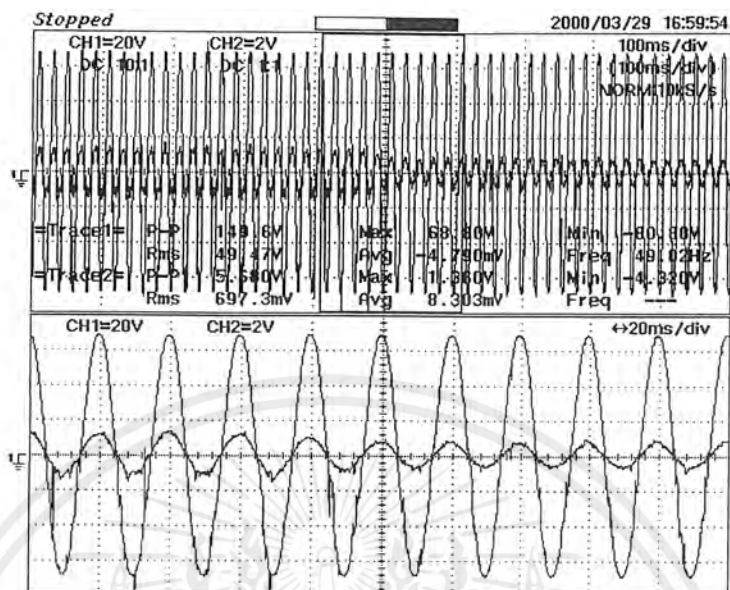
$V_{IP}$ (v)	%THD	FF	DPF	PF	$I_s$ (A)	$I_{S1}$ (A)
50	36.20	0.9259	0.9876	0.9144	1.289	1.200

#### 6.4 การทดสอบการตอบสนองเมื่อโหลดมีการเปลี่ยนแปลง



รูปที่ 6.39 แสดงการตอบสนองเมื่อโหลดเพิ่มขึ้น จาก 300 วัตต์ เป็น 600 วัตต์

เอกสารนี้เป็นเอกสารที่สงวนไว้สำหรับการใช้งานเพื่อการศึกษาเท่านั้น ไม่อนุญาตให้นำไปใช้ประโยชน์ด้านการค้า ไม่ว่ากรณีใดๆ ทั้งสิ้น อีกทั้งห้ามมิให้ตัดแปลงเนื้อหาและต้องอ้างอิงถึงเจ้าของเอกสารทุกครั้งที่มีการนำไปใช้



รูปที่ 6.40 แสดงการตอบสนองเมื่อโหลดลดลงจาก 600 วัตต์ เป็น 300 วัตต์

เอกสารนี้เป็นเอกสารที่สงวนไว้สำหรับการใช้งานเพื่อการศึกษาเท่านั้น ไม่อนุญาตให้นำไปใช้ประโยชน์ด้านการค้า  
 ไม่ว่ากรณีใดๆ ทั้งสิ้น อีกทั้งห้ามมิให้ตัดแปลงเนื้อหาและต้องอ้างอิงถึงเจ้าของเอกสารทุกครั้งที่มีการนำไปใช้

## บทที่ 7

### สรุปผลการทดลอง

#### 7.1 สรุปผลการทดลอง

จากการทดลองสร้างวงจรต้นแบบ เพื่อศึกษาการทำงาน พบว่าสามารถลดเสียงกระแสฮาร์โมนิกส์ได้ ซึ่งสามารถแก้ไขกระแสฮาร์โมนิกส์อันดับต่ำได้ดี แต่ควรมีวงจร passive filter แก้ไขกระแสฮาร์โมนิกส์อันดับสูง ประกอบด้วย จะทำให้ passive filter มีขนาดเล็กลง เนื่องจากความถี่สูงขึ้น และวงจรมีการตอบสนองต่อการเปลี่ยนแปลงของโหลดได้อย่างรวดเร็วภายใน 2 – 3 ไซเคิล การลดเสียงสามารถแบ่งได้เป็น 2 ส่วนคือ การลดเสียงรีแอกทีฟเพาเวอร์ และการลดเสียงกระแสฮาร์โมนิกส์

##### 7.1.1 การศึกษาด้วยโปรแกรมคอมพิวเตอร์

ผลที่ได้จากการจำลองการทำงานของวงจรคำนวณกระแสลดเสียง สามารถนำมาเปรียบเทียบับวงจรต้นแบบได้ เพื่อนำกระแสลดเสียงที่ได้นำไปแก้ไขกระแสฮาร์โมนิกส์ และปรับปรุงค่าเพาเวอร์แฟคเตอร์ให้มีค่าสูงขึ้นได้

##### 7.1.2 การลดเสียงรีแอกทีฟเพาเวอร์ หรือการแก้ไขเพาเวอร์แฟคเตอร์

จากการทดลองพบว่าวงจรแอกทีฟฟิลเตอร์ ต้นแบบสามารถทำการลดเสียงรีแอกทีฟฟิลเตอร์ได้โดยการลดเสียงที่เกิดขึ้น สามารถจำแนกได้เป็น 2 ส่วนคือ

##### 1. การลดเสียงในส่วน DPF

ในส่วนนี้ วงจรแอกทีฟฟิลเตอร์ต้นแบบ สามารถทำงานได้อย่างสมบูรณ์ คือสามารถให้ค่า DPF ที่เกิดขึ้นใกล้เคียง 1 โดยไม่ขึ้นกับประเภทของโหลดไม่เชิงเส้นที่ใช้งาน ซึ่งเป็นผลจากวงจรที่คำนวณกระแสอ้างอิง สามารถคำนวณกระแสอ้างอิงได้อย่างถูกต้อง

##### 2. การลดเสียงในส่วน FF

วงจรแอกทีฟฟิลเตอร์ต้นแบบ สามารถแก้ไข FF ได้ดีขึ้น ซึ่งค่า FF ที่เกิดขึ้นหลัก การลดเสียง สามารถลดเสียงได้โดยไม่ขึ้นกับโหลดไม่เชิงเส้นที่ใช้งาน แต่ขึ้นกับค่าความกว้างแบนของวงจรฮิสเตอร์รีซิส ที่เลือกใช้งาน ซึ่งค่าความกว้างของแบนที่ลดลง ทำให้ FF มีค่าดีขึ้น

##### 7.1.3 การลดเสียงกระแสฮาร์โมนิกส์

การลดเสียงกระแสฮาร์โมนิกส์นั้น วงจรต้นแบบสามารถทำการแก้ไขได้โดย กระแสฮาร์โมนิกส์ที่โหลดไม่เชิงเส้น สร้างขึ้นมา ซึ่งการลดเสียงกระแสฮาร์โมนิกส์ในโหลดทั้ง 3 ประเภท เอกสารนี้เป็นเอกสารที่สงวนไว้สำหรับการใช้งานเพื่อการศึกษาเท่านั้น ไม่อนุญาตให้นำไปใช้ประโยชน์ด้านการค้าไม่ว่ากรณีใดๆ ทั้งสิ้น อีกทั้งห้ามมิให้ดัดแปลงเนื้อหาและต้องอ้างอิงถึงเจ้าของเอกสารทุกครั้งที่มีการนำไปใช้

สามารถทำให้ค่า THD ดีขึ้น โดยค่า THD ของโหลดไดโอด สามารถชดเชยได้คือว่า โหลดบริดจ์เร็กติไฟร์ อันเนื่องมาจาก โหลดบริดจ์เร็กติไฟร์ มีความเป็น แหล่งกำเนิดแรงดันฮาร์โมนิกส์ ทำให้กระแสที่เกิดขึ้น มีความผิดเพี้ยนไปตามรูปแรงดัน

#### 7.1.4 การควบคุมกระแส

การชดเชยกระแสฮาร์โมนิกส์นั้น จะพบปัญหาการที่ไม่สามารถควบคุมลักษณะตรงส่วนยอดของรูปคลื่นได้อย่างเต็มที่ เพราะเนื่องมาจากแรงดันคร่อมตัวอินดักเตอร์ ไม่พอเพียงให้อัตราการเพิ่มขึ้น และลดลงของกระแส ให้ถึงค่าขอบเขต ความกว้างของฮิสเตอร์รีซิส ผลคือทำให้ช่วงยอด ลูกคลื่นไม่สามารถควบคุมได้

การควบคุมกระแสมีลักษณะการควบคุมได้ดังต่อไปนี้

1. ความชันของกระแสสามารถควบคุมได้โดย การเปลี่ยนค่า  $L$  ซึ่งค่า  $L$  ที่สูงจะทำให้ความชันของกระแสมีค่าต่ำ ในทำนองเดียวกัน ถ้า  $L$  มีค่าต่ำจะทำให้กระแสมีค่าความชันสูง
2. การเปลี่ยนค่าความกว้างฮิสเตอร์รีซิส จะทำให้ลักษณะรูปคลื่นของกระแสมีลักษณะเปลี่ยนแปลงได้ โดยการเพิ่มความกว้างฮิสเตอร์รีซิส โดยการเปลี่ยนค่า  $R$  ที่วงจรแบ่ง แบ่งจะทำให้ลักษณะรูปคลื่นมีความกว้างของแบนลดลง ความใกล้เคียงกับรูปคลื่น Sinusoidal จะมามากขึ้น
3. ค่าความถี่การสวิตช์สามารถเปลี่ยนได้โดยขึ้นกับค่าความกว้างของขอบเขตฮิสเตอร์รีซิส และค่าของ  $L$  ที่ใช้ในวงจรแอคทีฟฟิลเตอร์

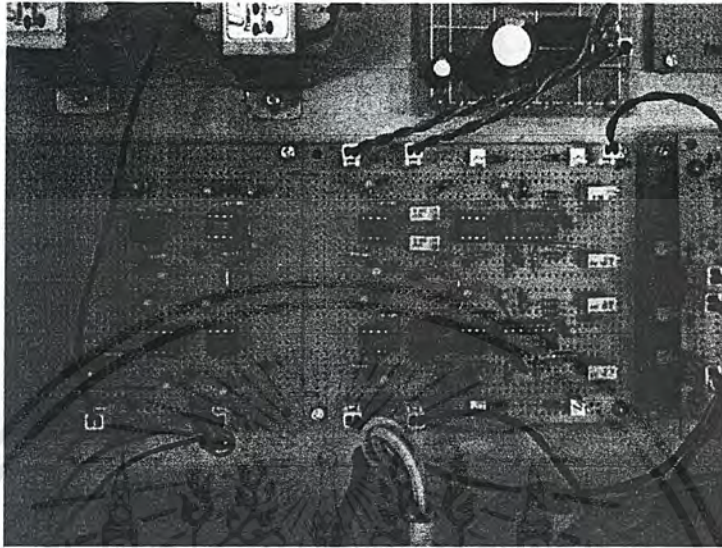
## 7.2 ปัญหา และอุปสรรค

1. ปัญหาการเกิดสัญญาณรบกวนในวงจร ทำให้เกิดความยุ่งยากในการทำงาน อย่างถูกต้อง
2. เนื่องจากการทดลองนี้ มีความถี่การสวิตช์ที่ไม่คงที่ ทำให้การเลือกค่าความไวของออปแอมป์ ให้ได้ค่าที่เหมาะสมได้ยาก

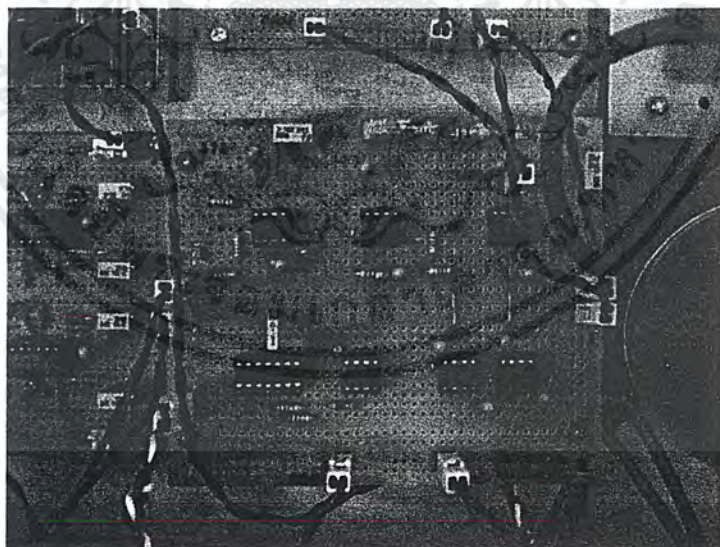


# ภาคผนวก

เอกสารนี้เป็นเอกสารที่สงวนไว้สำหรับการใช้งานเพื่อการศึกษาเท่านั้น ไม่อนุญาตให้นำไปใช้ประโยชน์ด้านการค้า  
ไม่ว่ากรณีใดๆ ทั้งสิ้น อีกทั้งห้ามมิให้ตัดแปลงเนื้อหาและต้องอ้างอิงถึงเจ้าของเอกสารทุกครั้งที่มีการนำไปใช้

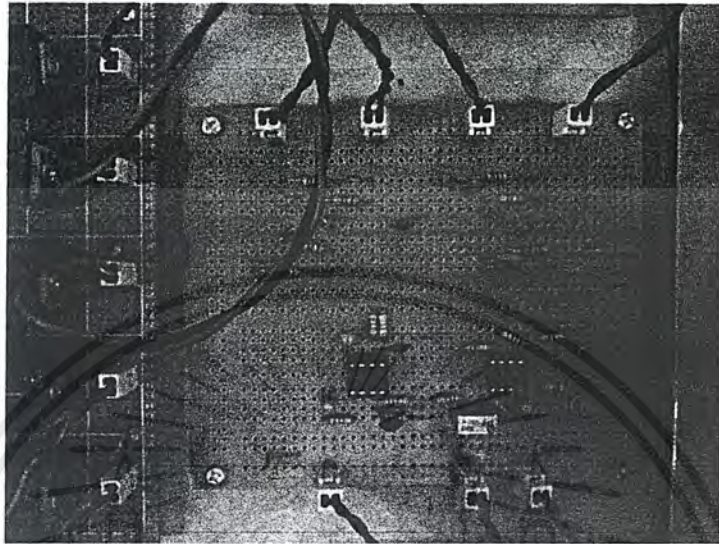


ส่วนสร้างสัญญาณกระแสดเซย

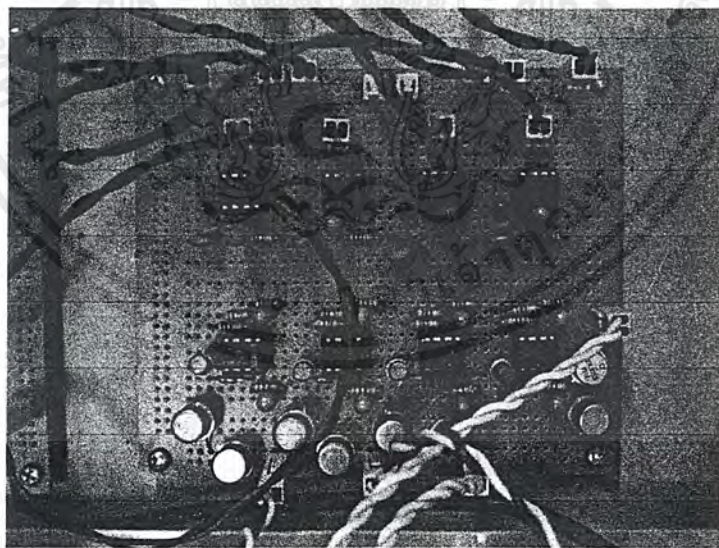


ส่วนควบคุมกระแสแรง แบน

เอกสารนี้เป็นเอกสารที่สงวนไว้สำหรับการใช้งานเพื่อการศึกษาเท่านั้น ไม่อนุญาตให้นำไปใช้ประโยชน์ด้านการค้าไม่ว่ากรณีใดๆ ทั้งสิ้น อีกทั้งห้ามมิให้ตัดแปลงเนื้อหาและต้องอ้างอิงถึงเจ้าของเอกสารทุกครั้งที่มีการนำไปใช้

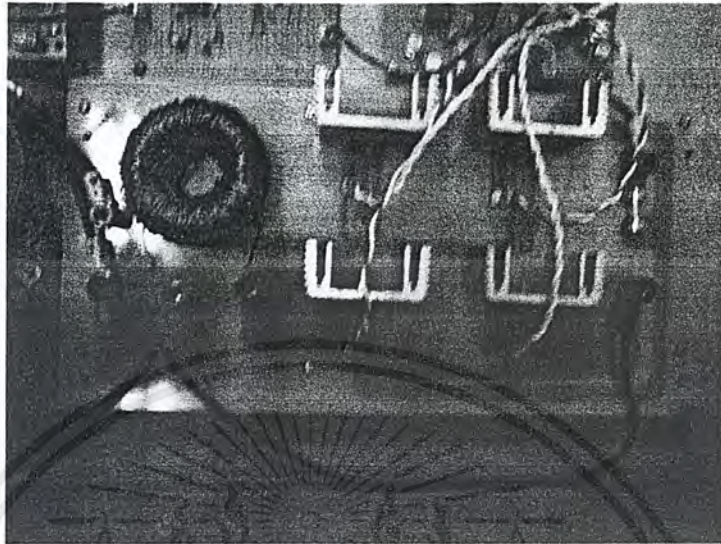


วงจรถัดไทม์

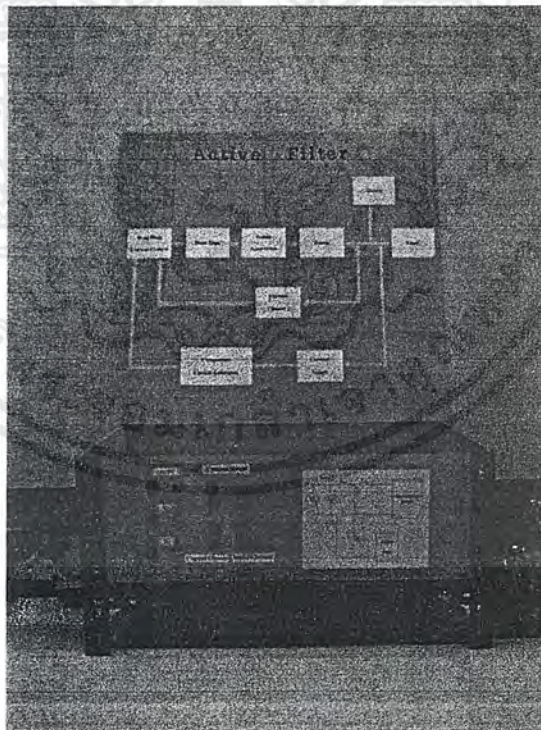


วงจรถับเกท

เอกสารนี้เป็นเอกสารที่สงวนไว้สำหรับการใช้งานเพื่อการศึกษาเท่านั้น ไม่อนุญาตให้นำไปใช้ประโยชน์ด้านการค้า  
ไม่ว่ากรณีใดๆ ทั้งสิ้น อีกทั้งห้ามมิให้ตัดแปลงเนื้อหาและต้องอ้างอิงถึงเจ้าของเอกสารทุกครั้งที่มีการนำไปใช้



วงจรกำลัง



วงจรแอกทีฟฟิลเตอร์

เอกสารนี้เป็นเอกสารที่สงวนไว้สำหรับการใช้งานเพื่อการศึกษาเท่านั้น ไม่อนุญาตให้นำไปใช้ประโยชน์ด้านการค้าไม่ว่ากรณีใดๆ ทั้งสิ้น อีกทั้งห้ามมิให้ตัดแปลงเนื้อหาและต้องอ้างอิงถึงเจ้าของเอกสารทุกครั้งที่มีการนำไปใช้



# MC1495

## LINEAR FOUR-QUADRANT MULTIPLIER

### SEMICONDUCTOR TECHNICAL DATA

## Wideband Linear Four-Quadrant Multiplier

The MC1495 is designed for use where the output is a linear product of two input voltages. Maximum versatility is assured by allowing the user to select the level shift method. Typical applications include: multiply, divide\*, square root\*, mean square\*, phase detector, frequency doubler, balanced modulator/demodulator, and electronic gain control.

- Wide Bandwidth
- Excellent Linearity:
  - 2% max Error on X Input, 4% max Error on Y Input Over Temperature
  - 1% max Error on X Input, 2% max Error on Y Input at + 25°C
- Adjustable Scale Factor, K
- Excellent Temperature Stability
- Wide Input Voltage Range:  $\pm 10$  V
- $\pm 15$  V Operation

\*When used with an operational amplifier.



D SUFFIX  
PLASTIC PACKAGE  
CASE 751A  
(SO-14)



P SUFFIX  
PLASTIC PACKAGE  
CASE 646

### MAXIMUM RATINGS ( $T_A = + 25^\circ\text{C}$ , unless otherwise noted.)

Rating	Symbol	Value	Unit
Applied Voltage ( $V_2-V_1, V_{14}-V_1, V_1-V_9, V_1-V_{12}, V_1-V_4,$ $V_1-V_8, V_{12}-V_7, V_9-V_7, V_8-V_7, V_4-V_7$ )	$\Delta V$	30	Vdc
Differential Input Signal	$V_{12}-V_9$ $V_4-V_8$	$\pm (6+1/3 R_X)$ $\pm (6+1/3 R_Y)$	Vdc
Maximum Bias Current	$I_3$ $I_{13}$	10 10	mA
Operating Temperature Range	$T_A$	0 to +70 - 40 to +125	$^\circ\text{C}$
Storage Temperature Range	$T_{stg}$	- 65 to +150	$^\circ\text{C}$

### ORDERING INFORMATION

Device	Tested Operating Temperature Range	Package
MC1495D	$T_A = 0^\circ$ to + 70 $^\circ\text{C}$	SO-14
MC1495P		Plastic DIP
MC1495BP	$T_A = - 40^\circ$ to +125 $^\circ\text{C}$	Plastic DIP

### MOTOROLA ANALOG IC DEVICE DATA

เอกสารนี้เป็นเอกสารที่สงวนไว้สำหรับการใช้งานเพื่อการศึกษาเท่านั้น ไม่อนุญาตให้นำไปใช้ประโยชน์ด้านการค้า  
ไม่ว่ากรณีใดๆ ทั้งสิ้น อีกทั้งห้ามมิให้ตัดแปลงเนื้อหาและต้องอ้างอิงถึงเจ้าของเอกสารทุกครั้งที่มีการนำไปใช้

## MC1495

**ELECTRICAL CHARACTERISTICS** (+V = +32 V, -V = -15 V, T<sub>A</sub> = +25°C, I<sub>3</sub> = I<sub>13</sub> = 1.0 mA, R<sub>X</sub> = R<sub>Y</sub> = 15 kΩ, R<sub>L</sub> = 11 kΩ, unless otherwise noted.)

Characteristics	Figure	Symbol	Min	Typ	Max	Unit
Linearity (Output Error in percent of full scale) T <sub>A</sub> = +25°C -10 < V <sub>X</sub> < +10 (V <sub>Y</sub> = ±10 V) -10 < V <sub>Y</sub> < +10 (V <sub>X</sub> = ±10 V) T <sub>A</sub> = T <sub>Low</sub> to T <sub>High</sub> -10 < V <sub>X</sub> < +10 (V <sub>Y</sub> = ±10 V) -10 < V <sub>Y</sub> < +10 (V <sub>X</sub> = ±10 V)	5	E <sub>RX</sub> E <sub>RY</sub>  E <sub>RX</sub> E <sub>RY</sub>	- -  - -	±1.0 ±2.0  ±1.5 ±3.0	±1.0 ±2.0  ±2.0 ±4.0	%
Square Mode Error (Accuracy in percent of full scale after Offset and Scale Factor adjustment) T <sub>A</sub> = +25°C T <sub>A</sub> = T <sub>Low</sub> to T <sub>High</sub>	5	E <sub>SQ</sub>	- -	±0.75 ±1.0	- -	%
Scale Factor (Adjustable) $\left(K = \frac{2R_L}{13 R_X R_Y}\right)$	-	K	-	0.1	-	
Input Resistance (f = 20 Hz)	7	R <sub>inX</sub> R <sub>inY</sub>	- -	30 20	- -	MΩ
Differential Output Resistance (f = 20 Hz)	8	R <sub>O</sub>	-	300	-	kΩ
Input Bias Current $I_{bx} = \frac{(I_9 + I_{12})}{2}$ , $I_{by} = \frac{(I_4 + I_8)}{2}$ T <sub>A</sub> = +25°C T <sub>A</sub> = T <sub>Low</sub> to T <sub>High</sub>	6	I <sub>bx</sub> , I <sub>by</sub>	- -	2.0 2.0	8.0 12	μA
Input Offset Current $ I_9 - I_{12} $ $ I_4 - I_8 $ T <sub>A</sub> = +25°C T <sub>A</sub> = T <sub>Low</sub> to T <sub>High</sub>	6	I <sub>iox</sub>  ,  I <sub>ioy</sub>	- -	0.4 0.4	1.0 2.0	μA
Average Temperature Coefficient of Input Offset Current T <sub>A</sub> = T <sub>Low</sub> to T <sub>High</sub>	6	TC <sub>Iio</sub>	-	2.5	-	nA/°C
Output Offset Current $ I_{14} - I_2 $ T <sub>A</sub> = +25°C T <sub>A</sub> = T <sub>Low</sub> to T <sub>High</sub>	6	I <sub>OO</sub>	-	10 20	50 100	μA
Average Temperature Coefficient of Output Offset Current T <sub>A</sub> = T <sub>Low</sub> to T <sub>High</sub>	6	TC <sub>Ioo</sub>	-	20	-	nA/°C
Frequency Response 3.0 dB Bandwidth, R <sub>L</sub> = 11 kΩ 3.0 dB Bandwidth, R <sub>L</sub> = 50 Ω (Transconductance Bandwidth) 3° Relative Phase Shift Between V <sub>X</sub> and V <sub>Y</sub> 1% Absolute Error Due to Input-Output Phase Shift	9,10	BW(3dB) TBW(3dB) φ <sub>p</sub> φ <sub>t</sub>	- - - -	3.0 80 750 30	- - - -	MHz MHz kHz kHz
Common Mode Input Swing (Either Input)	11	CMV	±10.5	±12	-	Vdc
Common Mode Gain (Either Input) T <sub>A</sub> = +25°C T <sub>A</sub> = T <sub>Low</sub> to T <sub>High</sub>	11	ACM	-50 -40	-60 -50	- -	dB
Common Mode Quiescent Output Voltage	12	V <sub>O1</sub> V <sub>O2</sub>	- -	21 21	- -	Vdc
Differential Output Voltage Swing Capability	9	V <sub>O</sub>	-	±14	-	V <sub>pk</sub>
Power Supply Sensitivity	12	S <sup>+</sup> S <sup>-</sup>	- -	5.0 10	- -	mV/V
Power Supply Current	12	I <sub>7</sub>	-	6.0	7.0	mA
DC Power Dissipation	12	P <sub>D</sub>	-	135	170	mW

NOTES: 1. T<sub>High</sub> = +70°C for MC1495  
= +125°C for MC1495B  
T<sub>Low</sub> = 0°C for MC1495  
= -40°C for MC1495B

# MC1495

Figure 1. Multiplier Transfer Characteristic

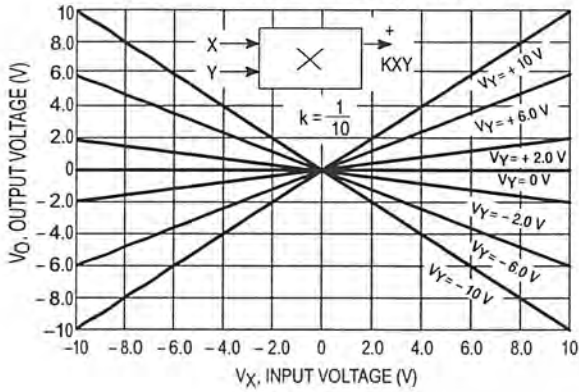


Figure 2. Transconductance Bandwidth

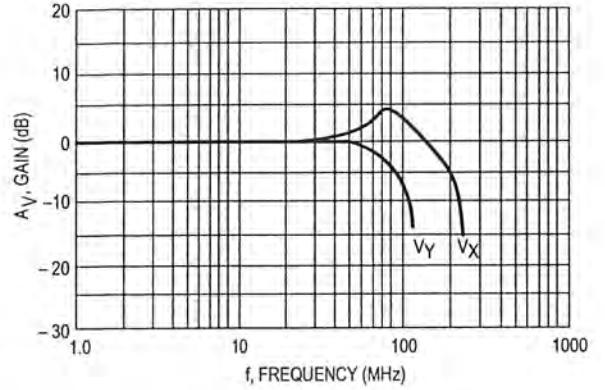
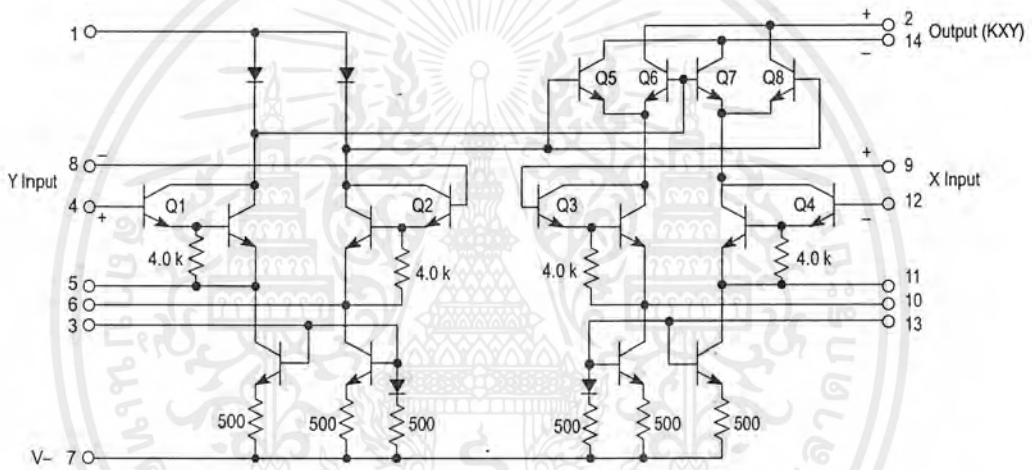
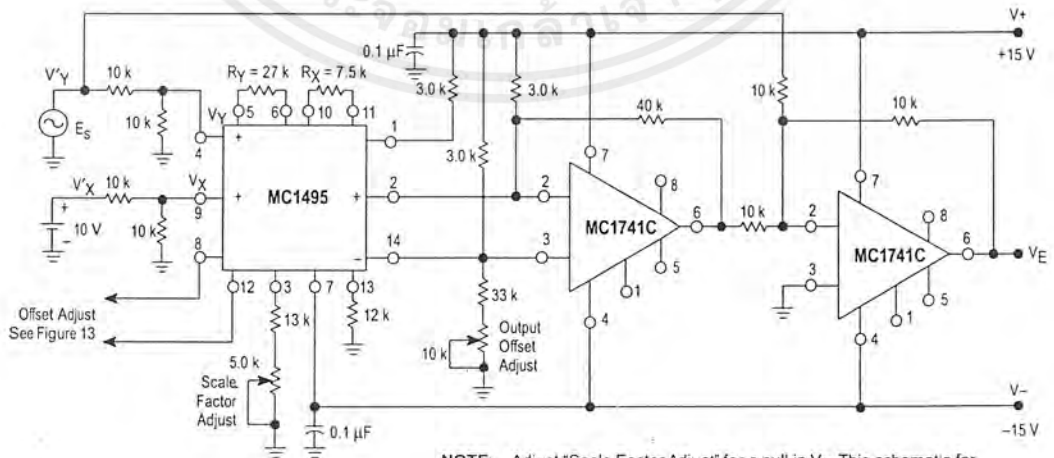


Figure 3. Circuit Schematic



This device contains 16 active transistors.

Figure 4. Linearity (Using Null Technique)



NOTE: Adjust "Scale Factor Adjust" for a null in  $V_E$ . This schematic for illustrative purposes only, not specified for test conditions.

# MC1495

Figure 5. Linearity (Using X-Y Plotter Technique)

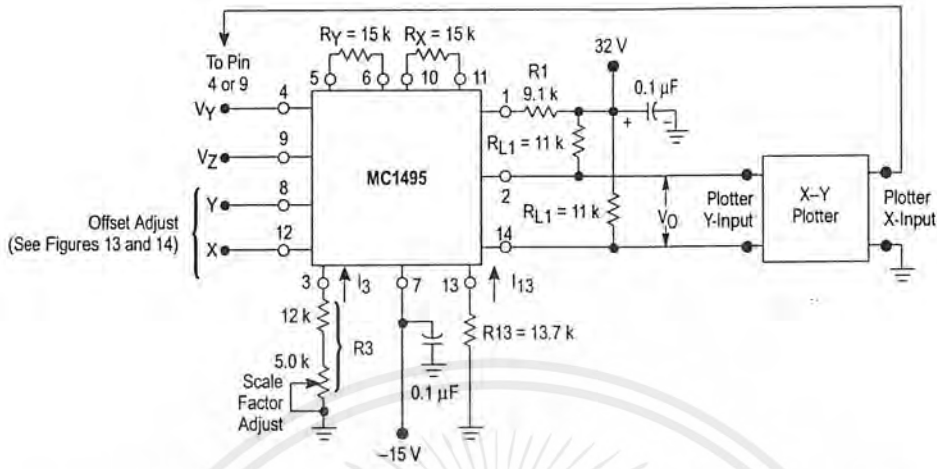


Figure 6. Input and Output Current

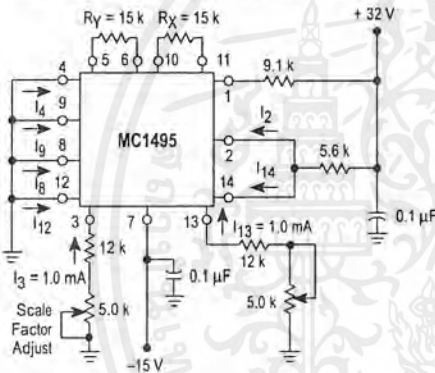


Figure 7. Input Resistance

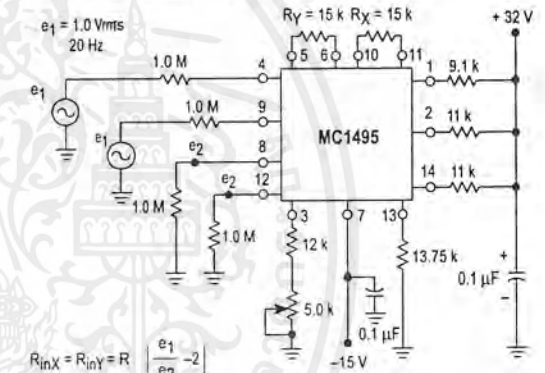


Figure 8. Output Resistance

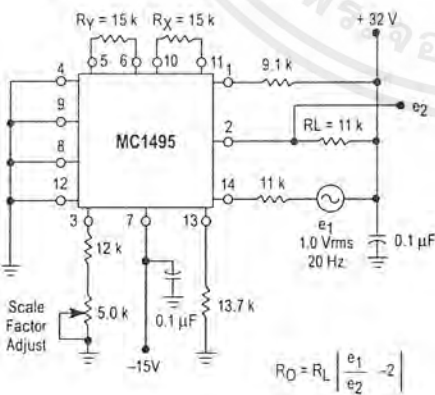
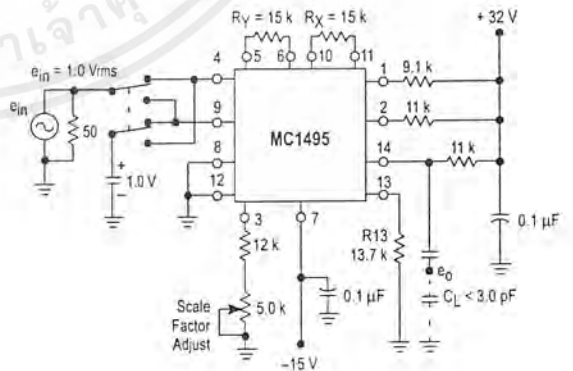


Figure 9. Bandwidth ( $R_L = 11\text{ k}\Omega$ )



เอกสารนี้เป็นเอกสารที่สงวนไว้สำหรับการใช้งานเพื่อการศึกษาเท่านั้น ไม่อนุญาตให้นำไปใช้ประโยชน์ด้านการค้า ไม่ว่าจะกรณีใดๆ ทั้งสิ้น อีกทั้งห้ามมิให้ดัดแปลงเนื้อหาและต้องอ้างอิงถึงเจ้าของเอกสารทุกครั้งที่มีการนำไปใช้

# MC1495

Figure 10. Bandwidth ( $R_L = 50 \Omega$ )

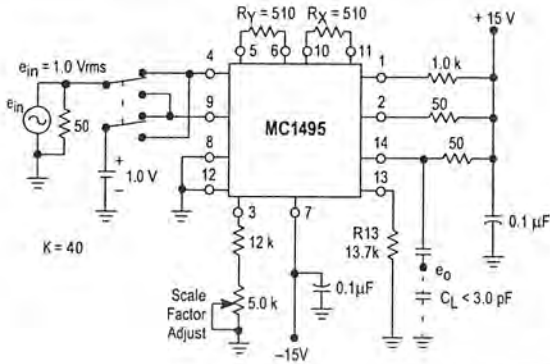


Figure 11. Common Mode Gain and Common Mode Input Swing

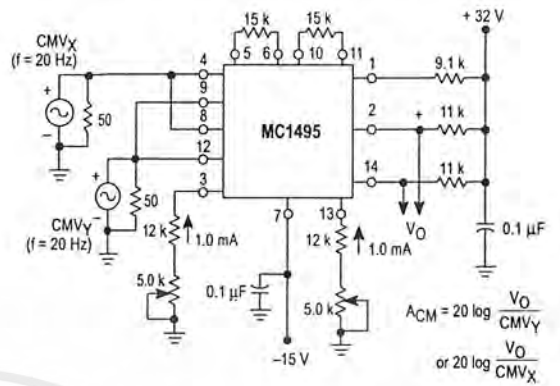


Figure 12. Power Supply Sensitivity

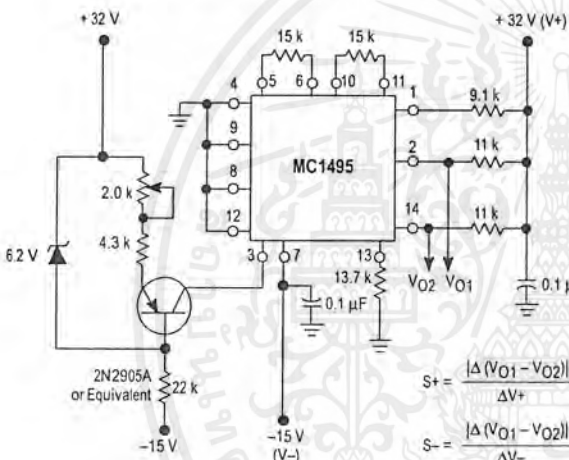


Figure 13. Offset Adjust Circuit

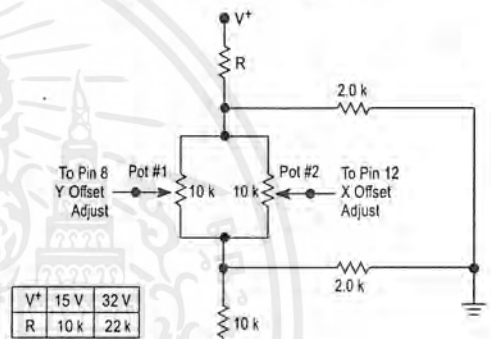
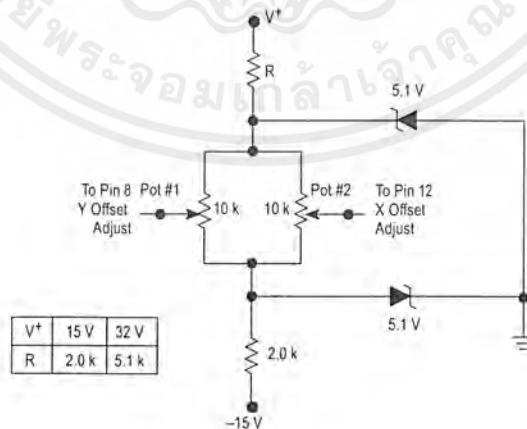


Figure 14. Offset Adjust Circuit (Alternate)



เอกสารนี้เป็นเอกสารที่สงวนไว้สำหรับการใช้งานเพื่อการศึกษาเท่านั้น ไม่อนุญาตให้นำไปใช้ประโยชน์ด้านการค้า ไม่ว่าจะกรณีใดๆ ทั้งสิ้น อีกทั้งห้ามมิให้ดัดแปลงเนื้อหาและต้องอ้างอิงถึงเจ้าของเอกสารทุกครั้งที่มีการนำไปใช้

# MC1495

Figure 15. Linearity versus Temperature

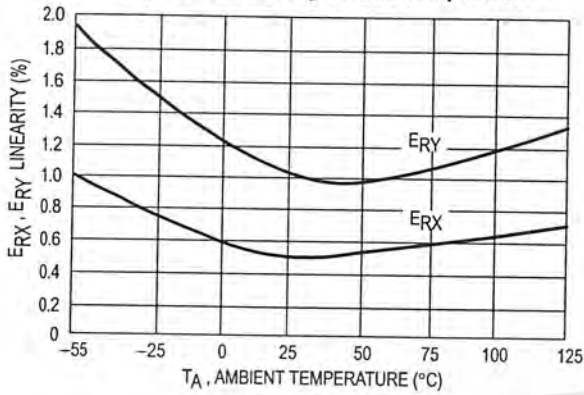


Figure 16. Scale Factor versus Temperature

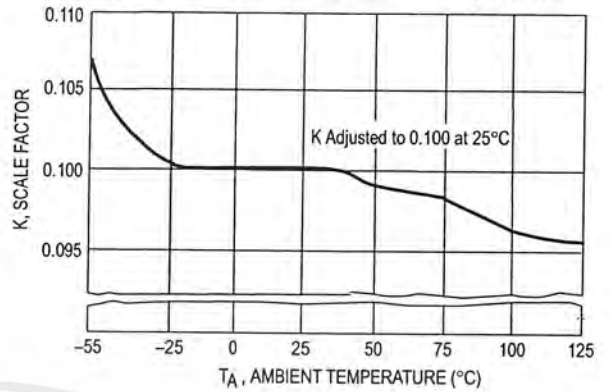


Figure 17. Error Contributed by Input Differential Amplifier

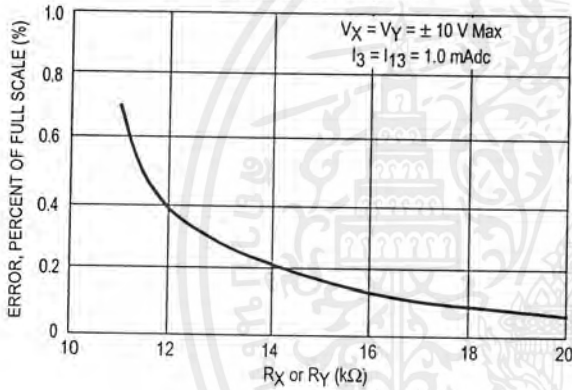


Figure 18. Error Contributed by Input Differential Amplifier

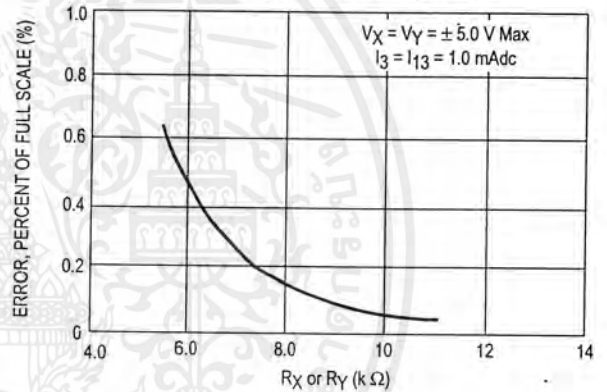
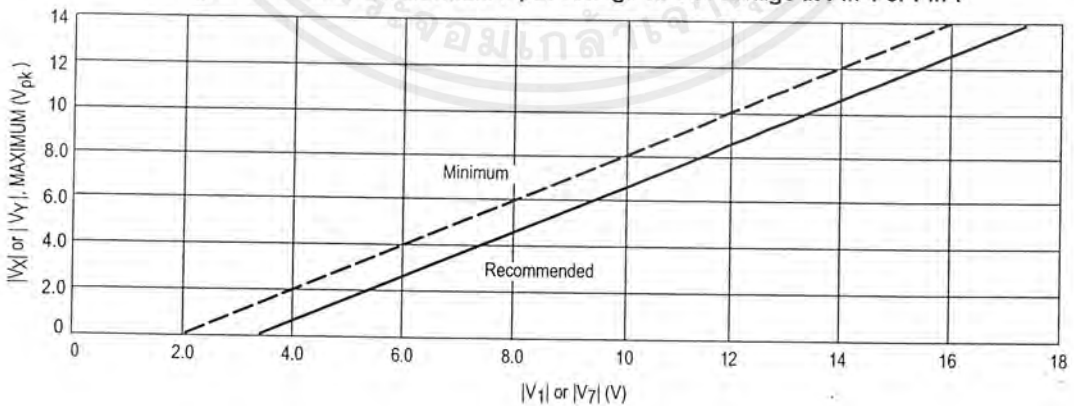


Figure 19. Maximum Allowable Input Voltage versus Voltage at Pin 1 or Pin 7



เอกสารนี้เป็นเอกสารที่สงวนไว้สำหรับการใช้งานเพื่อการศึกษาเท่านั้น ไม่อนุญาตให้นำไปใช้ประโยชน์ด้านการค้า ไม่ว่ากรณีใดๆ ทั้งสิ้น อีกทั้งห้ามมิให้ตัดแปลงเนื้อหาและต้องอ้างอิงถึงเจ้าของเอกสารทุกครั้งที่มีการนำไปใช้

## MC1495

### OPERATION AND APPLICATIONS INFORMATION

#### Theory of Operation

The MC1495 is a monolithic, four-quadrant multiplier which operates on the principle of variable transconductance. A detailed theory of operation is covered in Application Note AN489, *Analysis and Basic Operation of the MC1595*. The result of this analysis is that the differential output current of the multiplier is given by:

$$I_A - I_B = \Delta I = \frac{2V_X V_Y}{R_X R_Y I_3}$$

where,  $I_A$  and  $I_B$  are the currents into Pins 14 and 2, respectively, and  $V_X$  and  $V_Y$  are the X and Y input voltages at the multiplier input terminals.

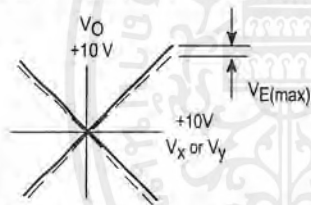
#### DESIGN CONSIDERATIONS

##### General

The MC1495 permits the designer to tailor the multiplier to a specific application by proper selection of external components. External components may be selected to optimize a given parameter (e.g. bandwidth) which may in turn restrict another parameter (e.g. maximum output voltage swing). Each important parameter is discussed in detail in the following paragraphs.

##### Linearity, Output Error, $ER_X$ or $ER_Y$

Linearity error is defined as the maximum deviation of output voltage from a straight line transfer function. It is expressed as error in percent of full scale (see figure below).



For example, if the maximum deviation,  $V_E(max)$ , is  $\pm 100$  mV and the full scale output is 10 V, then the percentage error is:

$$ER = \frac{V_E(max)}{V_O(max)} \times 100 = \frac{100 \times 10^{-3}}{10} \times 100 = \pm 1.0\%$$

Linearity error may be measured by either of the following methods:

1. Using an X-Y plotter with the circuit shown in Figure 5, obtain plots for X and Y similar to the one shown above.
2. Use the circuit of Figure 4. This method nulls the level shifted output of the multiplier with the original input. The peak output of the null operational amplifier will be equal to the error voltage,  $V_E(max)$ .

One source of linearity error can arise from large signal nonlinearity in the X and Y input differential amplifiers. To avoid introducing error from this source, the emitter degeneration resistors  $R_X$  and  $R_Y$  must be chosen large enough so that nonlinear base-emitter voltage variation can be ignored. Figures 17 and 18 show the error expected from this source as a function of the values of  $R_X$  and  $R_Y$  with an operating current of 1.0 mA in each side of the differential amplifiers (i.e.,  $I_3 = I_{13} = 1.0$  mA).

#### 3 dB Bandwidth and Phase Shift

Bandwidth is primarily determined by the load resistors and the stray multiplier output capacitance and/or the operational amplifier used to level shift the output. If wideband operation is desired, low value load resistors and/or a wideband operational amplifier should be used. Stray output capacitance will depend to a large extent on circuit layout.

Phase shift in the multiplier circuit results from two sources: phase shift common to both X and Y channels (due to the load resistor-output capacitance pole mentioned above) and relative phase shift between X and Y channels (due to differences in transadmittance in the X and Y channels). If the input to output phase shift is only  $0.6^\circ$ , the output product of two sine waves will exhibit a vector error of 1%. A  $3^\circ$  relative phase shift between  $V_X$  and  $V_Y$  results in a vector error of 5%.

#### Maximum Input Voltage

$V_X(max)$ ,  $V_Y(max)$  input voltages must be such that:

$$\begin{aligned} V_X(max) &< I_{13} R_Y \\ V_Y(max) &< I_{13} R_X \end{aligned}$$

Exceeding this value will drive one side of the input amplifier to "cutoff" and cause nonlinear operation.

Current  $I_3$  and  $I_{13}$  are chosen at a convenient value (observing power dissipation limitation) between 0.5 mA and 2.0 mA, approximately 1.0 mA. Then  $R_X$  and  $R_Y$  can be determined by considering the input signal handling requirements.

For  $V_X(max) = V_Y(max) = 10$  V;

$$R_X = R_Y > \frac{10 \text{ V}}{1.0 \text{ mA}} = 10 \text{ k}\Omega$$

$$\text{The equation } I_A - I_B = \frac{2V_X V_Y}{R_X R_Y I_3}$$

$$\text{is derived from } I_A - I_B = \frac{2V_X V_Y}{(R_X + \frac{2kT}{qI_{13}})(R_Y + \frac{2kT}{qI_3}) I_3}$$

$$\text{with the assumption } R_X \gg \frac{2kT}{qI_{13}} \text{ and } R_Y \gg \frac{2kT}{qI_3}$$

At  $T_A = +25^\circ\text{C}$  and  $I_{13} = I_3 = 1.0$  mA,

$$\frac{2kT}{qI_{13}} = \frac{2kT}{qI_3} = 52 \Omega$$

Therefore, with  $R_X = R_Y = 10$  k $\Omega$  the above assumption is valid. Reference to Figure 19 will indicate limitations of  $V_X(max)$  or  $V_Y(max)$  due to  $V_1$  and  $V_7$ . Exceeding these limits will cause saturation or "cutoff" of the input transistors. See Step 4 of General Design Procedure for further details.

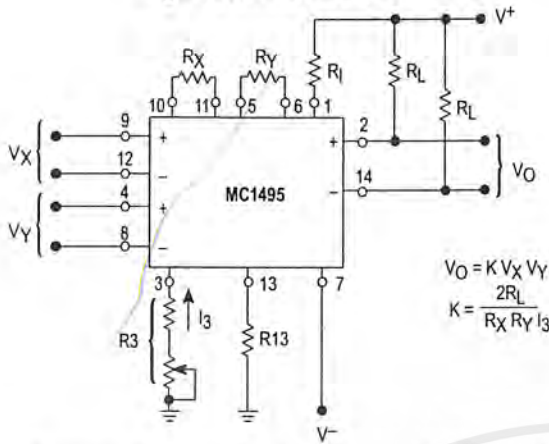
#### Maximum Output Voltage Swing

The maximum output voltage swing is dependent upon the factors mentioned below and upon the particular circuit being considered.

For Figure 20 the maximum output swing is dependent upon  $V^+$  for positive swing and upon the voltage at Pin 1 for negative swing. The potential at Pin 1 determines the quiescent level for transistors  $Q_5$ ,  $Q_6$ ,  $Q_7$  and  $Q_8$ . This potential should be related so that negative swing at Pins 2 or 14 does not saturate those transistors. See General Design Procedure for further information regarding selection of these potentials.

## MC1495

Figure 20. Basic Multiplier



$$V_O = K V_X V_Y$$

$$K = \frac{2R_L}{R_X R_Y I_3}$$

If an operational amplifier is used for level shift, as shown in Figure 21, the output swing (of the multiplier) is greatly reduced. See Section 3 for further details.

### GENERAL DESIGN PROCEDURE

Selection of component values is best demonstrated by the following example. Assume resistive dividers are used at the X and Y-inputs to limit the maximum multiplier input to  $\pm 5.0$  V [ $V_X = V_Y(\max)$ ] for a  $\pm 10$  V input [ $V_X' = V_Y'(\max)$ ] (see Figure 21). If an overall scale factor of 1/10 is desired,

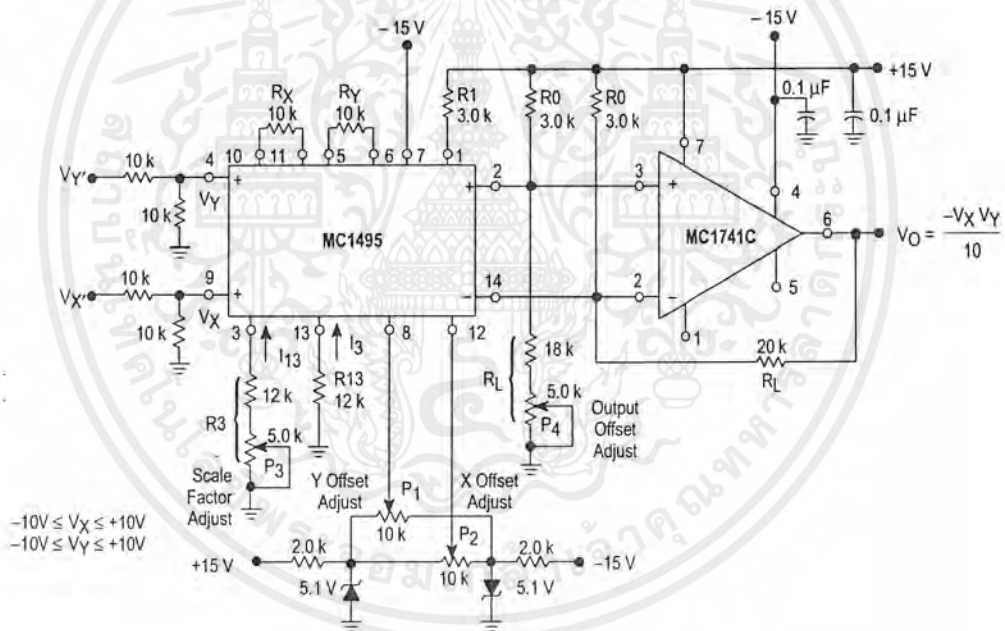
$$\text{then, } V_O = \frac{V_X' V_Y'}{10} = \frac{(2V_X)(2V_Y)}{10} = 4/10 V_X V_Y$$

Therefore,  $K = 4/10$  for the multiplier (excluding the divider network).

*Step 1.* The first step is to select current  $I_3$  and current  $I_{13}$ . There are no restrictions on the selection of either of these currents except the power dissipation of the device.  $I_3$  and  $I_{13}$  will normally be 1.0 mA or 2.0 mA. Further,  $I_3$  does not have to be equal to  $I_{13}$ , and there is normally no need to make them different. For this example, let

$$I_3 = I_{13} = 1.0 \text{ mA.}$$

Figure 21. Multiplier with Operational Amplifier Level Shift



## MC1495

Referring to Figure 21, the level shift components will be determined. When  $V_X = V_Y = 0$ , the currents  $I_2$  and  $I_{14}$  will be equal to  $I_{13}$ . In Step 3,  $R_L$  was found to be  $20\text{ k}\Omega$  and in Step 4,  $V_2$  and  $V_{14}$  were found to be approximately  $11\text{ V}$ . From this information  $R_O$  can be found easily from the following equation (neglecting the operational amplifiers bias current):

$$\frac{V_2}{R_L} + I_{13} = \frac{V^+ - V_2}{R_O}$$

And for this example,  $\frac{11\text{ V}}{20\text{ k}\Omega} + 1.0\text{ mA} = \frac{15\text{ V} - 11\text{ V}}{R_O}$

Solving for  $R_O$ :  $R_O = 2.6\text{ k}\Omega$ , thus, select  $R_O = 3.0\text{ k}\Omega$

For  $R_O = 3.0\text{ k}\Omega$ , the voltage at Pins 2 and 14 is calculated to be:

$$V_2 = V_{14} = 10.4\text{ V.}$$

The linearity of this circuit (Figure 21) is likely to be as good or better than the circuit of Figure 5. Further improvements are possible as shown in Figure 23 where  $R_Y$  has been increased substantially to improve the Y linearity, and  $R_X$  decreased somewhat so as not to materially affect the X linearity. This avoids increasing  $R_L$  significantly in order to maintain a K of 0.1.

The versatility of the MC1495 allows the user to to optimize its performance for various input and output signal levels.

## OFFSET AND SCALE FACTOR ADJUSTMENT

### Offset Voltages

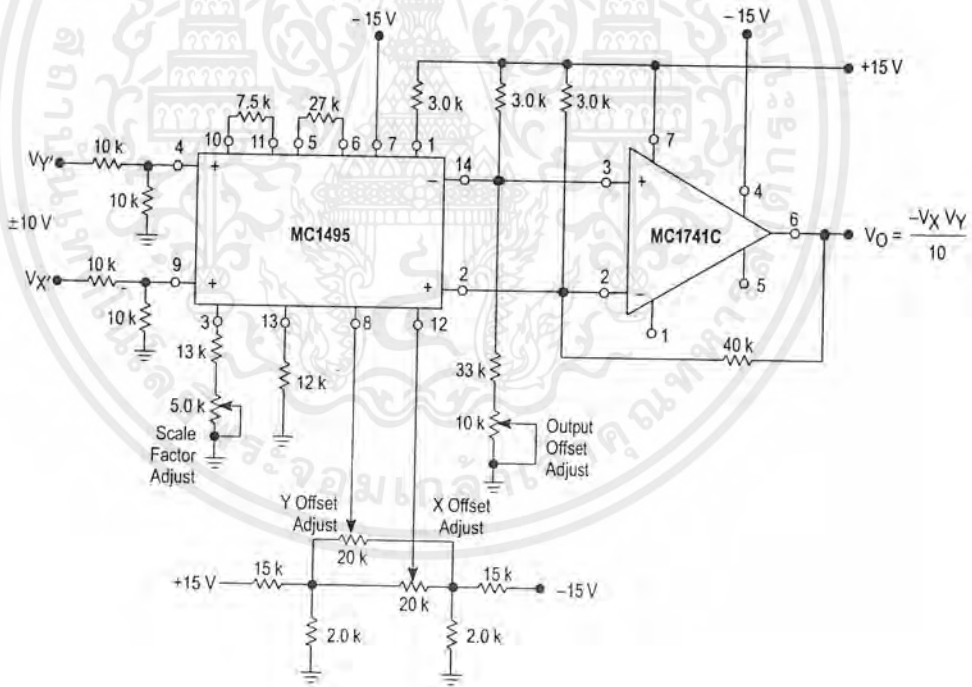
Within the monolithic multiplier (Figure 3) transistor base-emitter junctions are typically matched within  $1.0\text{ mV}$  and resistors are typically matched within  $2\%$ . Even with this careful matching, an output error can occur. This output error is comprised of X-input offset voltage, Y-input offset voltage, and output offset voltage. These errors can be adjusted to zero with the techniques shown in Figure 21. Offset terms can be shown analytically by the transfer function:

$$V_O = K[V_X \pm V_{iox} \pm V_{X(off)}] [V_Y \pm V_{ioy} \pm V_{Y(off)}] \pm V_{OO} \quad (1)$$

Where:

- K = scale factor
- $V_X$  = "x" input voltage
- $V_Y$  = "y" input voltage
- $V_{iox}$  = "x" input offset voltage
- $V_{ioy}$  = "y" input offset voltage
- $V_{X(off)}$  = "x" input offset adjust voltage
- $V_{Y(off)}$  = "y" input offset adjust voltage
- $V_{OO}$  = output offset voltage.

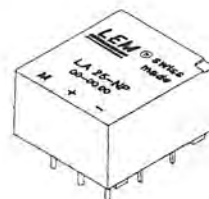
Figure 23. Multiplier with Improved Linearity



# Current Transducer LA 25-NP

$I_{PN} = 5-6-8-12-25 \text{ A}$

For the electronic measurement of currents : DC, AC, pulsed, mixed, with a galvanic isolation between the primary circuit (high power) and the secondary circuit (electronic circuit).



## Electrical data

$I_{PN}$	Primary nominal r.m.s. current	25	At
$I_p$	Primary current, measuring range	$0 \dots \pm 36$	At
$R_M$	Measuring resistance with $\pm 15 \text{ V}$	$R_{M \min}$	$R_{M \max}$
		@ $\pm 25 \text{ At}_{\max}$	100    320 $\Omega$
		@ $\pm 36 \text{ At}_{\max}$	100    190 $\Omega$
$I_{SN}$	Secondary nominal r.m.s. current	25	mA
$K_N$	Conversion ratio	1-2-3-4-5	: 1000
$V_C$	Supply voltage ( $\pm 5 \%$ )	$\pm 15$	V
$I_C$	Current consumption	$10 + I_s$	mA
$V_d$	R.m.s. voltage for AC isolation test, 50 Hz, 1 mn	2.5	kV
$V_b$	R.m.s. rated voltage <sup>1)</sup> , safe separation basic isolation	600	V
		1700	V

## Features

- Closed loop (compensated) multi-range current transducer using the Hall effect
- Insulated plastic case recognized according to UL 94-V0.

## Advantages

- Excellent accuracy
- Very good linearity
- Low temperature drift
- Optimized response time
- Wide frequency bandwidth
- No insertion losses
- High immunity to external interference
- Current overload capability.

## Accuracy - Dynamic performance data

$X$	Accuracy @ $I_{PN}, T_A = 25^\circ\text{C}$	$\pm 0.5$	%
$\epsilon_L$	Linearity	$< 0.2$	%
$I_O$	Offset current <sup>2)</sup> @ $I_p = 0, T_A = 25^\circ\text{C}$	Typ	Max
		$\pm 0.05$	$\pm 0.15$ mA
$I_{OM}$	Residual current <sup>3)</sup> @ $I_p = 0$ , after an overload of $3 \times I_{PN}$	$\pm 0.05$	$\pm 0.15$ mA
$I_{OT}$	Thermal drift of $I_O$	$0^\circ\text{C} \dots +25^\circ\text{C}$	$\pm 0.06$ $\pm 0.25$ mA
		$+25^\circ\text{C} \dots +70^\circ\text{C}$	$\pm 0.10$ $\pm 0.35$ mA
$t_r$	Response time <sup>4)</sup> @ 90 % of $I_{p \max}$	$< 1$	$\mu\text{s}$
$di/dt$	$di/dt$ accurately followed	$> 50$	A/ $\mu\text{s}$
$f$	Frequency bandwidth (-1 dB)	DC .. 150	kHz

## Applications

- AC variable speed drives and servo motor drives
- Static converters for DC motor drives
- Battery supplied applications
- Uninterruptible Power Supplies (UPS)
- Switched Mode Power Supplies (SMPS)
- Power supplies for welding applications.

## General data

$T_A$	Ambient operating temperature	$0 \dots +70$	$^\circ\text{C}$
$T_S$	Ambient storage temperature	$-25 \dots +85$	$^\circ\text{C}$
$R_p$	Primary resistance per turn @ $T_A = 25^\circ\text{C}$	$< 1.25$	m $\Omega$
$R_s$	Secondary coil resistance @ $T_A = 70^\circ\text{C}$	110	$\Omega$
$R_{IS}$	Isolation resistance @ 500 V, $T_A = 25^\circ\text{C}$	$> 1500$	M $\Omega$
$m$	Mass Standards <sup>5)</sup>	22	g
		EN 50178	

Notes : <sup>1)</sup> Pollution class 2

<sup>2)</sup> Measurement carried out after 15 mn functioning

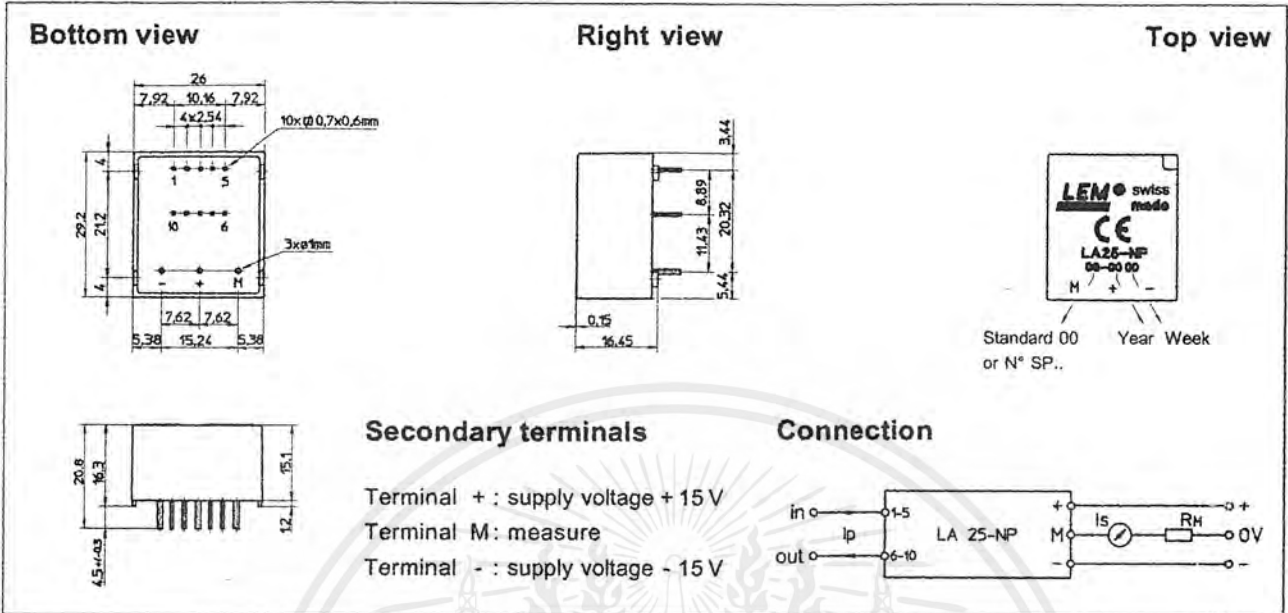
<sup>3)</sup> The result of the coercive field of the magnetic circuit

<sup>4)</sup> With a  $di/dt$  of 100 A/ $\mu\text{s}$

<sup>5)</sup> A list of corresponding tests is available

980909/8

## Dimensions LA 25-NP (in mm. 1 mm = 0.0394 inch)



Number of primary turns	Primary current		Nominal output current $I_{SN}$ [mA]	Turns ratio $K_N$	Primary resistance $R_P$ [mΩ]	Primary insertion inductance $L_P$ [μH]	Recommended connections
	nominal $I_{PN}$ [A]	maximum $I_P$ [A]					
1	25	36	25	1/1000	0.3	0.023	5 4 3 2 1 IN ○ ○ ○ ○ ○ OUT 6 7 8 9 10
2	12	18	24	2/1000	1.1	0.09	5 4 3 2 1 IN ○ ○ ○ ○ ○ OUT 6 7 8 9 10
3	8	12	24	3/1000	2.5	0.21	5 4 3 2 1 IN ○ ○ ○ ○ ○ OUT 6 7 8 9 10
4	6	9	24	4/1000	4.4	0.37	5 4 3 2 1 IN ○ ○ ○ ○ ○ OUT 6 7 8 9 10
5	5	7	25	5/1000	6.3	0.58	5 4 3 2 1 IN ○ ○ ○ ○ ○ OUT 6 7 8 9 10

### Mechanical characteristics

- General tolerance ± 0.2 mm
- Fastening & connection of primary 10 pins 0.7 x 0.6 mm
- Fastening & connection of secondary 3 pins Ø 1 mm
- Recommended PCB hole 1.2 mm

### Remarks

- $I_S$  is positive when  $I_p$  flows from terminals 1, 2, 3, 4, 5 to terminals 10, 9, 8, 7, 6
- This is a standard model. For different versions (supply voltages, turns ratios, unidirectional measurements...), please contact us.

LEM reserves the right to carry out modifications on its transducers, in order to improve them, without previous notice.

เอกสารนี้เป็นเอกสารที่สงวนไว้สำหรับการใช้งานเพื่อการศึกษาเท่านั้น ไม่อนุญาตให้นำไปใช้ประโยชน์ด้านการค้าไม่ว่ากรณีใดๆ ทั้งสิ้น อีกทั้งห้ามมิให้ตัดแปลงเนื้อหาและต้องอ้างอิงถึงเจ้าของเอกสารทุกครั้งที่มีการนำไปใช้

## กิตติกรรมประกาศ

ปริญญาบัตรฉบับนี้สำเร็จลุล่วงลงได้ด้วยดี โดยการให้คำแนะนำ คำปรึกษาความ  
อนุเคราะห์ทางด้านวิชาการ อุปกรณ์เครื่องมือ และเทคนิคต่างๆโดย ดร.วิจิตร กิณเรศ และอาจารย์  
สุรินทร์ คำฝอย

นอกจากนี้ยังต้องขอขอบคุณ พี่ๆนักศึกษาปริญญาโท ที่ให้คำปรึกษาทางทฤษฎี และวงจร  
เกี่ยวกับการแก้ไขปัญหาที่เกิดขึ้นกับการทำงาน ตลอดจนบุคคลอื่นๆ จนทำให้โครงการ และ  
ปริญญาบัตรฉบับนี้สำเร็จลุล่วงลงด้วยดี คณะผู้จัดทำจึงขอขอบคุณมา ณ ที่นี้



เอกสารนี้เป็นเอกสารที่สงวนไว้สำหรับการใช้งานเพื่อการศึกษาเท่านั้น ไม่อนุญาตให้นำไปใช้ประโยชน์ด้านการค้า  
ไม่ว่ากรณีใดๆ ทั้งสิ้น อีกทั้งห้ามมิให้ตัดแปลงเนื้อหาและต้องอ้างอิงถึงเจ้าของเอกสารทุกครั้งที่มีการนำไปใช้

## เอกสารอ้างอิง

- [1] Fang Zheng Peng, "Application Issues of Active Power Filters", 7<sup>th</sup> Int'l Conference on Harmonics and Quality of Power, and IEEE Industry Applications Magazine, September/October 1998.
- [2] IEEE, Transactions on Industrial Electronics Vol.43 No.6 Dec.1995, "A Simple Frequency – Independent Method for Calculating the Reactive and Harmonic Current in a Nonlinear Load", pp894-899,1999.
- [3] IEEE, "New Trends in Active Filters for Improving Power Quality", pp417-425,1999
- [4] IEEE ,Jianping Ying, "An Improved Control Method for Three- Phase Active Power Filter". International Conference on Power Electronics and Drive Systems, PEDS'99, pp905-909,July1999, Hong Kong
- [5] Ned Mohan, "Power Electronics: converters, applications and design", Second edition, John Wiley & Sons, Inc.
- [6] John G. Kasakian, Martin F.Schlect, George C. Verghese. "Principles of Power Electronics", Addison – Wesley Publishing Company.
- [7] Andrzej M. Trzynadlowski, "Introduction to Modern Power Electronics". John Wiley & Sons, inc.